

# Présentation autour d'un problème d'ordonnancement avec tâches-couplées

G. SIMONIN R. GIROUDEAU J.C. KÖNIG

LIRMM - UM2 - CNRS

Montpellier France

3 avril 2008

MAO - Lyon



# Présentation autour d'un problème d'ordonnancement avec tâches-couplées

G. SIMONIN R. GIROUDEAU J.C. KÖNIG

LIRMM - UM2 - CNRS

Montpellier France

3 avril 2008

MAO - Lyon



# Table des matières

- Introduction
  - Présentation du problème
  - Modélisation
- Complexité de ces problèmes
  - Etat de l'art
  - Preuve de NP-complétude sur un cas particulier
- Les techniques d'approximation
  - Couplage maximum
  - Clique maximale
  - Poupées russes
- Les techniques de non approximation
  - Clique partition
  - Triangle packing
- Conclusion et perspectives



# Table des matières

- **Introduction**
  - Présentation du problème
  - Modélisation
- Complexité de ces problèmes
  - Etat de l'art
  - Preuve de NP-complétude sur un cas particulier
- Les techniques d'approximation
  - Couplage maximum
  - Clique maximale
  - Poupées russes
- Les techniques de non approximation
  - Clique partition
  - Triangle packing
- Conclusion et perspectives



# Introduction - présentation du problème

## La torpille TAIPAN





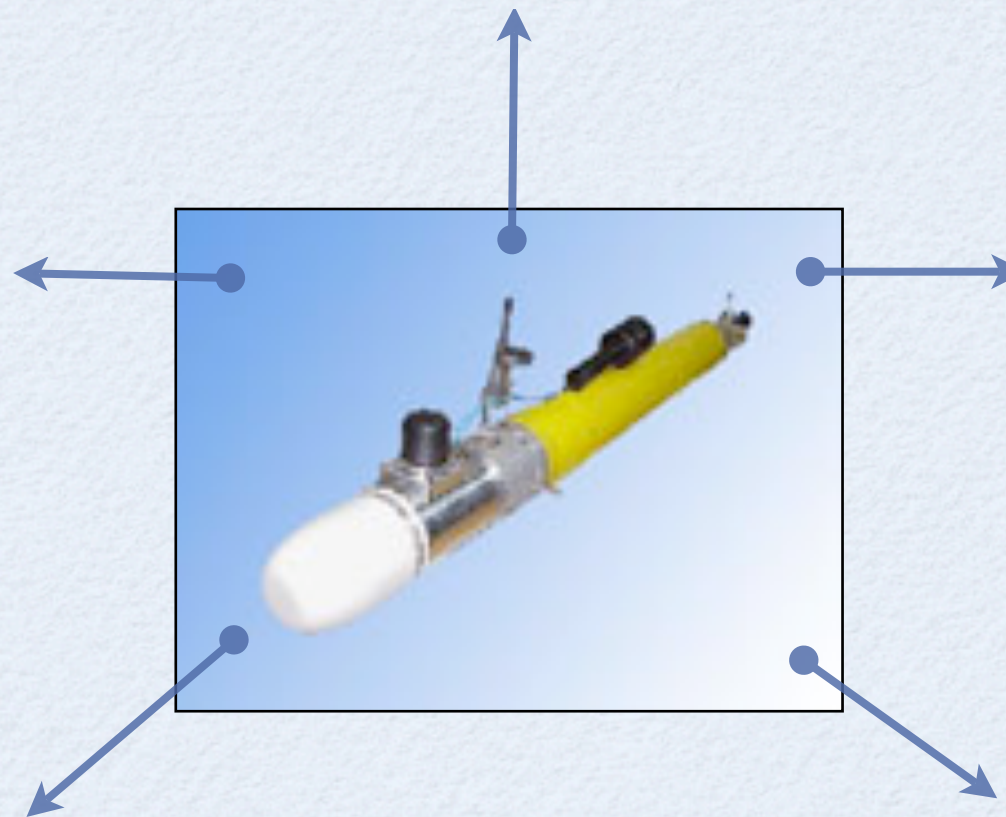
# Introduction - présentation du problème

## La torpille TAIPAN

Vérification des pipelines

Mesure de la salinité et  
température de l'eau

Détecter et analyser  
les sources d'eau douce



Images acoustiques de  
l'eau

Mesure des vitesses des  
écoulements sous-marin



## La torpille possède :

- un monoprocesseur
- des capteurs
- deux ensembles de tâches : acquisition et traitement
- des contraintes de précédence entre ses tâches
- des contraintes de compatibilité entre des acquisitions simultanées





## La torpille possède :

- un monoprocesseur
- des capteurs
- deux ensembles de tâches : acquisition et traitement
- des contraintes de précédence entre ses tâches
- des contraintes de compatibilité entre des acquisitions simultanées



Double problème pour nous : **Décision** et **Optimisation**



La torpille possède :

- un monoprocesseur
- des capteurs
- **deux ensembles de tâches : acquisition et traitement**
- des contraintes de précédence entre ses tâches
- des contraintes de compatibilité entre des acquisitions simultanées



Double problème pour nous : **Décision** et **Optimisation**



La torpille possède :

- un monoprocesseur
- des capteurs
- **deux ensembles de tâches : acquisition et traitement**
- des contraintes de précédence entre ses tâches
- des contraintes de compatibilité entre des acquisitions simultanées



Double problème pour nous : **Décision** et **Optimisation**



# Introduction - Modélisation

Définition des tâches d'acquisition



# Introduction - Modélisation

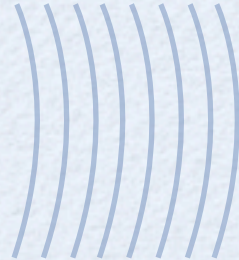
## Définition des tâches d'acquisition





# Introduction - Modélisation

## Définition des tâches d'acquisition



Le capteur envoie

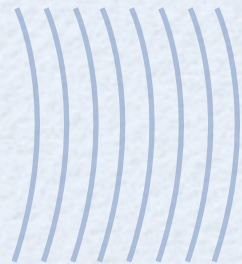


# Introduction - Modélisation

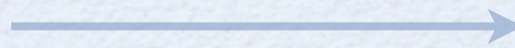
## Définition des tâches d'acquisition



Le capteur envoie



Propagation de l'onde



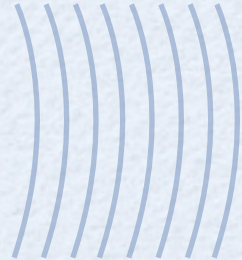


# Introduction - Modélisation

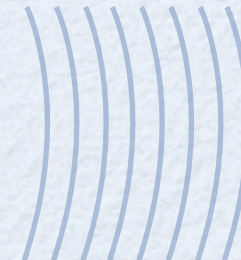
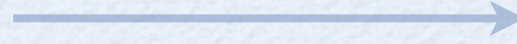
## Définition des tâches d'acquisition



Le capteur envoie



Propagation de l'onde

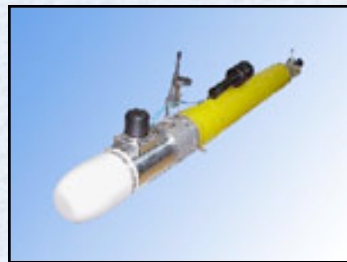


Le capteur reçoit

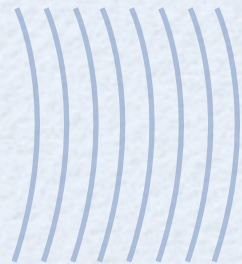


# Introduction - Modélisation

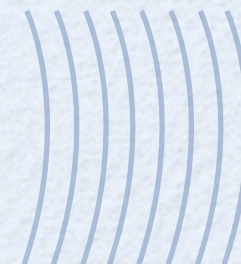
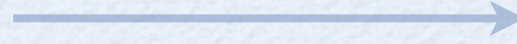
## Définition des tâches d'acquisition



Le capteur envoie



Propagation de l'onde



Le capteur reçoit

On modélise :





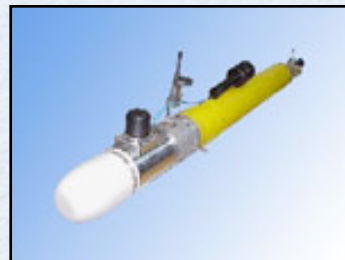
# Introduction - Modélisation

Définition des tâches d'acquisition



# Introduction - Modélisation

## Définition des tâches d'acquisition



Le capteur fait une mesure



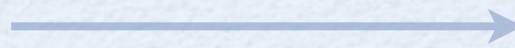
# Introduction - Modélisation

## Définition des tâches d'acquisition



Le capteur fait une mesure

Attente obligatoire





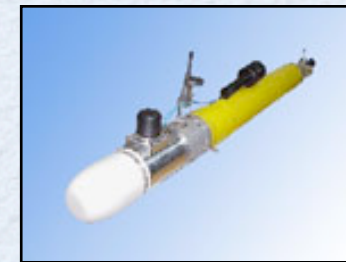
# Introduction - Modélisation

## Définition des tâches d'acquisition



Le capteur fait une mesure

Attente obligatoire  
→



Le capteur fait une autre mesure



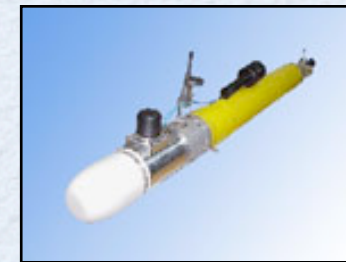
# Introduction - Modélisation

## Définition des tâches d'acquisition



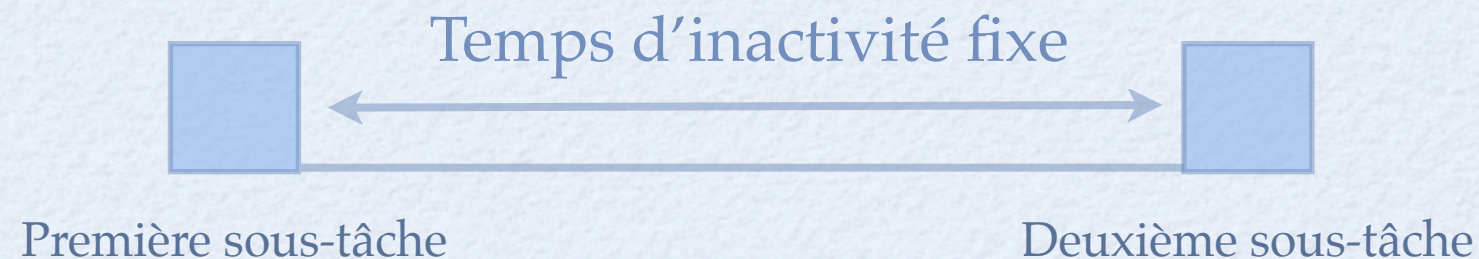
Le capteur fait une mesure

Attente obligatoire  
→



Le capteur fait une autre mesure

On modélise :





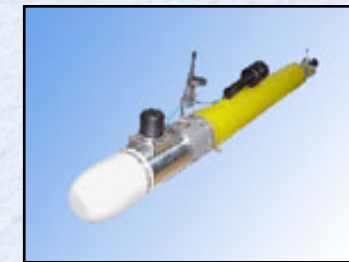
# Introduction - Modélisation

## Définition des tâches d'acquisition



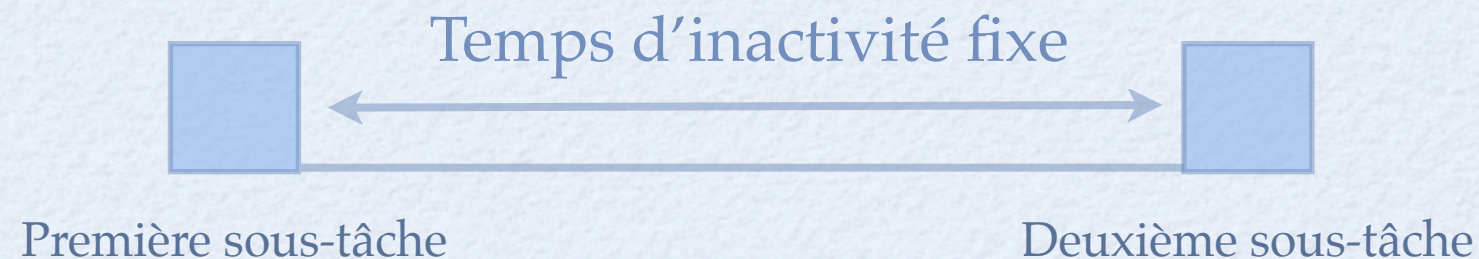
Le capteur fait une mesure

Attente obligatoire



Le capteur fait une autre mesure

On modélise :



Tâches d'acquisition ↔ Tâches-couplées



# Introduction - Modélisation

## Définition des tâches d'acquisition



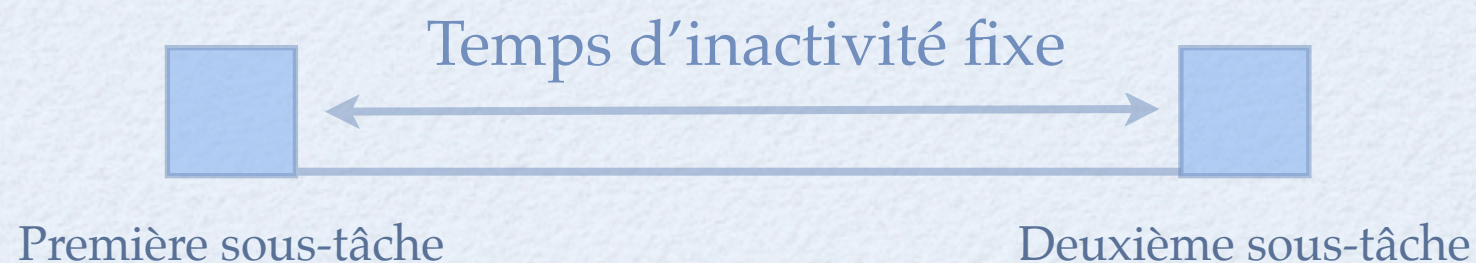
Le capteur fait une mesure

Attente obligatoire  
→

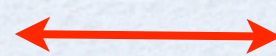


Le capteur fait une autre mesure

On modélise :



Tâches d'acquisition

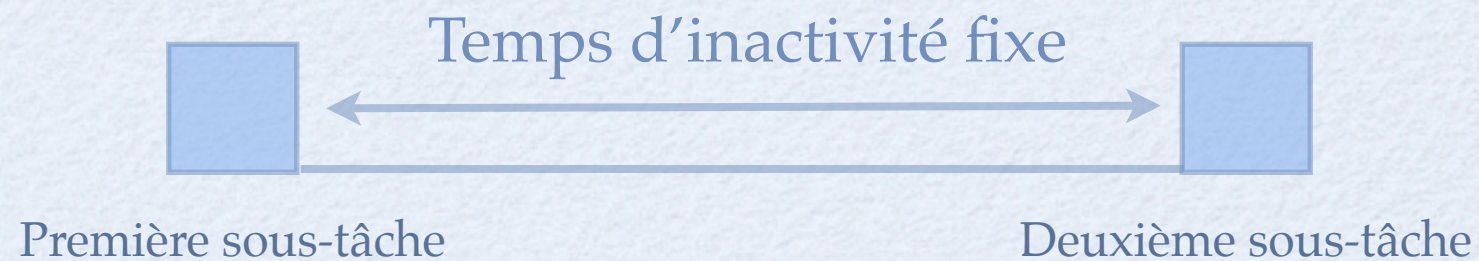


Tâches-couplées



# Introduction - Modélisation

On modélise :



Tâches d'acquisition ↔ Tâches-couplées

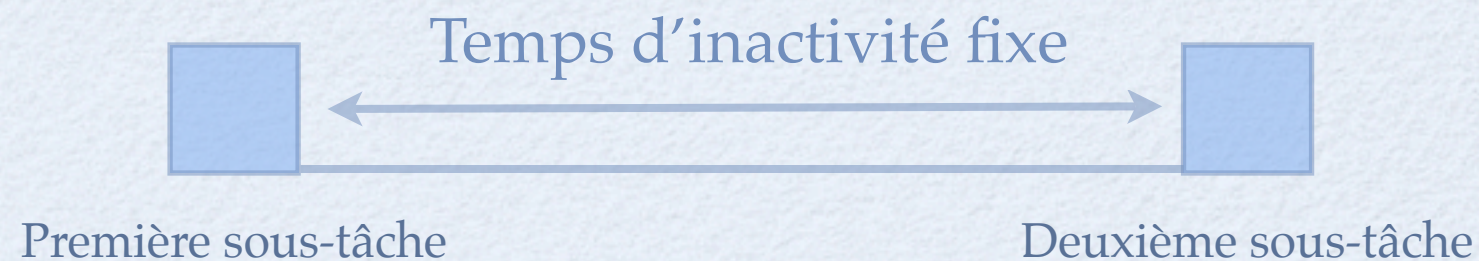
Définition d'une tâche-couplée (Shapiro [1980]) :

- Deux sous-tâches  $a_i$  et  $b_i$
- Un délai d'inactivité incompressible et indilatable  $L_i$



# Introduction - Modélisation

On modélise :



Tâches d'acquisition  $\longleftrightarrow$  Tâches-couplées

Définition d'une tâche-couplée (Shapiro [1980]) :

- Deux sous-tâches  $a_i$  et  $b_i$
- Un délai d'inactivité incompressible et indilatable  $L_i$



# Introduction - Modélisation

## Définition d'une tâche-couplée (Shapiro [1980]) :

- Deux sous-tâches  $a_i$  et  $b_i$
- Un délai d'inactivité incompressible et indilatable  $L_i$



# Introduction - Modélisation

## Définition d'une tâche-couplée (Shapiro [1980]) :

- Deux sous-tâches  $a_i$  et  $b_i$
- Un délai d'inactivité incompressible et indilatable  $L_i$



# Introduction - Modélisation

## Définition d'une tâche-couplée (Shapiro [1980]) :

---

- Deux sous-tâches  $a_i$  et  $b_i$
- Un délai d'inactivité incompressible et indilatable  $L_i$

## Définition d'une tâche d'acquisition :

---

- Deux sous-tâches  $a_i$  et  $b_i$  de durée d'exécution  $p_{a_i}$  et  $p_{b_i}$
- Un délai d'inactivité fixe incompressible et indilatable  $L_i$

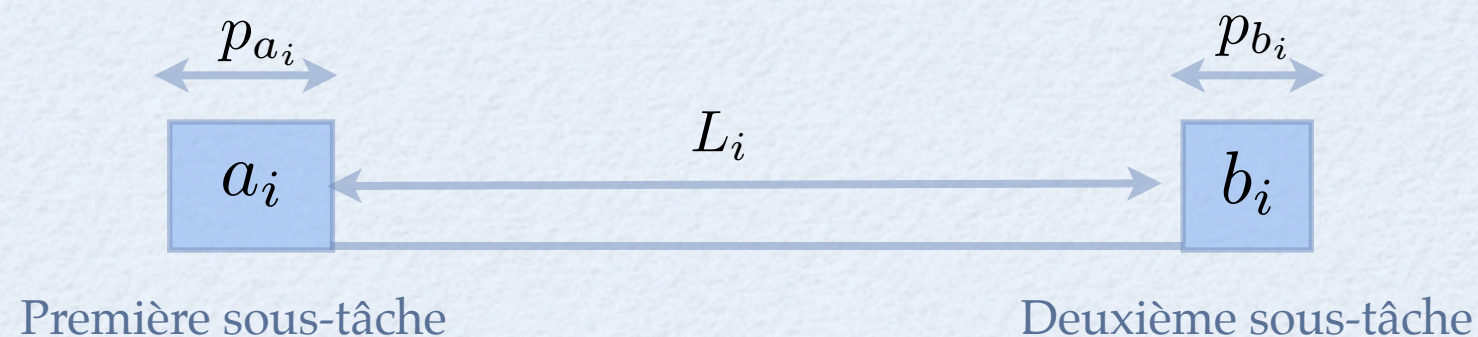


# Introduction - Modélisation

## Définition d'une tâche d'acquisition :

- Deux sous-tâches  $a_i$  et  $b_i$  de durée d'exécution  $p_{a_i}$  et  $p_{b_i}$
- Un délai d'inactivité fixe incompressible et indilatable  $L_i$

## Représentation d'une tâche d'acquisition $A_i$





## Définition des tâches de traitement :

---

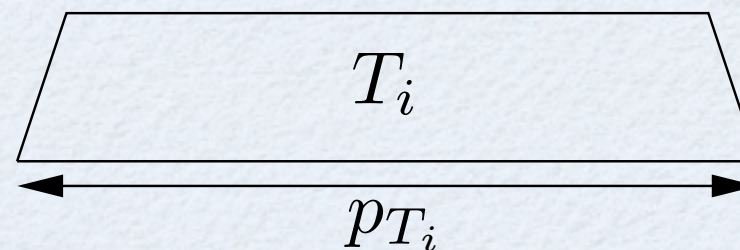
- Une durée d'exécution notée  $p_{T_i}$
- Elles sont préemptives



## Définition des tâches de traitement :

- Une durée d'exécution notée  $p_{T_i}$
- Elles sont préemptives

Représentation d'une tâche de traitement  $A_i$





## La torpille possède :

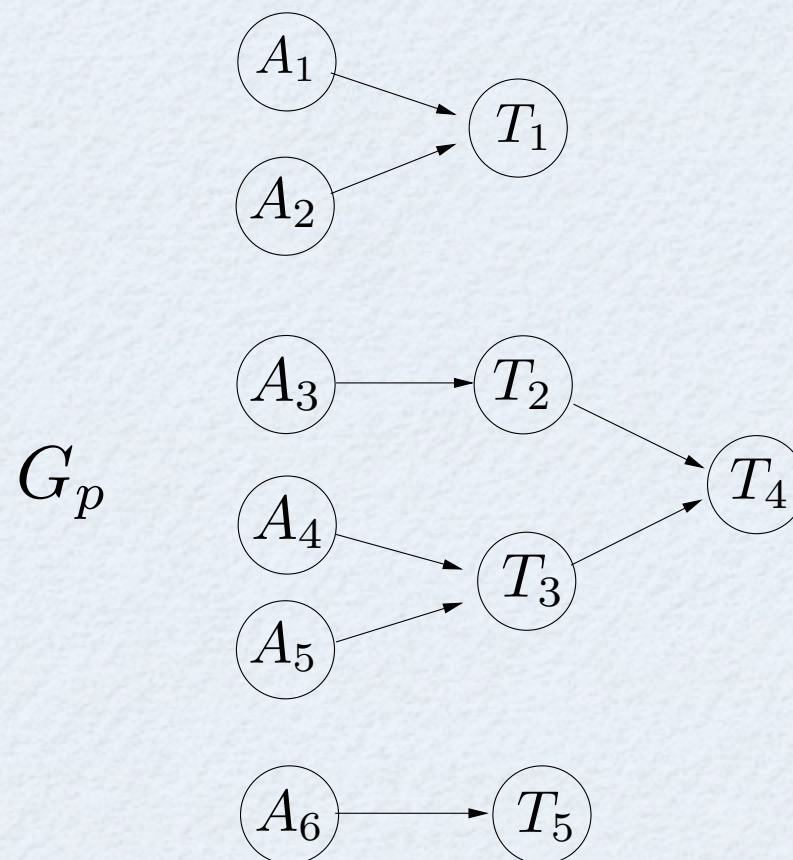
- un monoprocesseur
- des capteurs
- deux ensembles de tâches : acquisition et traitement
- **des contraintes de précedence entre ses tâches**
- des contraintes de compatibilité entre des acquisitions simultanées





## Contraintes de précédence :

Soit  $G_p$  un graphe non connexe de précédence entre l'ensemble des tâches d'acquisition  $\mathcal{A}$  et l'ensemble des tâches de traitement  $\mathcal{T}$ . Les sources de chaque composante connexe seront toujours les tâches d'acquisition  $A_i$ .





## Contraintes de précédence particulière :

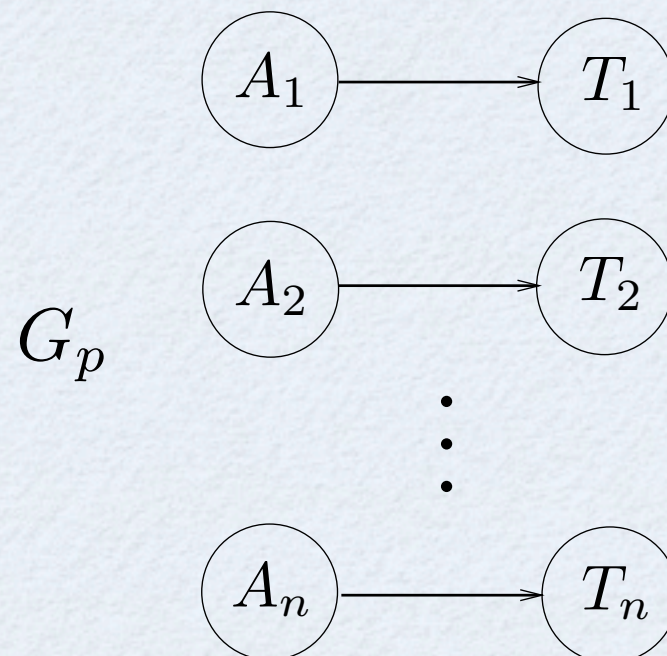
---

Dans un premier temps, le graphe de précédence entre l'ensemble des tâches d'acquisition  $\mathcal{A}$  et l'ensemble des tâches de traitement  $\mathcal{T}$  sera de telle manière que pour chaque tâche  $A_i$  de  $\mathcal{A}$ , nous avons une tâche  $T_i$  de  $\mathcal{T}$  qui lui succède.



## Contraintes de précédence particulière :

Dans un premier temps, le graphe de précédence entre l'ensemble des tâches d'acquisition  $\mathcal{A}$  et l'ensemble des tâches de traitement  $\mathcal{T}$  sera de telle manière que pour chaque tâche  $A_i$  de  $\mathcal{A}$ , nous avons une tâche  $T_i$  de  $\mathcal{T}$  qui lui succède.





## La torpille possède :

- un monoprocesseur
- des capteurs
- deux ensembles de tâches : acquisition et traitement
- des contraintes de précédence entre ses tâches
- **des contraintes de compatibilité entre des acquisitions simultanées**





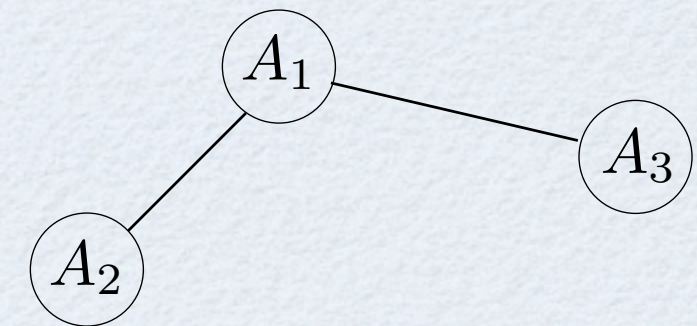
Les tâches d'acquisition sont également soumises à un graphe de compatibilité différent du graphe de précédence



Les tâches d'acquisition sont également soumises à un graphe de compatibilité différent du graphe de précédence

## Contrainte de compatibilité :

Soit  $G_c = (\mathcal{A}, E)$  un graphe de compatibilité où l'ensemble des tâches d'acquisition  $\mathcal{A}$  définit les sommets du graphe et  $E$  représente l'ensemble des arêtes reliant deux tâches d'acquisition qui sont non exclusives.



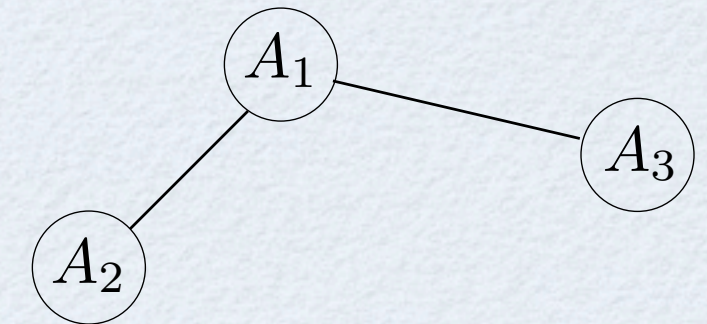
Graphe de compatibilité  $G_c$



Les tâches d'acquisition sont également soumises à un graphe de compatibilité différent du graphe de précédence

### Contrainte de compatibilité :

Soit  $G_c = (\mathcal{A}, E)$  un graphe de compatibilité où l'ensemble des tâches d'acquisition  $\mathcal{A}$  définit les sommets du graphe et  $E$  représente l'ensemble des arêtes reliant deux tâches d'acquisition qui sont non exclusives.



Graphe de compatibilité  $G_c$

### Tâches d'acquisition non exclusives :

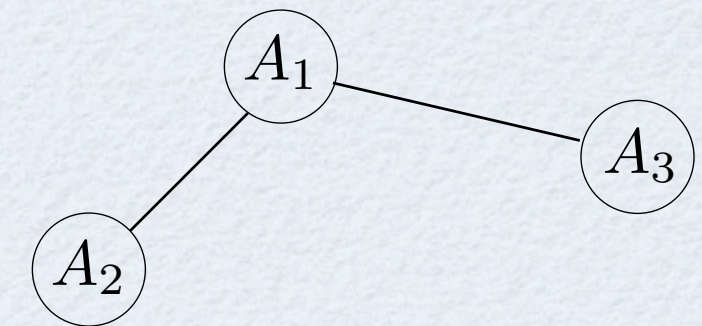
Deux tâches d'acquisition  $A_i$  et  $A_j$  sont dites non exclusives lorsque leur temps d'inactivité respectif  $L_i$  et  $L_j$  peuvent avoir lieu en même temps.



Les tâches d'acquisition sont également soumises à un graphe de compatibilité différent du graphe de précédence

### Contrainte de compatibilité :

Soit  $G_c = (\mathcal{A}, E)$  un graphe de compatibilité où l'ensemble des tâches d'acquisition  $\mathcal{A}$  définit les sommets du graphe et  $E$  représente l'ensemble des arêtes reliant deux tâches d'acquisition qui sont non exclusives.



Graphe de compatibilité  $G_c$

### Tâches d'acquisition non exclusives :

Deux tâches d'acquisition  $A_i$  et  $A_j$  sont dites non exclusives lorsque leur temps d'inactivité respectif  $L_i$  et  $L_j$  peuvent avoir lieu en même temps.

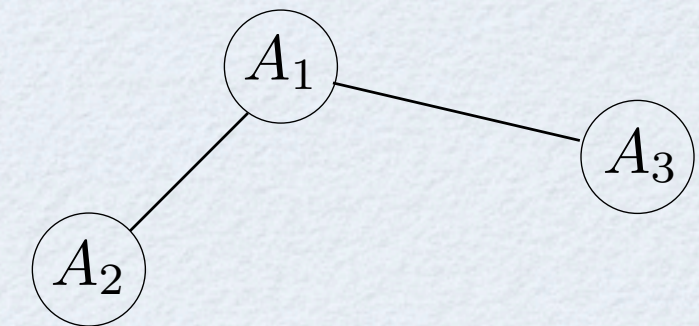




Les tâches d'acquisition sont également soumises à un graphe de compatibilité différent du graphe de précédence

### Contrainte de compatibilité :

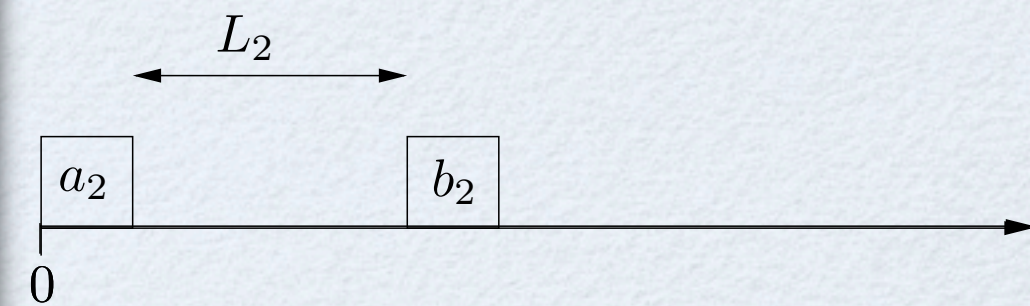
Soit  $G_c = (\mathcal{A}, E)$  un graphe de compatibilité où l'ensemble des tâches d'acquisition  $\mathcal{A}$  définit les sommets du graphe et  $E$  représente l'ensemble des arêtes reliant deux tâches d'acquisition qui sont non exclusives.



Graphe de compatibilité  $G_c$

### Tâches d'acquisition non exclusives :

Deux tâches d'acquisition  $A_i$  et  $A_j$  sont dites non exclusives lorsque leur temps d'inactivité respectif  $L_i$  et  $L_j$  peuvent avoir lieu en même temps.



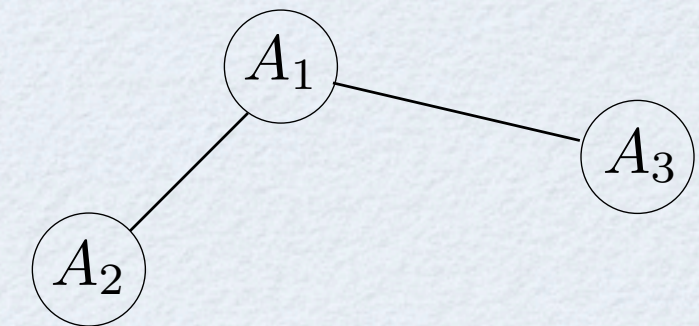
Exemple



Les tâches d'acquisition sont également soumises à un graphe de compatibilité différent du graphe de précédence

### Contrainte de compatibilité :

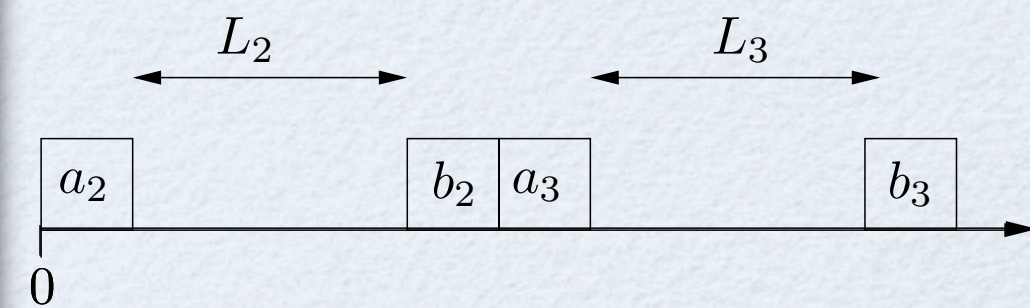
Soit  $G_c = (\mathcal{A}, E)$  un graphe de compatibilité où l'ensemble des tâches d'acquisition  $\mathcal{A}$  définit les sommets du graphe et  $E$  représente l'ensemble des arêtes reliant deux tâches d'acquisition qui sont non exclusives.



Graphe de compatibilité  $G_c$

### Tâches d'acquisition non exclusives :

Deux tâches d'acquisition  $A_i$  et  $A_j$  sont dites non exclusives lorsque leur temps d'inactivité respectif  $L_i$  et  $L_j$  peuvent avoir lieu en même temps.



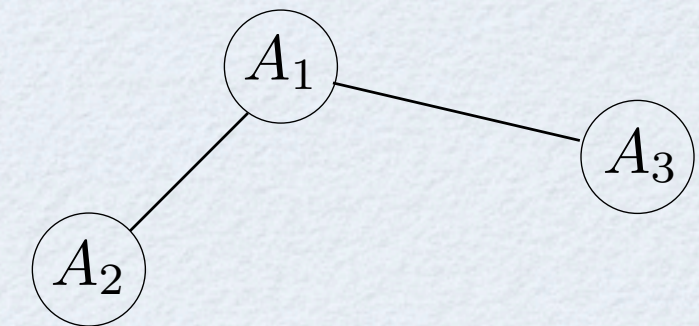
Exemple



Les tâches d'acquisition sont également soumises à un graphe de compatibilité différent du graphe de précédence

### Contrainte de compatibilité :

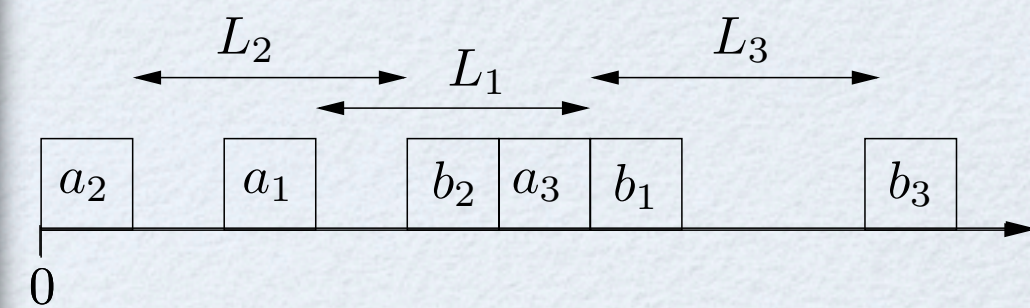
Soit  $G_c = (\mathcal{A}, E)$  un graphe de compatibilité où l'ensemble des tâches d'acquisition  $\mathcal{A}$  définit les sommets du graphe et  $E$  représente l'ensemble des arêtes reliant deux tâches d'acquisition qui sont non exclusives.



Graphe de compatibilité  $G_c$

### Tâches d'acquisition non exclusives :

Deux tâches d'acquisition  $A_i$  et  $A_j$  sont dites non exclusives lorsque leur temps d'inactivité respectif  $L_i$  et  $L_j$  peuvent avoir lieu en même temps.



Exemple



Notre problème peut être représenté par la notation de Graham [1979] :  $\alpha|\beta|\gamma$

1| *prec, tâche – couplée*,  $(a_i, L_i, b_i) \cup (p_{T_i}, p_{mtn}), G_c | C_{max}$



Notre problème peut être représenté par la notation de Graham [1979] :  $\alpha|\beta|\gamma$

$1|prec, \text{ tâche – couplée}, (a_i, L_i, b_i) \cup (p_{T_i}, pmtn), G_c|C_{max}$

- 1 : monoprocesseur
- *prec* : contrainte de précédence
- *tâche – couplée* : modèle utilisé
- $(a_i, L_i, b_i)$  : tâches d'aquisition
- $(p_{T_i}, pmtn)$  : tâches de traitement
- $G_c$  : graphe de compatibilité
- $C_{max}$  : fonction objective, l'ordonnancement le plus court



# Table des matières

- Introduction
  - Présentation du problème
  - Modélisation
- **Complexité de ces problèmes**
  - Etat de l'art
  - Preuve de NP-complétude sur un cas particulier
- Les techniques d'approximation
  - Couplage maximum
  - Clique maximale
  - Poupées russes
- Les techniques de non approximation
  - Clique partition
  - Triangle packing
- Conclusion et perspectives



# Etat de l'art d'un point de vue de la complexité



# Etat de l'art d'un point de vue de la complexité

- Ordonnancement de tâches-couplées sur monoprocesseur :



# Etat de l'art d'un point de vue de la complexité

- Ordonnancement de tâches-couplées sur monoprocesseur :
  - Problèmes de complexité :
    - J. Blazewicz, K.H. Ecker, T. Kis, and M. Tanas. A note on the complexity of scheduling coupled-tasks on a single processor. *Journal of the Brazilian Computer Society*, 7(3) : 23–26, 2001.
    - **A.J. Orman and C.N. Potts**. On the complexity of coupled-task scheduling. *Discrete Applied Mathematics*, 72 :141–154, 1997.



# Etat de l'art d'un point de vue de la complexité

- Ordonnancement de tâches-couplées sur monoprocesseur :
  - Problèmes de complexité :
    - J. Blazewicz, K.H. Ecker, T. Kis, and M. Tanas. A note on the complexity of scheduling coupled-tasks on a single processor. *Journal of the Brazilian Computer Society*, 7(3) : 23–26, 2001.
    - **A.J. Orman and C.N. Potts**. On the complexity of coupled-task scheduling. *Discrete Applied Mathematics*, 72 :141–154, 1997.



# Etat de l'art d'un point de vue de la complexité

- Ordonnancement de tâches-couplées sur monoprocesseur :
  - **A.J. Orman and C.N. Potts**. On the complexity of coupled-task scheduling. *Discrete Applied Mathematics*, 72 :141–154, 1997.



# Etat de l'art d'un point de vue de la complexité

- Ordonnancement de tâches-couplées sur monoprocesseur :
  - **A.J. Orman and C.N. Potts**. On the complexity of coupled-task scheduling. *Discrete Applied Mathematics*, 72 :141–154, 1997.

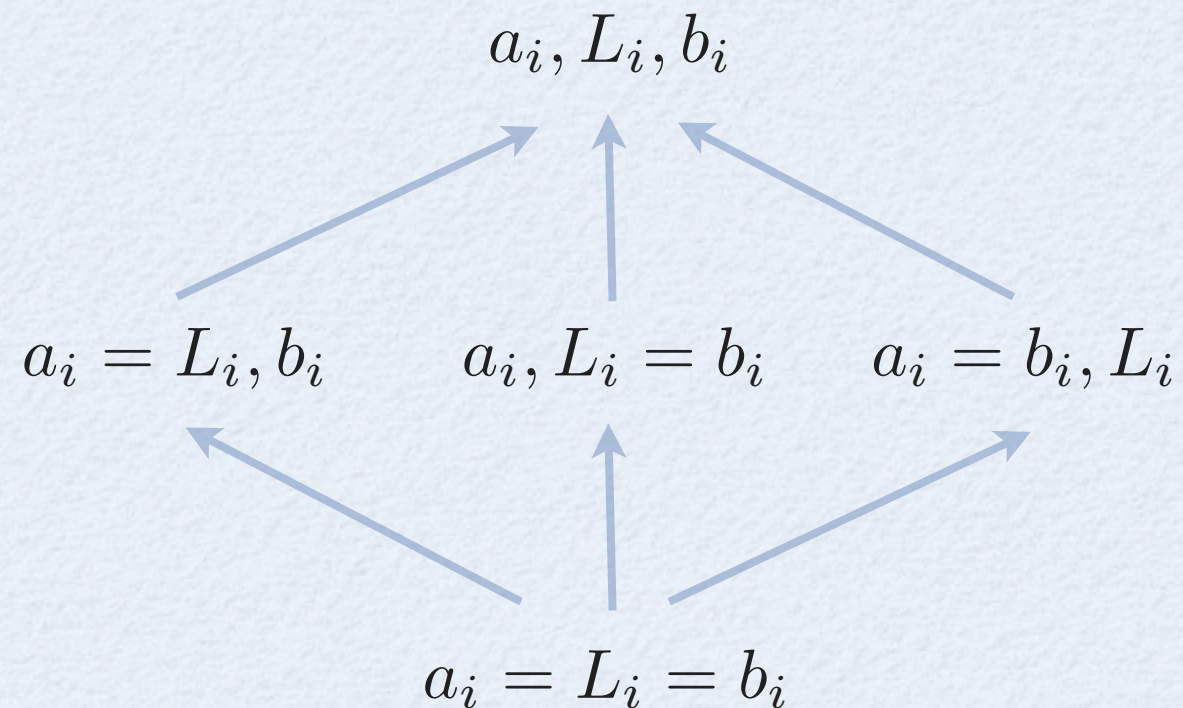
Résultats de complexité



# Etat de l'art d'un point de vue de la complexité

- Ordonnancement de tâches-couplées sur monoprocesseur :
  - **A.J. Orman and C.N. Potts**. On the complexity of coupled-task scheduling. *Discrete Applied Mathematics*, 72 :141–154, 1997.

## Résultats de complexité

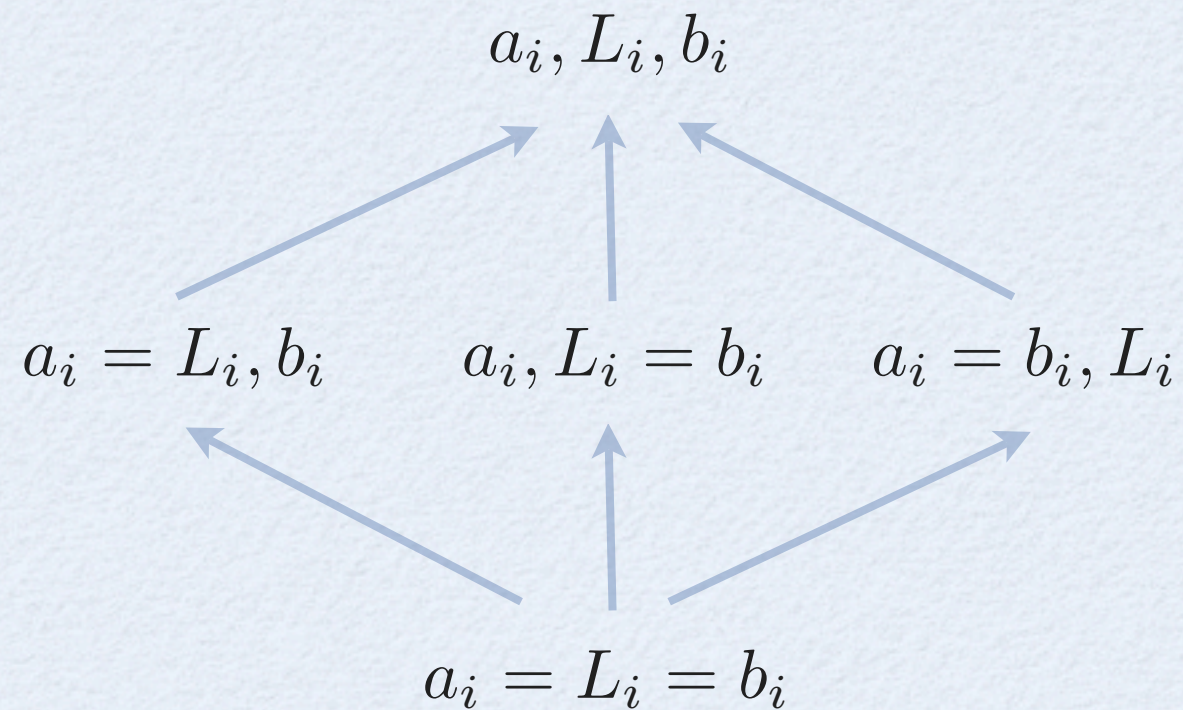




# Etat de l'art d'un point de vue de la complexité

- Ordonnancement de tâches-couplées sur monoprocesseur :
  - **A.J. Orman and C.N. Potts**. On the complexity of coupled-task scheduling. *Discrete Applied Mathematics*, 72 :141–154, 1997.

## Résultats de complexité



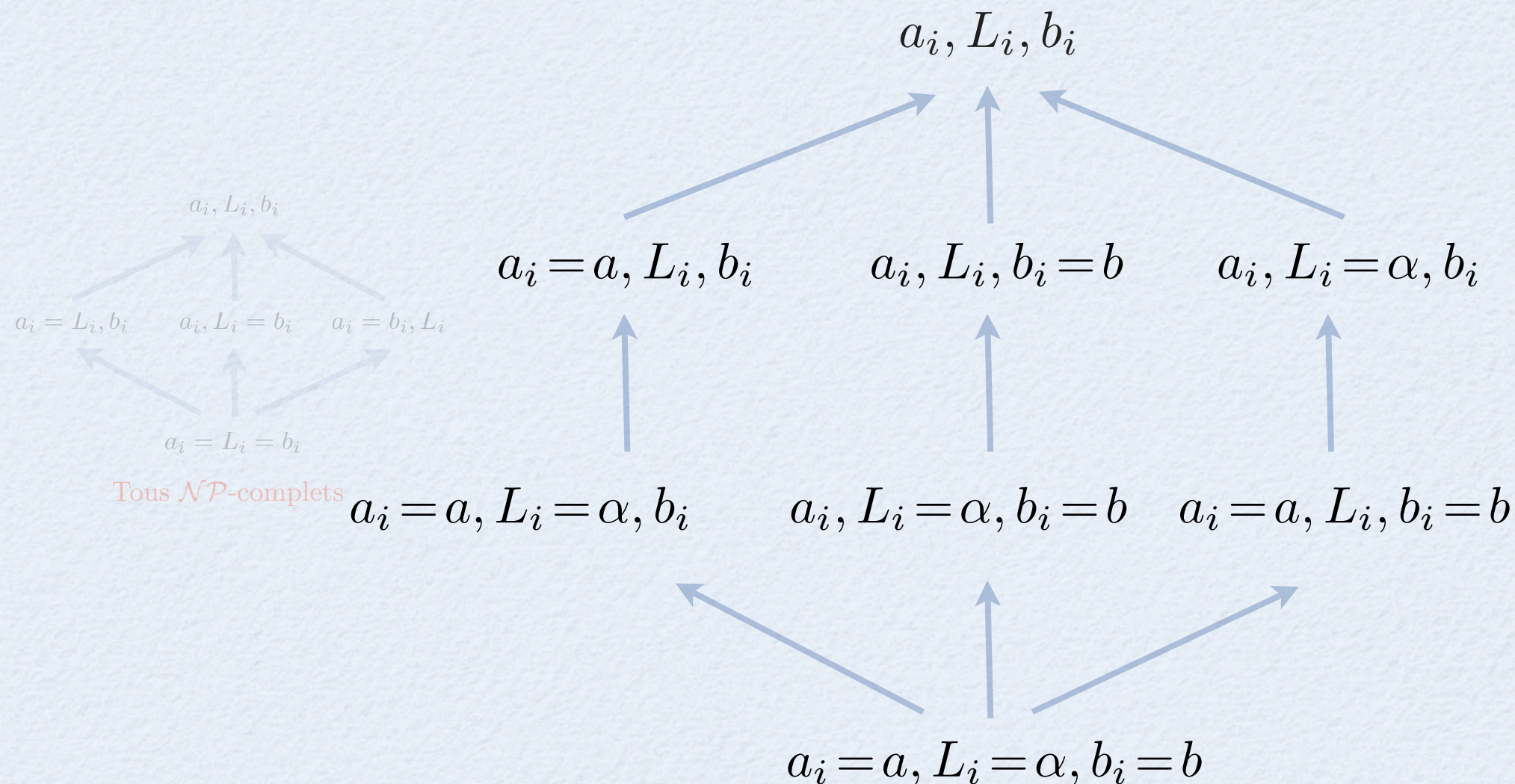
Tous  $\mathcal{NP}$ -complets



# Etat de l'art d'un point de vue de la complexité

- Ordonnancement de tâches-couplées sur monoprocesseur :
  - **A.J. Orman and C.N. Potts**. On the complexity of coupled-task scheduling. *Discrete Applied Mathematics*, 72 :141–154, 1997.

## Résultats de complexité

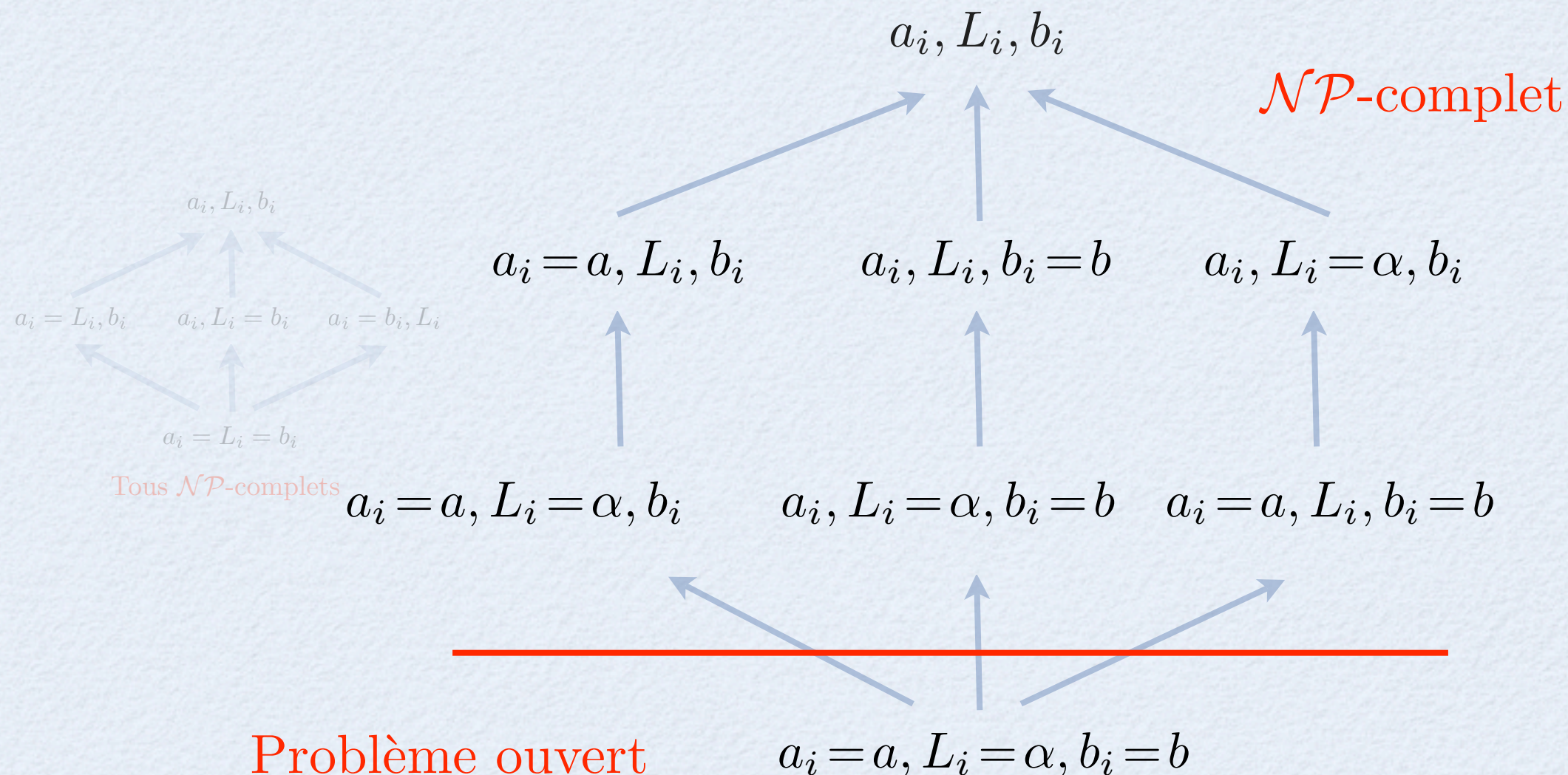




# Etat de l'art d'un point de vue de la complexité

- Ordonnancement de tâches-couplées sur monoprocesseur :
  - **A.J. Orman and C.N. Potts**. On the complexity of coupled-task scheduling. *Discrete Applied Mathematics*, 72 :141–154, 1997.

## Résultats de complexité

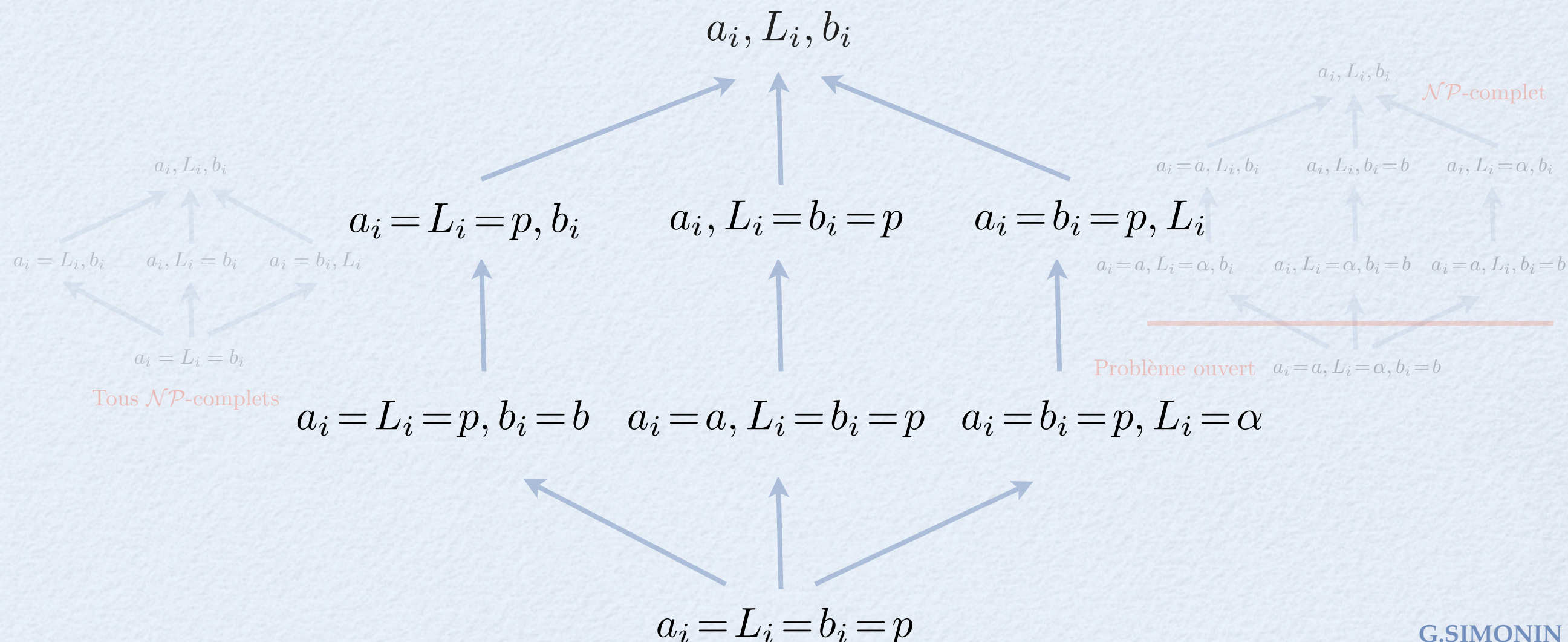




# Etat de l'art d'un point de vue de la complexité

- Ordonnancement de tâches-couplées sur monoprocesseur :
  - **A.J. Orman and C.N. Potts**. On the complexity of coupled-task scheduling. *Discrete Applied Mathematics*, 72 :141–154, 1997.

## Résultats de complexité

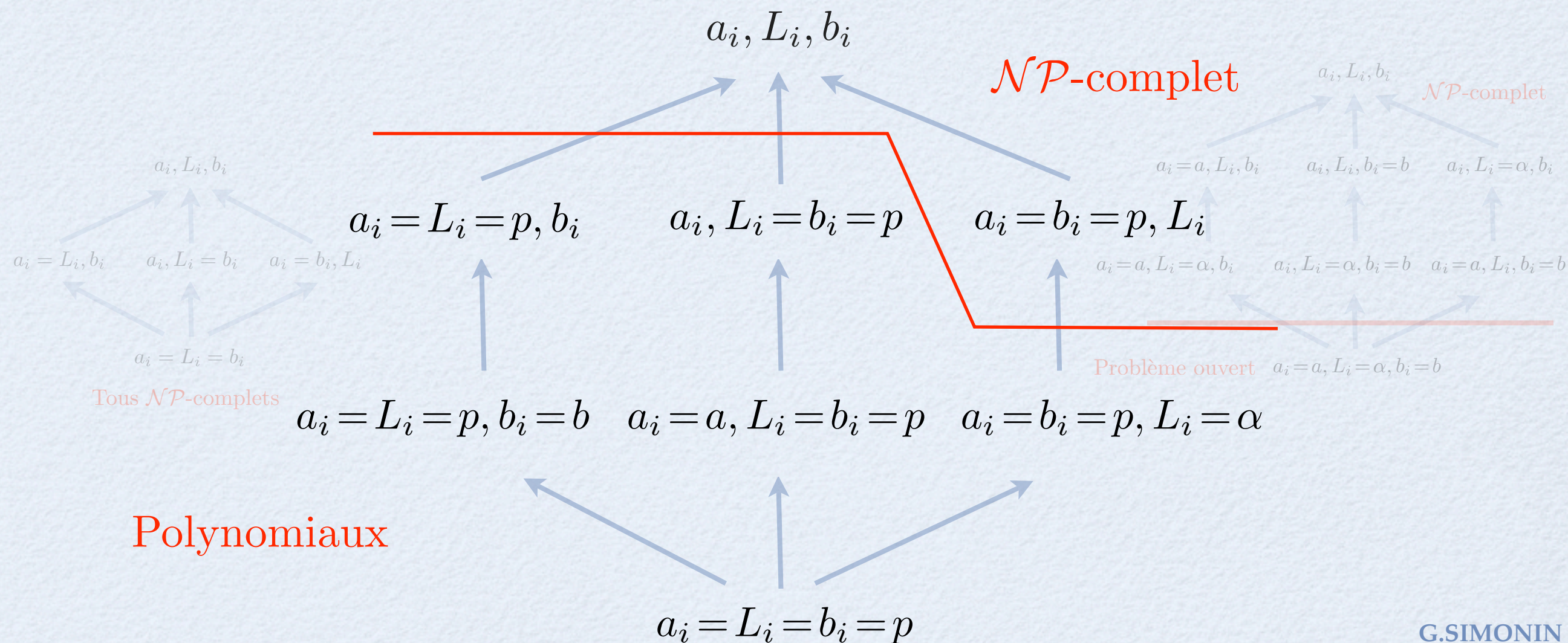




# Etat de l'art d'un point de vue de la complexité

- Ordonnancement de tâches-couplées sur monoprocesseur :
  - **A.J. Orman and C.N. Potts**. On the complexity of coupled-task scheduling. *Discrete Applied Mathematics*, 72 :141–154, 1997.

## Résultats de complexité

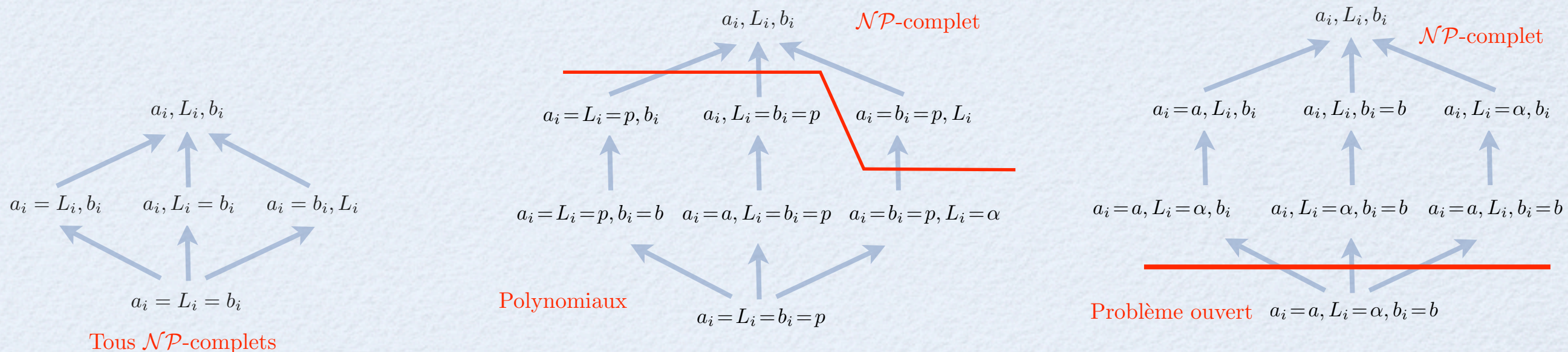




# Etat de l'art d'un point de vue de la complexité

- Ordonnancement de tâches-couplées sur monoprocesseur :
  - **A.J. Orman and C.N. Potts.** On the complexity of coupled-task scheduling. *Discrete Applied Mathematics*, 72 :141–154, 1997.

## Résultats de complexité

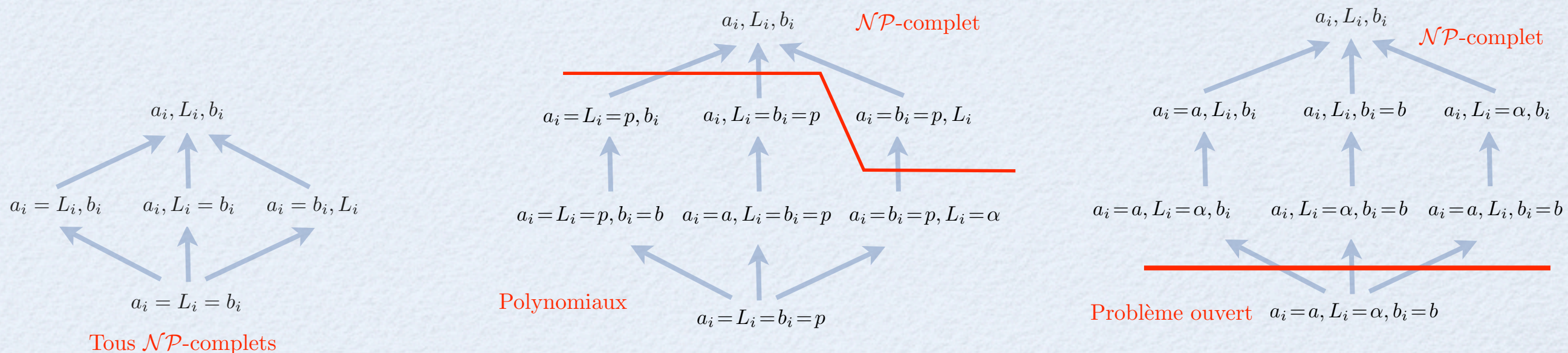




# Etat de l'art d'un point de vue de la complexité

- Ordonnancement de tâches-couplées sur monoprocesseur :
  - **A.J. Orman and C.N. Potts.** On the complexity of coupled-task scheduling. *Discrete Applied Mathematics*, 72 :141–154, 1997.

## Résultats de complexité



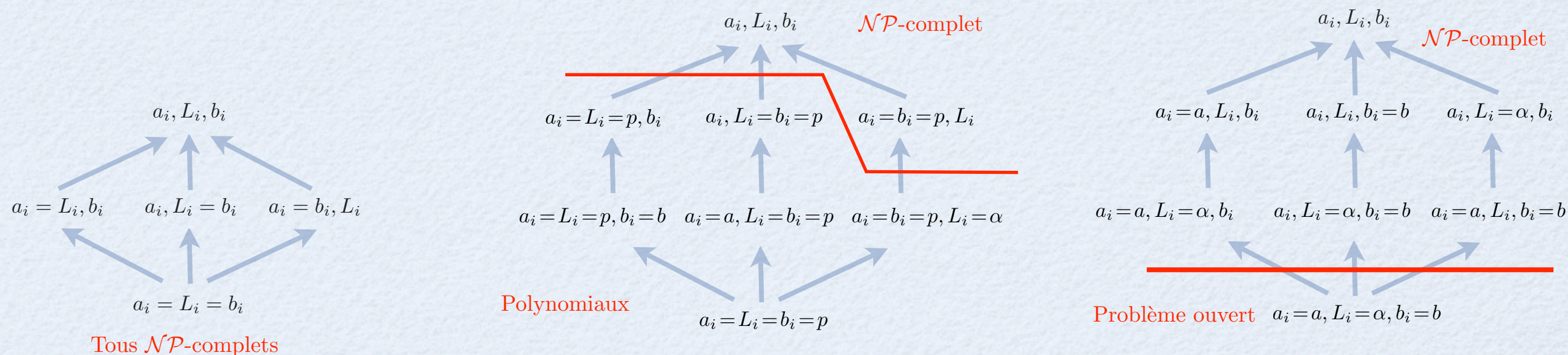
Avec les  $T_i$  et  $G_p$  : rien ne change



# Etat de l'art d'un point de vue de la complexité

- Ordonnancement de tâches-couplées sur monoprocesseur :
  - **A.J. Orman and C.N. Potts**. On the complexity of coupled-task scheduling. *Discrete Applied Mathematics*, 72 :141–154, 1997.

## Résultats de complexité



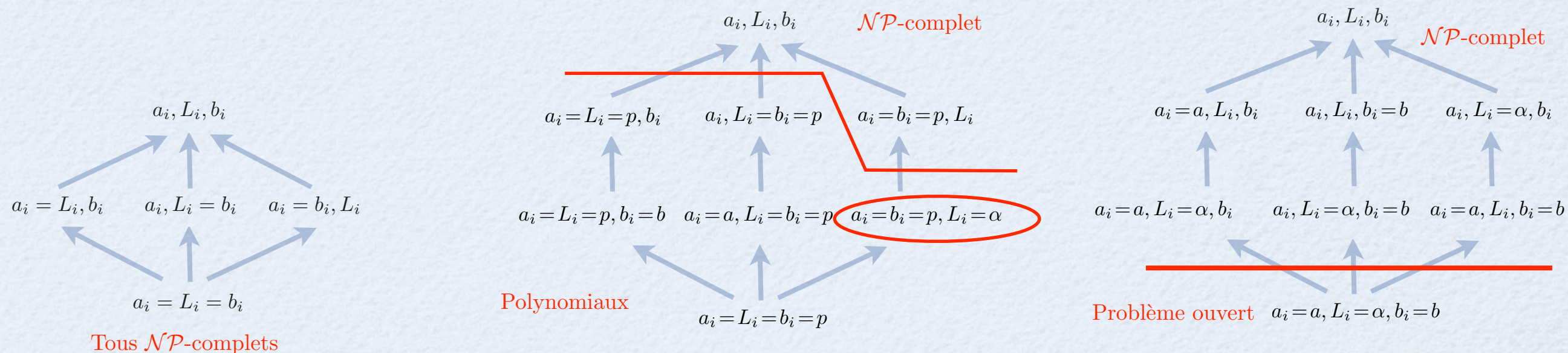
Avec les  $T_i$  et  $G_p$  : rien ne change  
 Qu'en est-il avec  $G_c$  ?



# Etat de l'art d'un point de vue de la complexité

- Ordonnancement de tâches-couplées sur monoprocesseur :
  - **A.J. Orman and C.N. Potts.** On the complexity of coupled-task scheduling. *Discrete Applied Mathematics*, 72 :141–154, 1997.

## Résultats de complexité



Avec les  $T_i$  et  $G_p$  : rien ne change  
 Qu'en est-il avec  $G_c$  ?

Un cas pose problème :  $a_i = b_i = p, L_i = \alpha$



# Complexité : étude d'un cas particulier

Le cas qui nous intéresse se note :

1| *prec, tâche – couplée*,  $(p_{a_i} = p_{b_i} = p, L_i = \alpha) \cup (p_{T_i}, p_{mtn}), G_c | C_{max}$



# Complexité : étude d'un cas particulier

Le cas qui nous intéresse se note :

1| *prec, tâche – couplée*,  $(p_{a_i} = p_{b_i} = p, L_i = \alpha) \cup (p_{T_i}, p_{mtn}), G_c | C_{max}$

- Nous allons étudier un cas spécifique de ce problème :



# Complexité : étude d'un cas particulier

Le cas qui nous intéresse se note :

1| *prec, tâche – couplée*,  $(p_{a_i} = p_{b_i} = p, L_i = \alpha) \cup (p_{T_i}, p_{mtn}), G_c | C_{max}$

- Nous allons étudier un cas spécifique de ce problème :

Le problème que nous allons étudier se note :

1| *prec, tâche – couplée*,  $(p_{a_i} = p_{b_i} = 1, L_i = \alpha) \cup (p_{T_i}, p_{mtn}), G_c | C_{max}$

Nous le noterons  $\Pi$



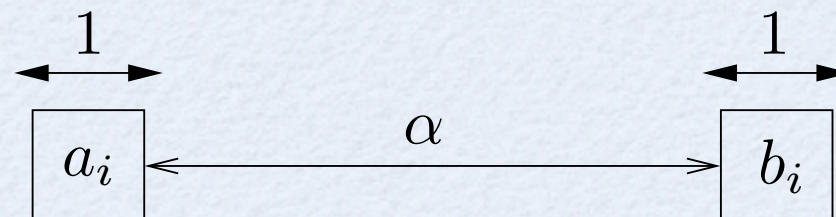
# Complexité : étude d'un cas particulier

Le problème que nous allons étudier se note :

1| *prec, tâche – couplée*,  $(p_{a_i} = p_{b_i} = 1, L_i = \alpha) \cup (p_{T_i}, p_{mtn}), G_c | C_{max}$

Nous le noterons  $\Pi$

- Toutes les tâches d'acquisition sont de la forme :





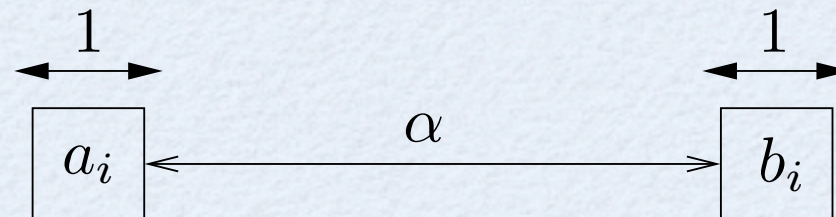
# Complexité : étude d'un cas particulier

Le problème que nous allons étudier se note :

1| *prec, tâche – couplée*,  $(p_{a_i} = p_{b_i} = 1, L_i = \alpha) \cup (p_{T_i}, p_{mtn}), G_c | C_{max}$

Nous le noterons  $\Pi$

- Toutes les tâches d'acquisition sont de la forme :



- Le cas  $\alpha = 1$  est polynomial



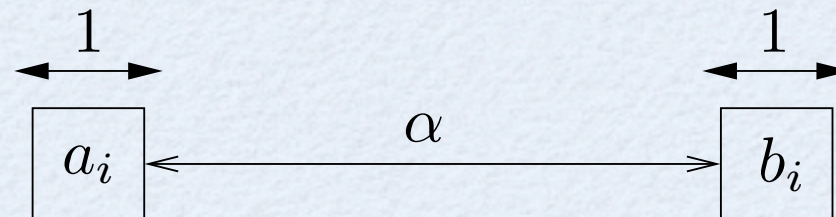
# Complexité : étude d'un cas particulier

Le problème que nous allons étudier se note :

1| *prec, tâche – couplée*,  $(p_{a_i} = p_{b_i} = 1, L_i = \alpha) \cup (p_{T_i}, p_{mtn}), G_c | C_{max}$

Nous le noterons  $\Pi$

- Toutes les tâches d'acquisition sont de la forme :



- Le cas  $\alpha = 1$  est polynomial  $\longrightarrow$  **Couplage maximum**



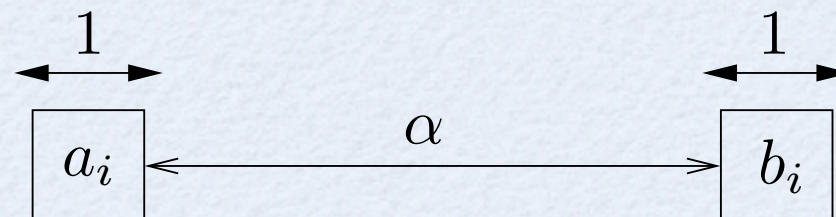
# Complexité : étude d'un cas particulier

Le problème que nous allons étudier se note :

1| *prec, tâche – couplée*,  $(p_{a_i} = p_{b_i} = 1, L_i = \alpha) \cup (p_{T_i}, p_{mtn}), G_c | C_{max}$

Nous le noterons  $\Pi$

- Toutes les tâches d'acquisition sont de la forme :



- Le cas  $\alpha = 1$  est polynomial  $\longrightarrow$  **Couplage maximum**
- Le cas  $\alpha = 2$  est polynomial si  $G_c$  est sans triangle



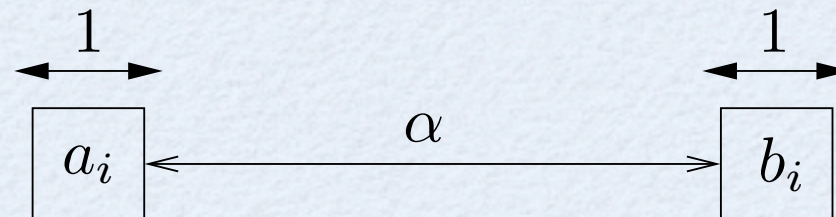
# Complexité : étude d'un cas particulier

Le problème que nous allons étudier se note :

1| *prec, tâche – couplée*,  $(p_{a_i} = p_{b_i} = 1, L_i = \alpha) \cup (p_{T_i}, p_{mtn}), G_c | C_{max}$

Nous le noterons  $\Pi$

- Toutes les tâches d'acquisition sont de la forme :



- Le cas  $\alpha = 1$  est polynomial  $\longrightarrow$  **Couplage maximum**
- Le cas  $\alpha = 2$  est polynomial si  $G_c$  est sans triangle
- Montrons que pour  $\alpha > 2$  notre problème  $\Pi$  est  **$\mathcal{NP}$ -complet**



# Complexité : Etude de la complexité

## Théorème

---

Le problème de décision noté  $\Pi$

1| *prec, tâche – couplée*,  $(p_{a_i} = p_{b_i} = 1, L_i = \alpha) \cup (p_{T_i}, p_{mtn}), G_c | C_{max}$   
est  $\mathcal{NP}$ -complet



# Complexité : Etude de la complexité

## Théorème

---

Le problème de décision noté  $\Pi$

1| *prec*, tâche – couplée,  $(p_{a_i} = p_{b_i} = 1, L_i = \alpha) \cup (p_{T_i}, p_{mtn}), G_c | C_{max}$   
est  $\mathcal{NP}$ -complet

## Preuve :

---

- Approche similaire à celle de Lenstra pour  $P | prec, P_j = 1 | C_{max}$
- Réduction faite à partir du problème  $\mathcal{NP}$ -complet Clique



# Complexité : Etude de la complexité

## Théorème

---

Le problème de décision noté  $\Pi$

1| *prec*, tâche – couplée,  $(p_{a_i} = p_{b_i} = 1, L_i = \alpha) \cup (p_{T_i}, p_{mtn}), G_c | C_{max}$   
est  $\mathcal{NP}$ -complet

## Preuve :

---

- Approche similaire à celle de Lenstra pour  $P|prec, P_j = 1|C_{max}$
- Réduction faite à partir du problème  $\mathcal{NP}$ -complet Clique

**INSTANCE :** Un graphe  $G = (V, E)$  où  $|V| = n$ , et un entier  $K$

**QUESTION :** Peut on trouver un sous-graphe complet de taille  $K$  dans  $G$  ?



## Preuve :

---

- Approche similaire à celle de Lenstra pour  $P|prec, P_j = 1|C_{max}$
- Réduction faite à partir du problème  $\mathcal{NP}$ -complet Clique



## Preuve :

---

- Approche similaire à celle de Lenstra pour  $P|_{prec, P_j = 1} | C_{max}$
- Réduction faite à partir du problème  $\mathcal{NP}$ -complet Clique

Illustration de la transformation :



## Preuve :

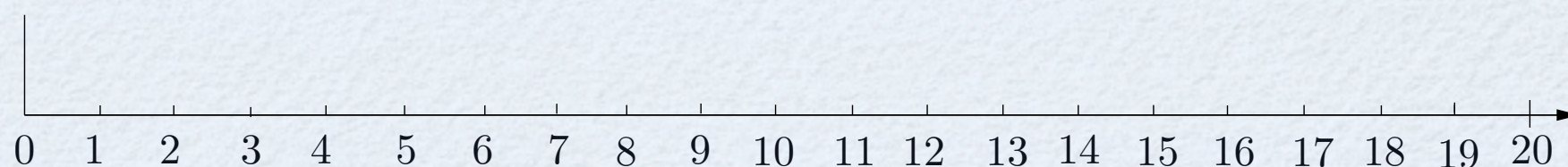
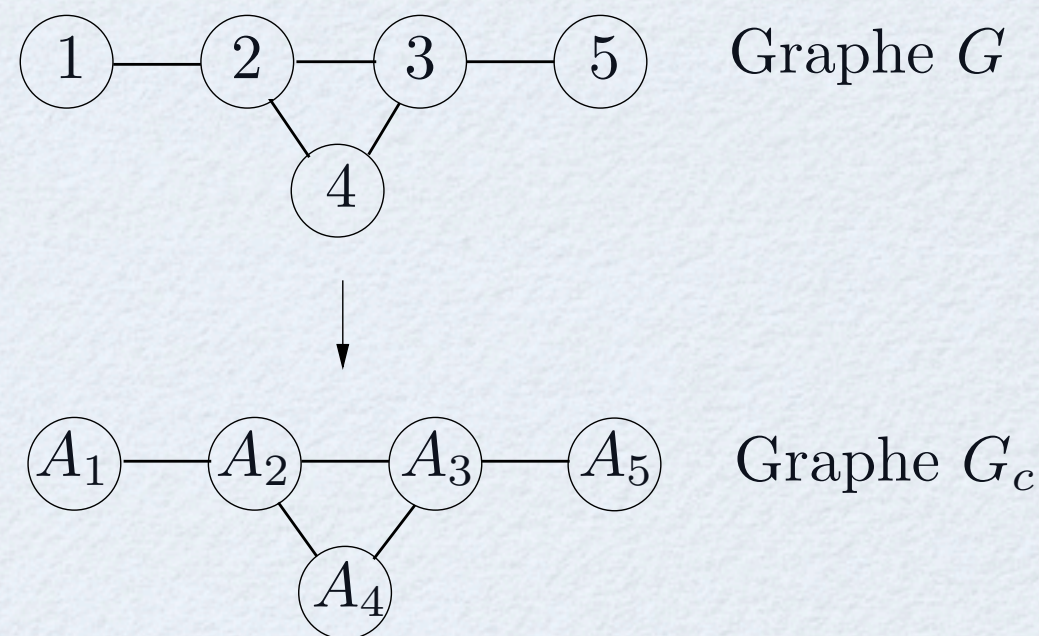
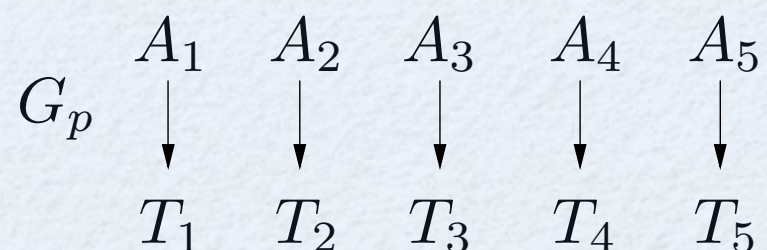
- Approche similaire à celle de Lenstra pour  $P|prec, P_j = 1|C_{max}$
- Réduction faite à partir du problème  $\mathcal{NP}$ -complet Clique

## Illustration de la transformation :

$$n = 5 \quad L_i = \alpha = 2$$

$$p_{T_i} = \alpha = 2$$

$$C_{max}^{opt} = 20 \quad K = \alpha + 1 = 3$$





## Preuve :

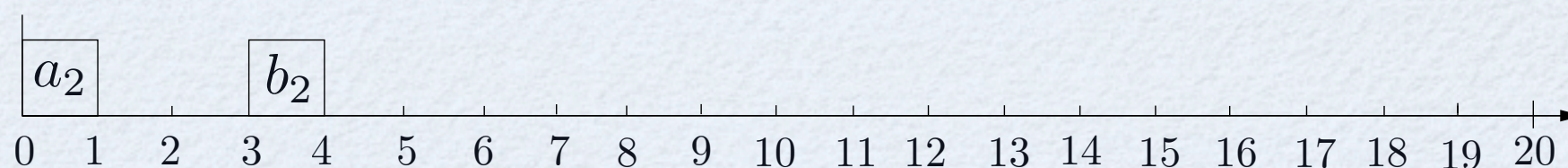
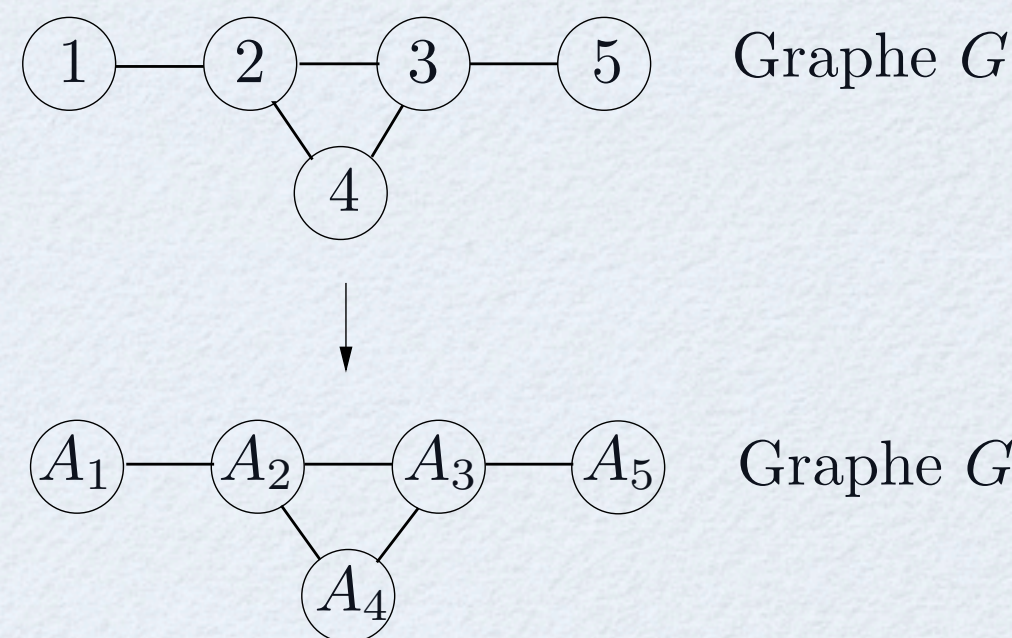
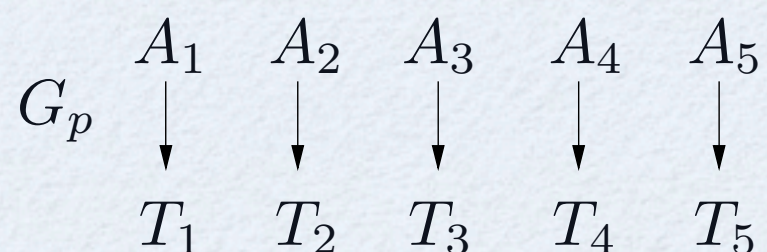
- Approche similaire à celle de Lenstra pour  $P|prec, P_j = 1|C_{max}$
- Réduction faite à partir du problème  $\mathcal{NP}$ -complet Clique

## Illustration de la transformation :

$$n = 5 \quad L_i = \alpha = 2$$

$$p_{T_i} = \alpha = 2$$

$$C_{max}^{opt} = 20 \quad K = \alpha + 1 = 3$$





## Preuve :

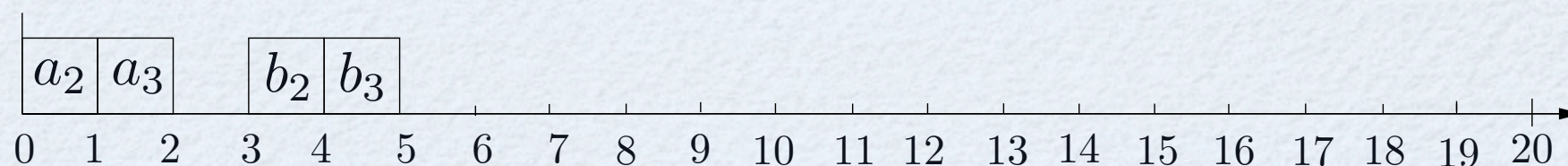
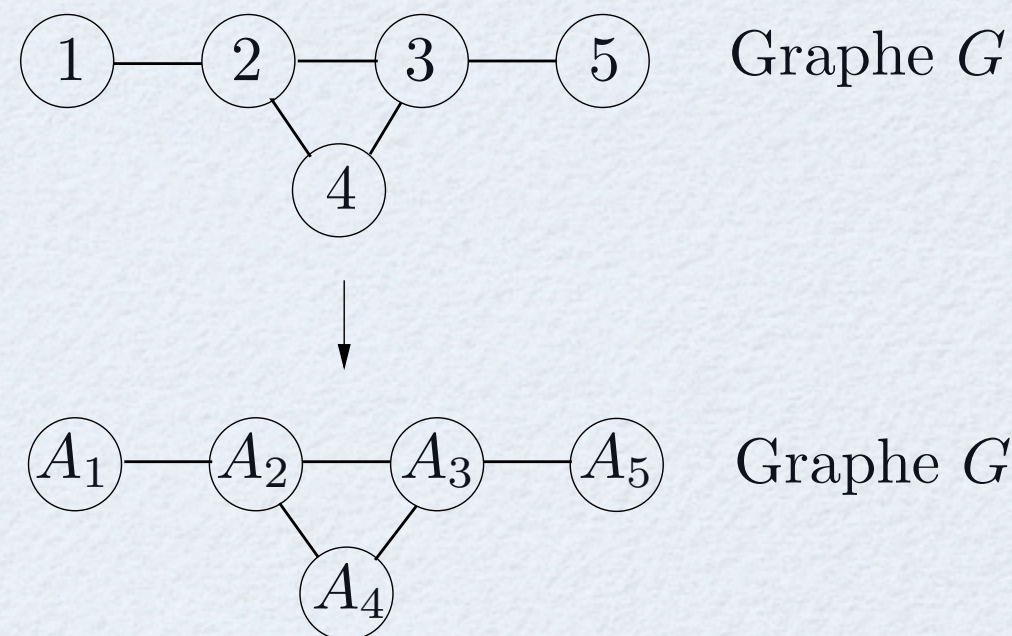
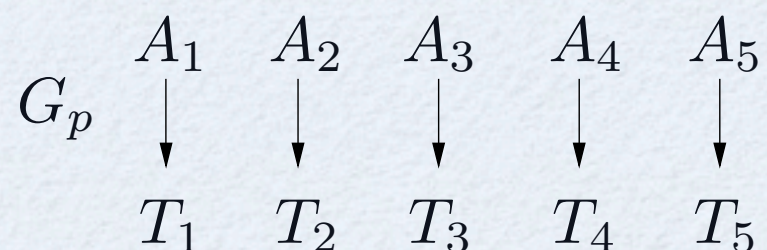
- Approche similaire à celle de Lenstra pour  $P|prec, P_j = 1|C_{max}$
- Réduction faite à partir du problème  $\mathcal{NP}$ -complet Clique

## Illustration de la transformation :

$$n = 5 \quad L_i = \alpha = 2$$

$$p_{T_i} = \alpha = 2$$

$$C_{max}^{opt} = 20 \quad K = \alpha + 1 = 3$$





## Preuve :

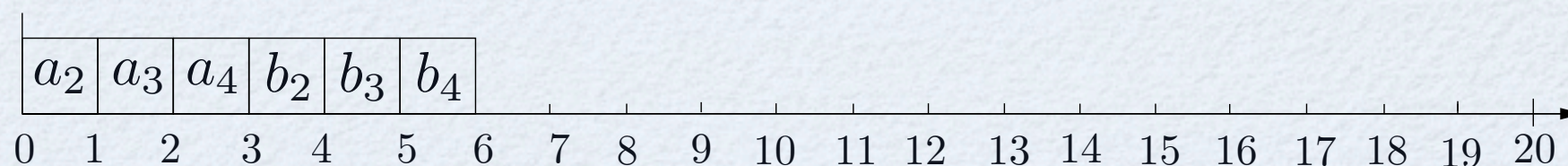
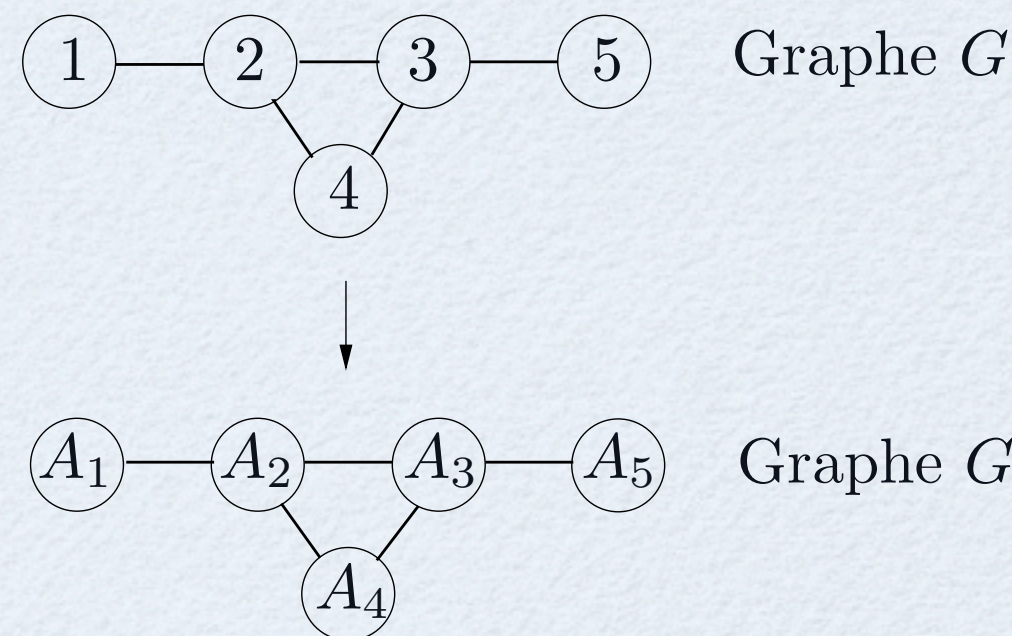
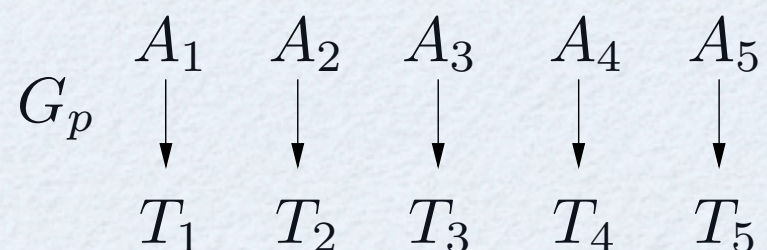
- Approche similaire à celle de Lenstra pour  $P|prec, P_j = 1|C_{max}$
- Réduction faite à partir du problème  $\mathcal{NP}$ -complet Clique

## Illustration de la transformation :

$$n = 5 \quad L_i = \alpha = 2$$

$$p_{T_i} = \alpha = 2$$

$$C_{max}^{opt} = 20 \quad K = \alpha + 1 = 3$$





## Preuve :

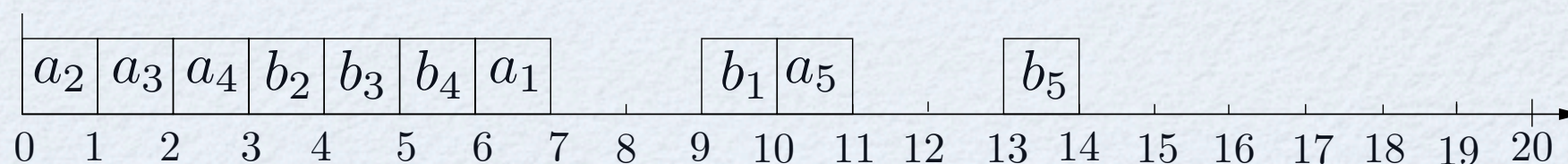
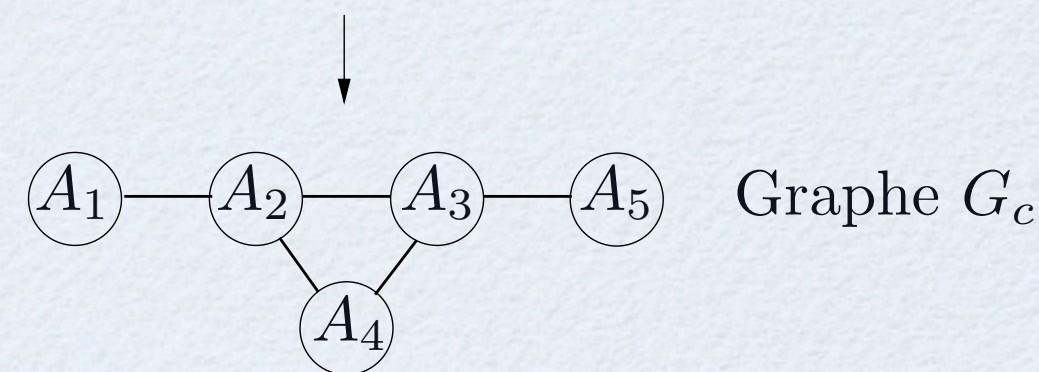
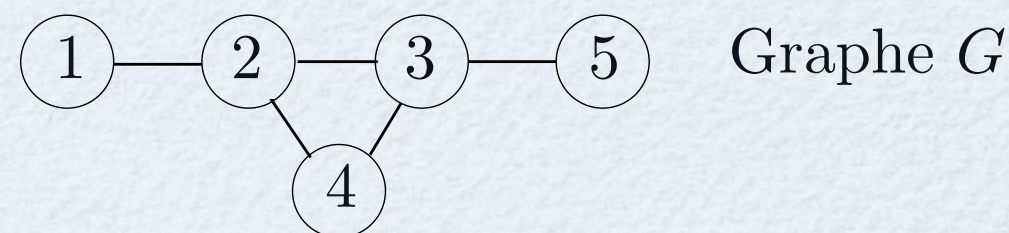
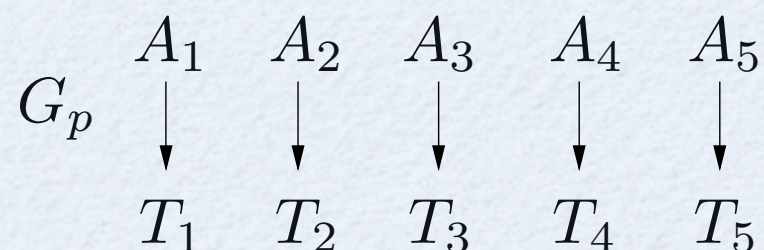
- Approche similaire à celle de Lenstra pour  $P|prec, P_j = 1|C_{max}$
- Réduction faite à partir du problème  $\mathcal{NP}$ -complet Clique

## Illustration de la transformation :

$$n = 5 \quad L_i = \alpha = 2$$

$$p_{T_i} = \alpha = 2$$

$$C_{max}^{opt} = 20 \quad K = \alpha + 1 = 3$$





## Preuve :

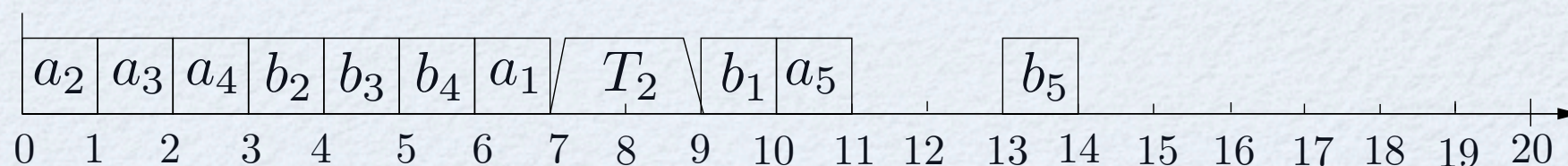
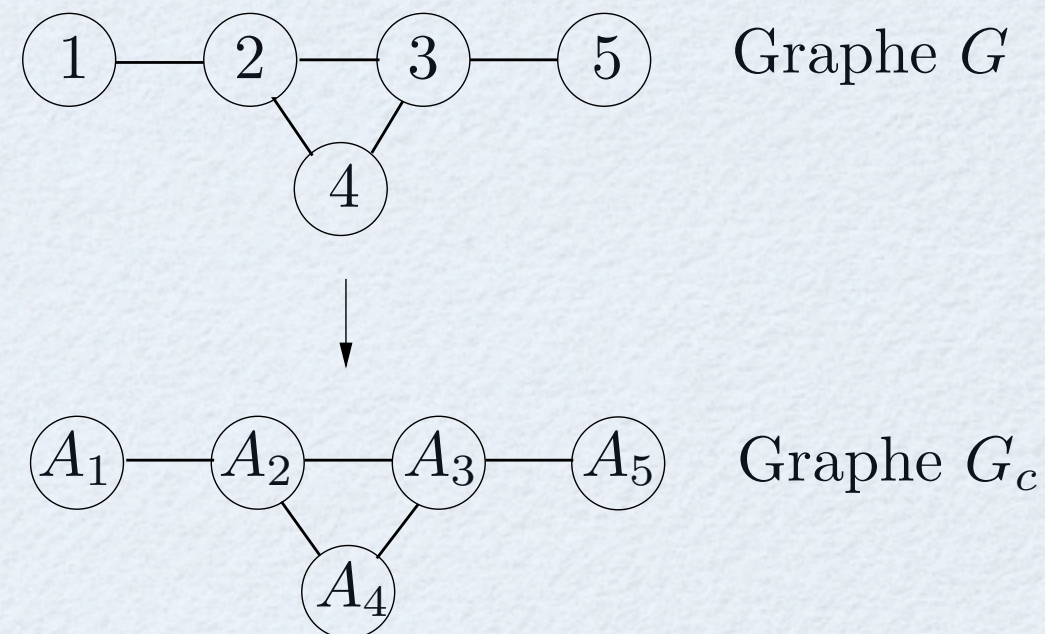
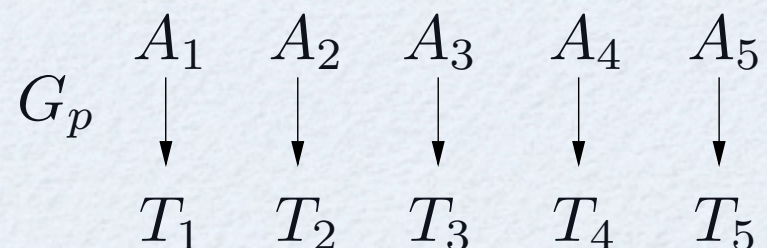
- Approche similaire à celle de Lenstra pour  $P|prec, P_j = 1|C_{max}$
- Réduction faite à partir du problème  $\mathcal{NP}$ -complet Clique

## Illustration de la transformation :

$$n = 5 \quad L_i = \alpha = 2$$

$$p_{T_i} = \alpha = 2$$

$$C_{max}^{opt} = 20 \quad K = \alpha + 1 = 3$$





## Preuve :

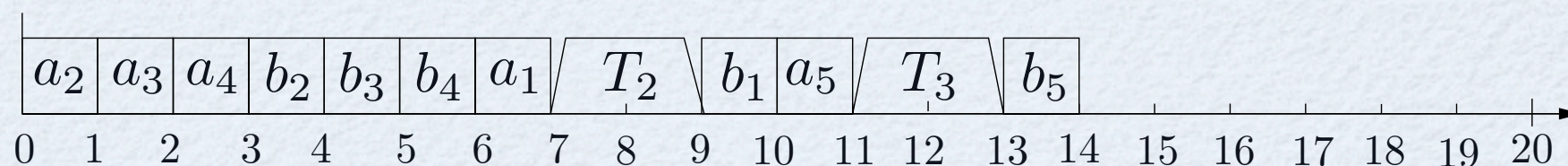
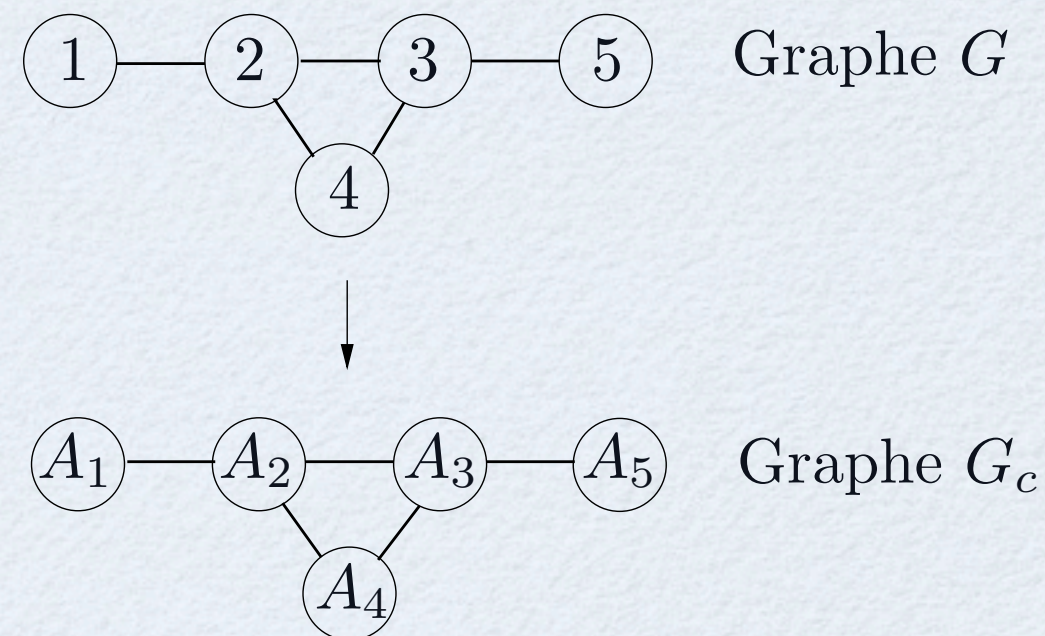
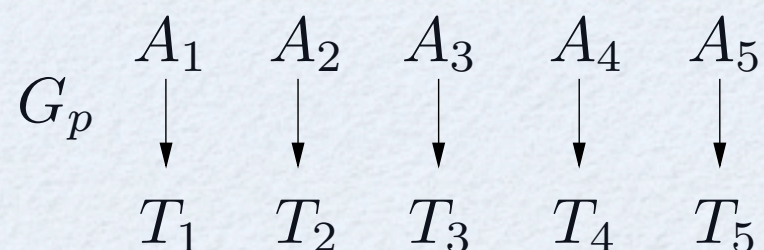
- Approche similaire à celle de Lenstra pour  $P|prec, P_j = 1|C_{max}$
- Réduction faite à partir du problème  $\mathcal{NP}$ -complet Clique

## Illustration de la transformation :

$$n = 5 \quad L_i = \alpha = 2$$

$$p_{T_i} = \alpha = 2$$

$$C_{max}^{opt} = 20 \quad K = \alpha + 1 = 3$$





## Preuve :

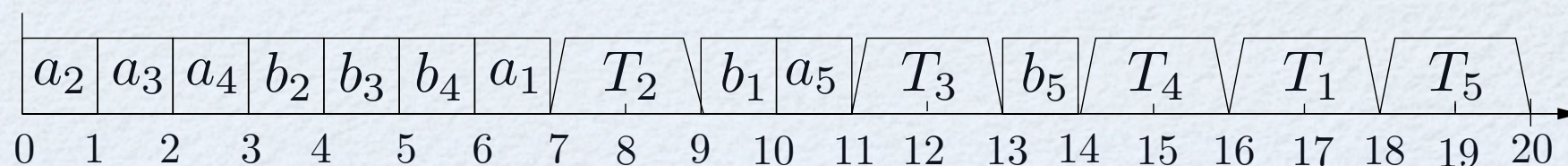
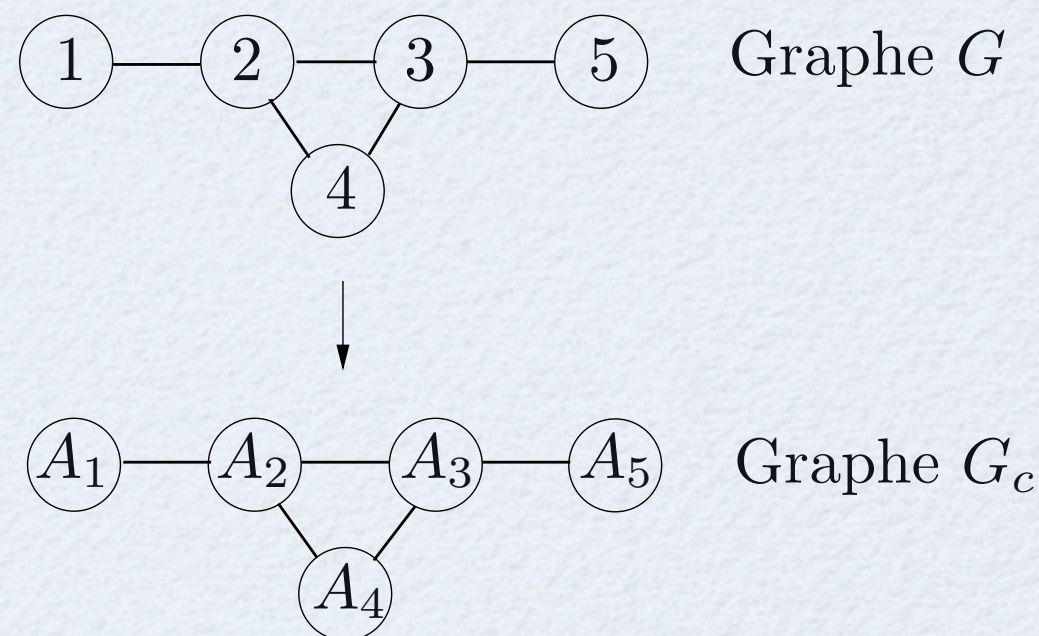
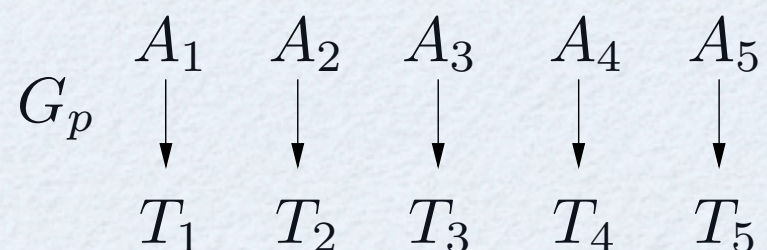
- Approche similaire à celle de Lenstra pour  $P|prec, P_j = 1|C_{max}$
- Réduction faite à partir du problème  $\mathcal{NP}$ -complet Clique

## Illustration de la transformation :

$$n = 5 \quad L_i = \alpha = 2$$

$$p_{T_i} = \alpha = 2$$

$$C_{max}^{opt} = 20 \quad K = \alpha + 1 = 3$$





## Preuve :

---

- Approche similaire à celle de Lenstra pour  $P|prec, P_j = 1|C_{max}$
- Réduction faite à partir du problème  $\mathcal{NP}$ -complet Clique





## Preuve :

---

- Approche similaire à celle de Lenstra pour  $P|_{prec}, P_j = 1|_{C_{max}}$
- Réduction faite à partir du problème  $\mathcal{NP}$ -complet Clique



- Supposons l'existence d'une clique de taille  $K$  dans le graphe  $G$



## Preuve :

---

- Approche similaire à celle de Lenstra pour  $P|_{prec}, P_j = 1|C_{max}$
- Réduction faite à partir du problème  $\mathcal{NP}$ -complet Clique



- Supposons l'existence d'une clique de taille  $K$  dans le graphe  $G$
- Montrons qu'il existe un ordonnancement sans temps d'inactivité :



## Preuve :

---

- Approche similaire à celle de Lenstra pour  $P|prec, P_j = 1|C_{max}$
- Réduction faite à partir du problème  $\mathcal{NP}$ -complet Clique



- Supposons l'existence d'une clique de taille  $K$  dans le graphe  $G$
- Montrons qu'il existe un ordonnancement sans temps d'inactivité :



## Preuve :

- Approche similaire à celle de Lenstra pour  $P|prec, P_j = 1|C_{max}$
- Réduction faite à partir du problème  $\mathcal{NP}$ -complet Clique



- Supposons l'existence d'une clique de taille  $K$  dans le graphe  $G$
- Montrons qu'il existe un ordonnancement sans temps d'inactivité :

A diagram illustrating a task set  $B$ . It consists of a horizontal axis with an arrow pointing to the right. A rectangular box labeled  $B$  is positioned above the axis, starting from the origin and extending to the right.

$B$  est composé de  $K$  tâches  $A_i$ , pour  $i = 1, \dots, K$

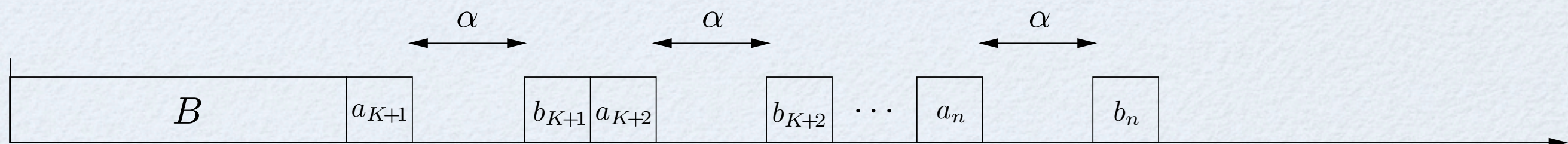


## Preuve :

- Approche similaire à celle de Lenstra pour  $P|prec, P_j = 1|C_{max}$
- Réduction faite à partir du problème  $\mathcal{NP}$ -complet Clique



- Supposons l'existence d'une clique de taille  $K$  dans le graphe  $G$
- Montrons qu'il existe un ordonnancement sans temps d'inactivité :



$B$  est composé de  $K$  tâches  $A_i$ , pour  $i = 1, \dots, K$

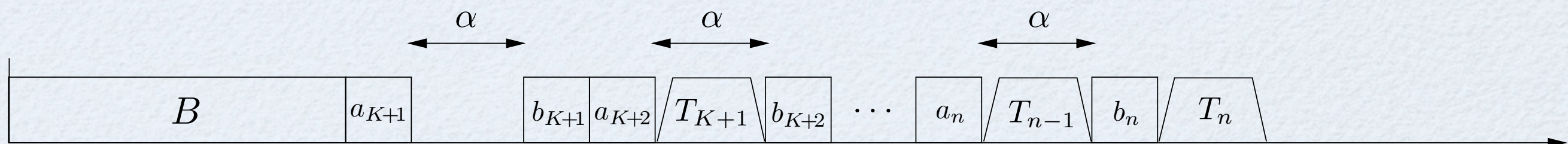


## Preuve :

- Approche similaire à celle de Lenstra pour  $P|prec, P_j = 1|C_{max}$
- Réduction faite à partir du problème  $\mathcal{NP}$ -complet Clique



- Supposons l'existence d'une clique de taille  $K$  dans le graphe  $G$
- Montrons qu'il existe un ordonnancement sans temps d'inactivité :



$B$  est composé de  $K$  tâches  $A_i$ , pour  $i = 1, \dots, K$

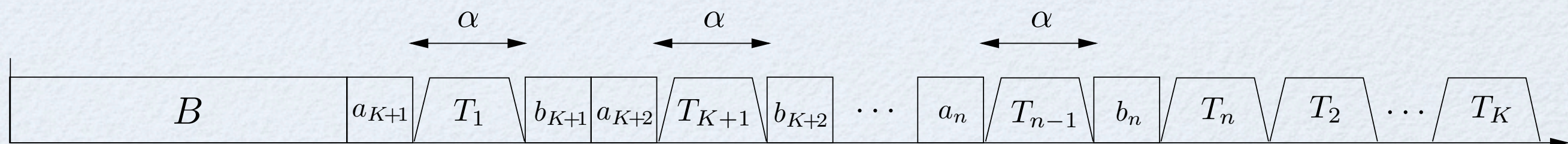


## Preuve :

- Approche similaire à celle de Lenstra pour  $P|prec, P_j = 1|C_{max}$
- Réduction faite à partir du problème  $\mathcal{NP}$ -complet Clique



- Supposons l'existence d'une clique de taille  $K$  dans le graphe  $G$
- Montrons qu'il existe un ordonnancement sans temps d'inactivité :



$B$  est composé de  $K$  tâches  $A_i$ , pour  $i = 1, \dots, K$



## Preuve :

---

- Approche similaire à celle de Lenstra pour  $P|prec, P_j = 1|C_{max}$
- Réduction faite à partir du problème  $\mathcal{NP}$ -complet Clique

← • Supposons l'existence d'un ordonnancement sans temps d'inactivité

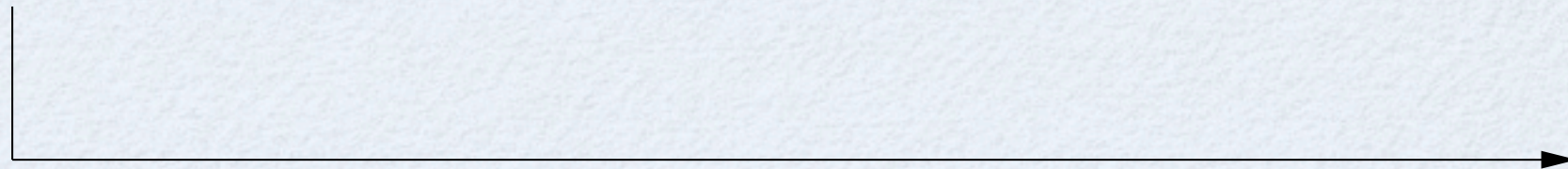


## Preuve :

---

- Approche similaire à celle de Lenstra pour  $P|prec, P_j = 1|C_{max}$
- Réduction faite à partir du problème  $\mathcal{NP}$ -complet Clique

- ← • Supposons l'existence d'un ordonnancement sans temps d'inactivité
- Montrons qu'il existe une clique de taille  $K = (\alpha + 1)$  dans  $G$  :

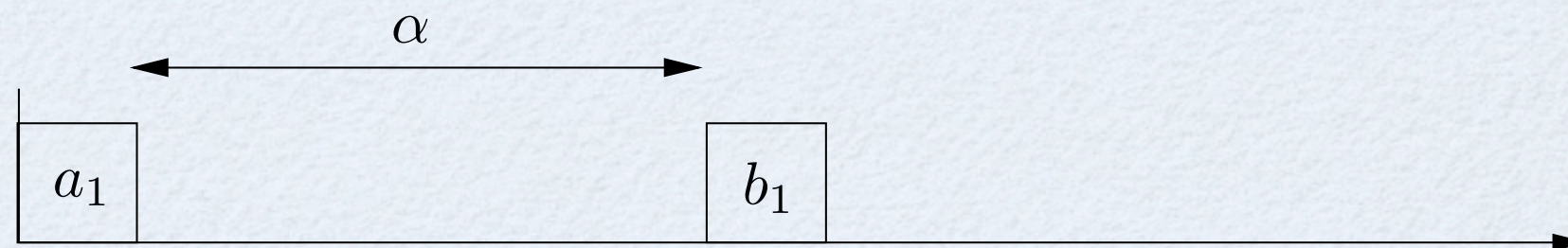




## Preuve :

- Approche similaire à celle de Lenstra pour  $P|_{prec, P_j = 1} | C_{max}$
- Réduction faite à partir du problème  $\mathcal{NP}$ -complet Clique

- ← • Supposons l'existence d'un ordonnancement sans temps d'inactivité
- Montrons qu'il existe une clique de taille  $K = (\alpha + 1)$  dans  $G$  :

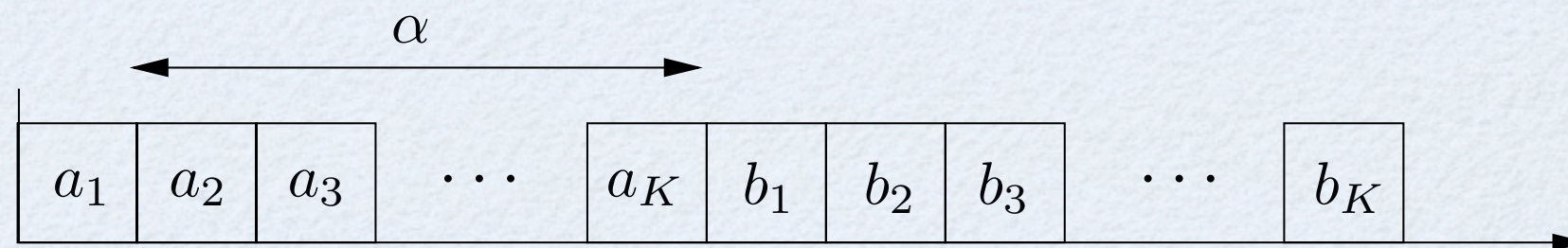




## Preuve :

- Approche similaire à celle de Lenstra pour  $P|_{prec}, P_j = 1 | C_{max}$
- Réduction faite à partir du problème  $\mathcal{NP}$ -complet Clique

- ← • Supposons l'existence d'un ordonnancement sans temps d'inactivité
- Montrons qu'il existe une clique de taille  $K = (\alpha + 1)$  dans  $G$  :

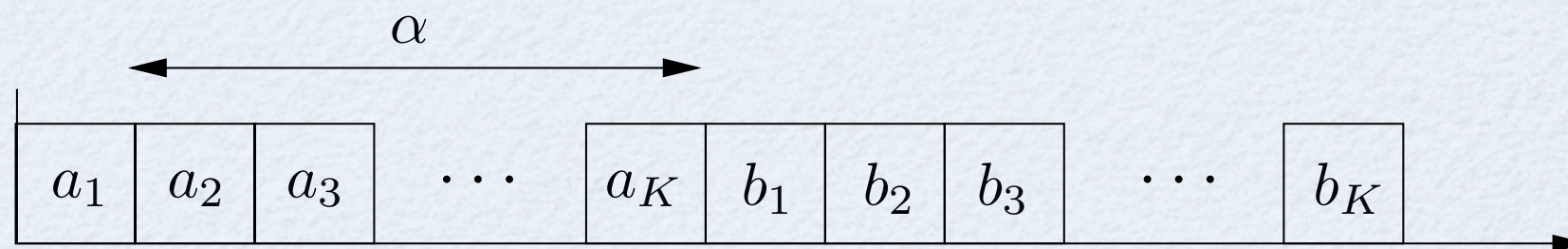




## Preuve :

- Approche similaire à celle de Lenstra pour  $P|_{prec, P_j = 1} | C_{max}$
- Réduction faite à partir du problème  $\mathcal{NP}$ -complet Clique

- ← • Supposons l'existence d'un ordonnancement sans temps d'inactivité
- Montrons qu'il existe une clique de taille  $K = (\alpha + 1)$  dans  $G$  :



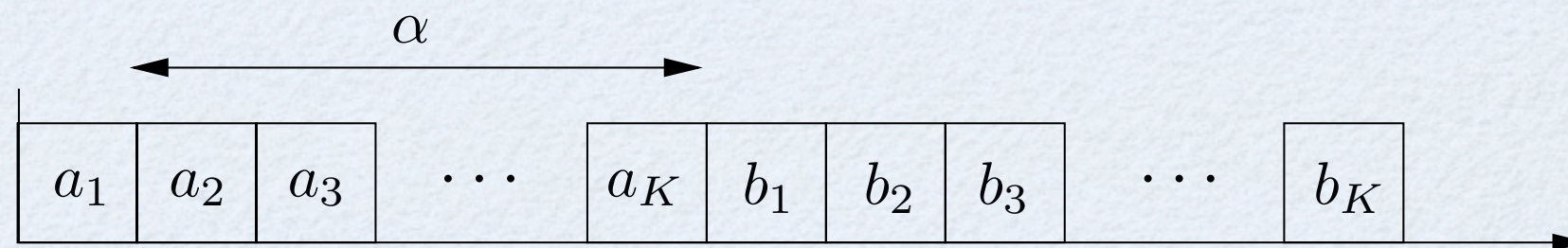
Il existe une clique de taille  $K$  dans  $G_c$



## Preuve :

- Approche similaire à celle de Lenstra pour  $P|_{prec}, P_j = 1 | C_{max}$
- Réduction faite à partir du problème  $\mathcal{NP}$ -complet Clique

- ← • Supposons l'existence d'un ordonnancement sans temps d'inactivité
- Montrons qu'il existe une clique de taille  $K = (\alpha + 1)$  dans  $G$  :



Il existe une clique de taille  $K$  dans  $G_c$   $\longrightarrow$  Il existe une clique de taille  $K$  dans  $G$   $\square$



Ainsi, on a :

1| *prec, tâche – couplée*,  $(p_{a_i} = p_{b_i} = 1, L_i = \alpha) \cup (p_{T_i}, p_{mtn}), G_c | C_{max}$   $\mathcal{NP}$ -complet



Ainsi, on a :

1| *prec, tâche-couplée*,  $(p_{a_i} = p_{b_i} = 1, L_i = \alpha) \cup (p_{T_i}, p_{mtn}), G_c | C_{max}$   $\mathcal{NP}$ -complet



1| *prec, tâche-couplée*,  $(p_{a_i} = p_{b_i} = p, L_i = \alpha) \cup (p_{T_i}, p_{mtn}), G_c | C_{max}$   $\mathcal{NP}$ -complet



Ainsi, on a :

1| *prec, tâche-couplée*,  $(p_{a_i} = p_{b_i} = 1, L_i = \alpha) \cup (p_{T_i}, p_{mtn}), G_c | C_{max}$   $\mathcal{NP}$ -complet



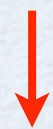
1| *prec, tâche-couplée*,  $(p_{a_i} = p_{b_i} = p, L_i = \alpha) \cup (p_{T_i}, p_{mtn}), G_c | C_{max}$   $\mathcal{NP}$ -complet

Ce qui entraîne :



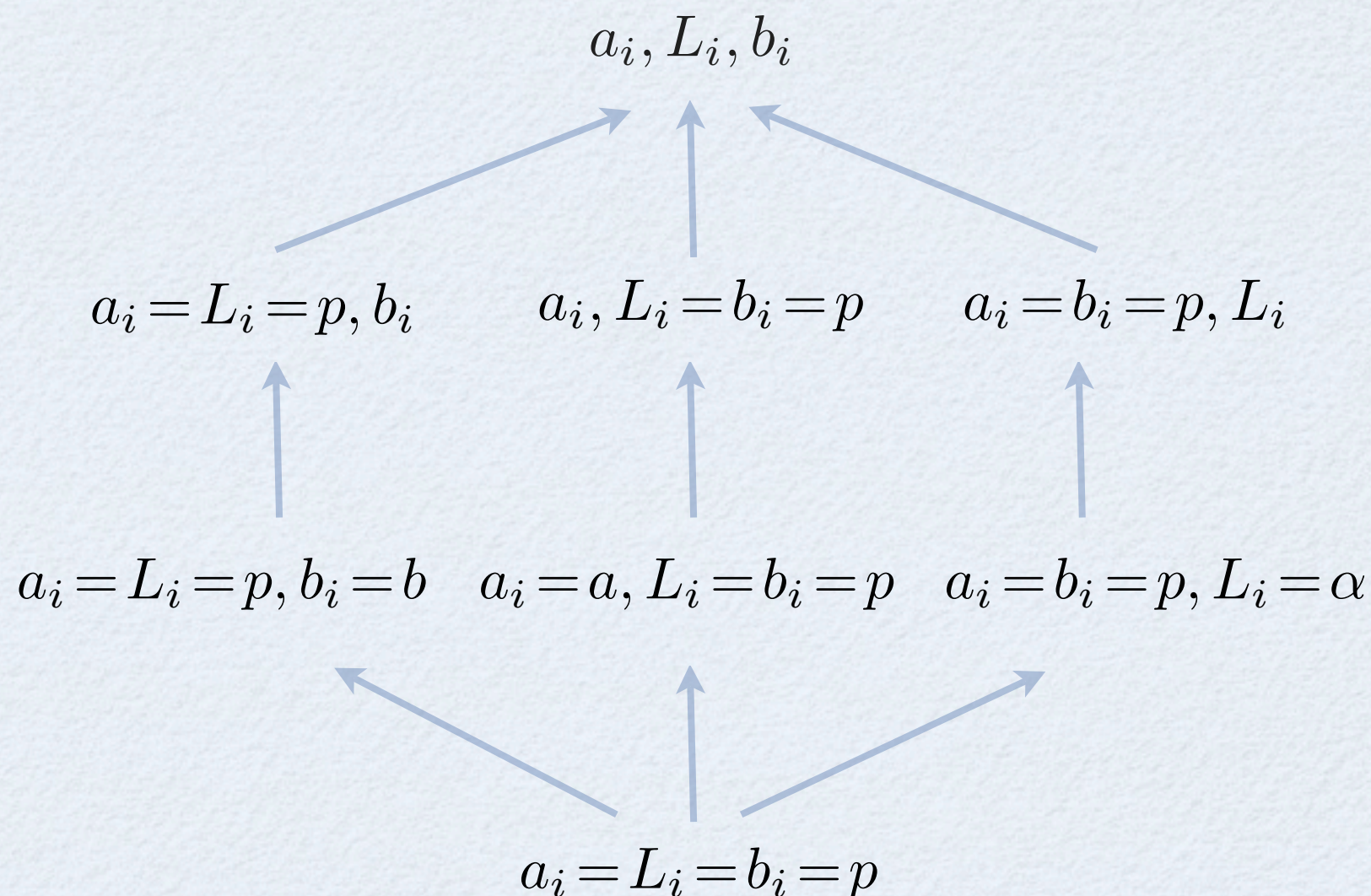
Ainsi, on a :

1| *prec, tâche-couplée*,  $(p_{a_i} = p_{b_i} = 1, L_i = \alpha) \cup (p_{T_i}, p_{mtn}), G_c | C_{max}$   $\mathcal{NP}$ -complet



1| *prec, tâche-couplée*,  $(p_{a_i} = p_{b_i} = p, L_i = \alpha) \cup (p_{T_i}, p_{mtn}), G_c | C_{max}$   $\mathcal{NP}$ -complet

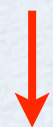
Ce qui entraîne :





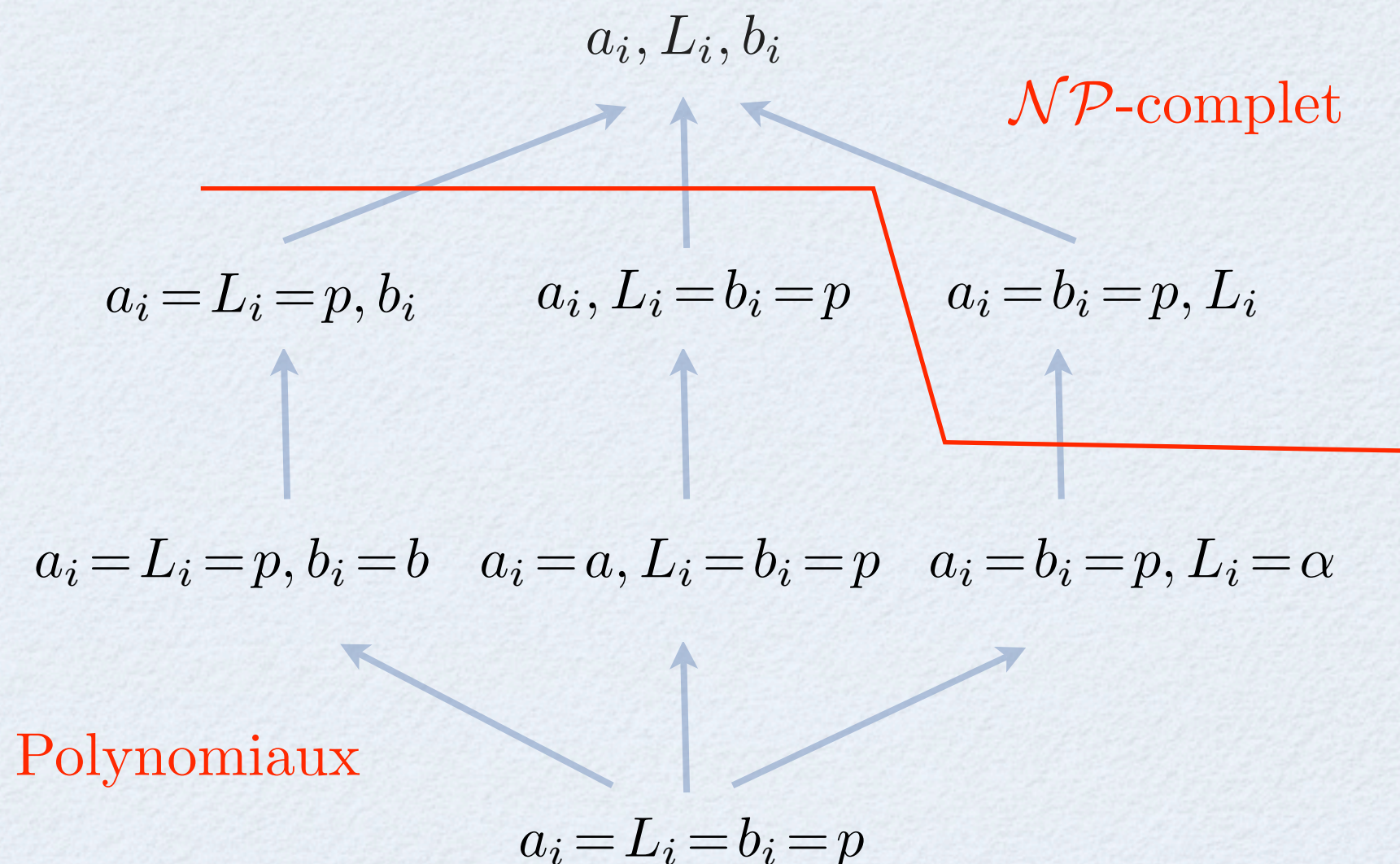
Ainsi, on a :

1| *prec, tâche-couplée*,  $(p_{a_i} = p_{b_i} = 1, L_i = \alpha) \cup (p_{T_i}, p_{mtn}), G_c | C_{max}$   $\mathcal{NP}$ -complet



1| *prec, tâche-couplée*,  $(p_{a_i} = p_{b_i} = p, L_i = \alpha) \cup (p_{T_i}, p_{mtn}), G_c | C_{max}$   $\mathcal{NP}$ -complet

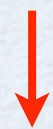
Ce qui entraîne :





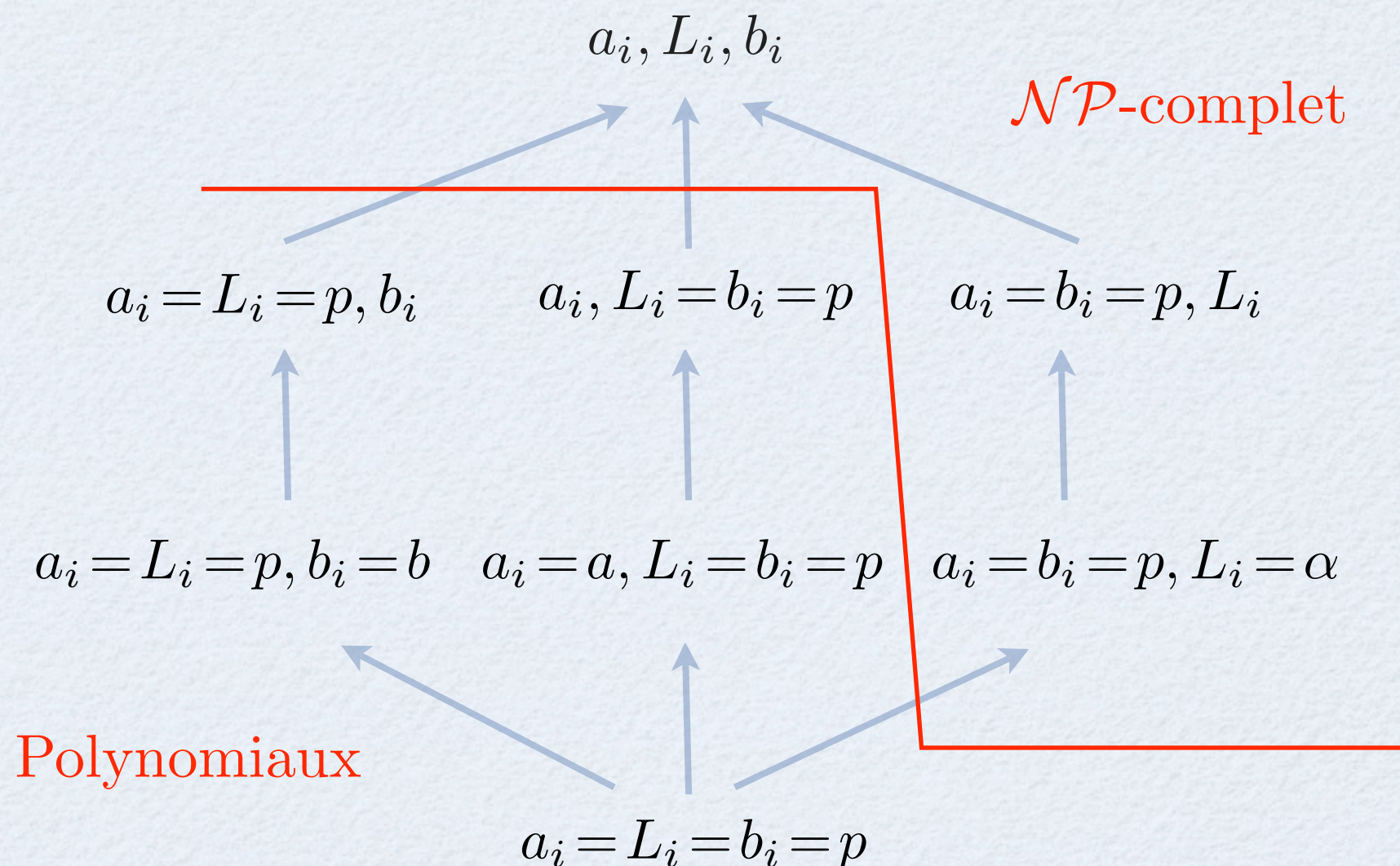
Ainsi, on a :

1| *prec, tâche-couplée*,  $(p_{a_i} = p_{b_i} = 1, L_i = \alpha) \cup (p_{T_i}, p_{mtn}), G_c | C_{max}$   $\mathcal{NP}$ -complet



1| *prec, tâche-couplée*,  $(p_{a_i} = p_{b_i} = p, L_i = \alpha) \cup (p_{T_i}, p_{mtn}), G_c | C_{max}$   $\mathcal{NP}$ -complet

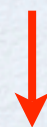
Ce qui entraîne :





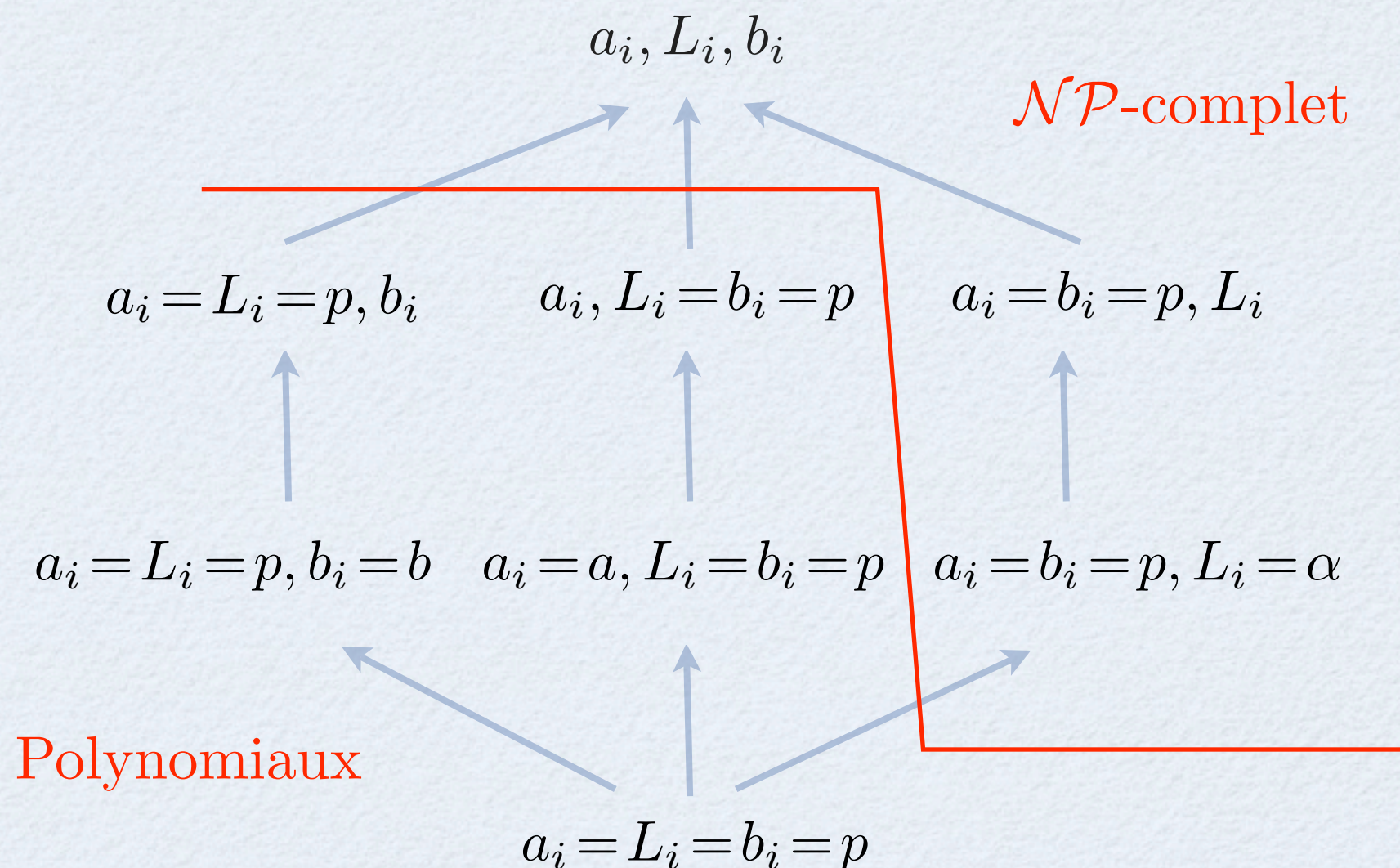
Ainsi, on a :

1| *prec, tâche-couplée*,  $(p_{a_i} = p_{b_i} = 1, L_i = \alpha) \cup (p_{T_i}, p_{mtn}), G_c | C_{max}$   $\mathcal{NP}$ -complet



1| *prec, tâche-couplée*,  $(p_{a_i} = p_{b_i} = p, L_i = \alpha) \cup (p_{T_i}, p_{mtn}), G_c | C_{max}$   $\mathcal{NP}$ -complet

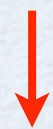
Ce qui entraîne :





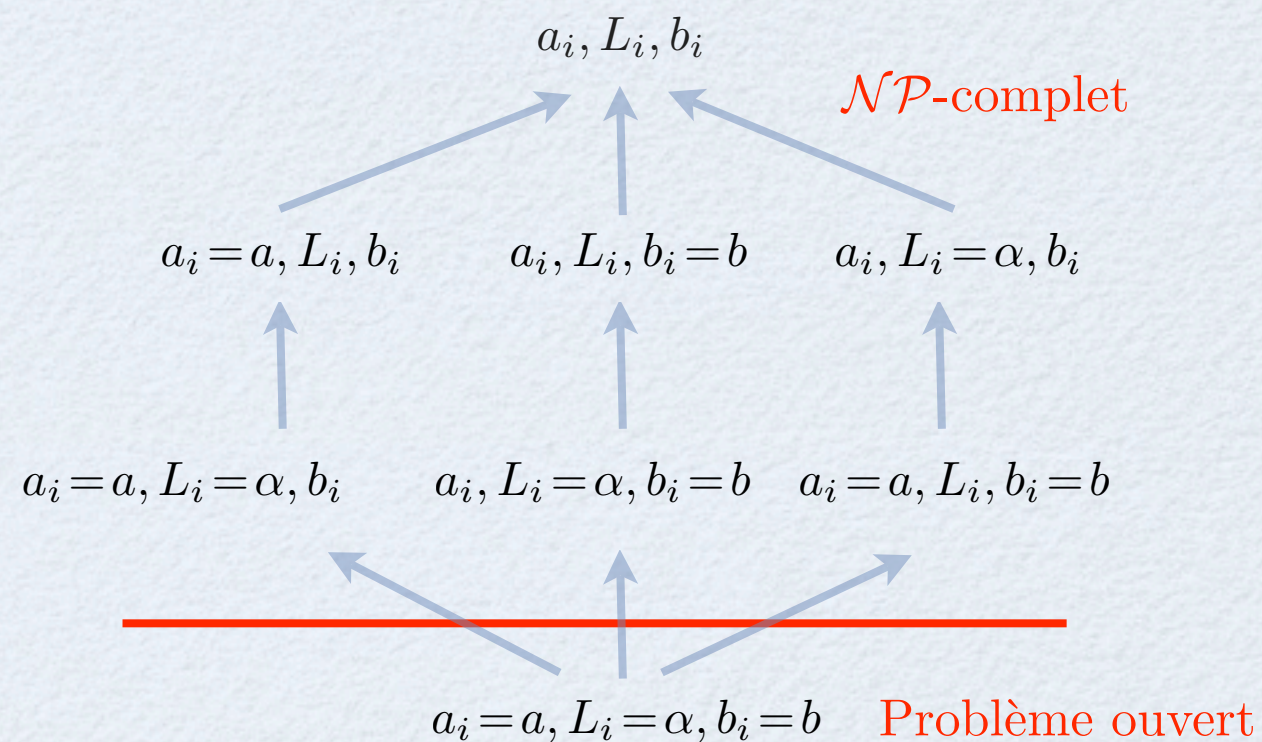
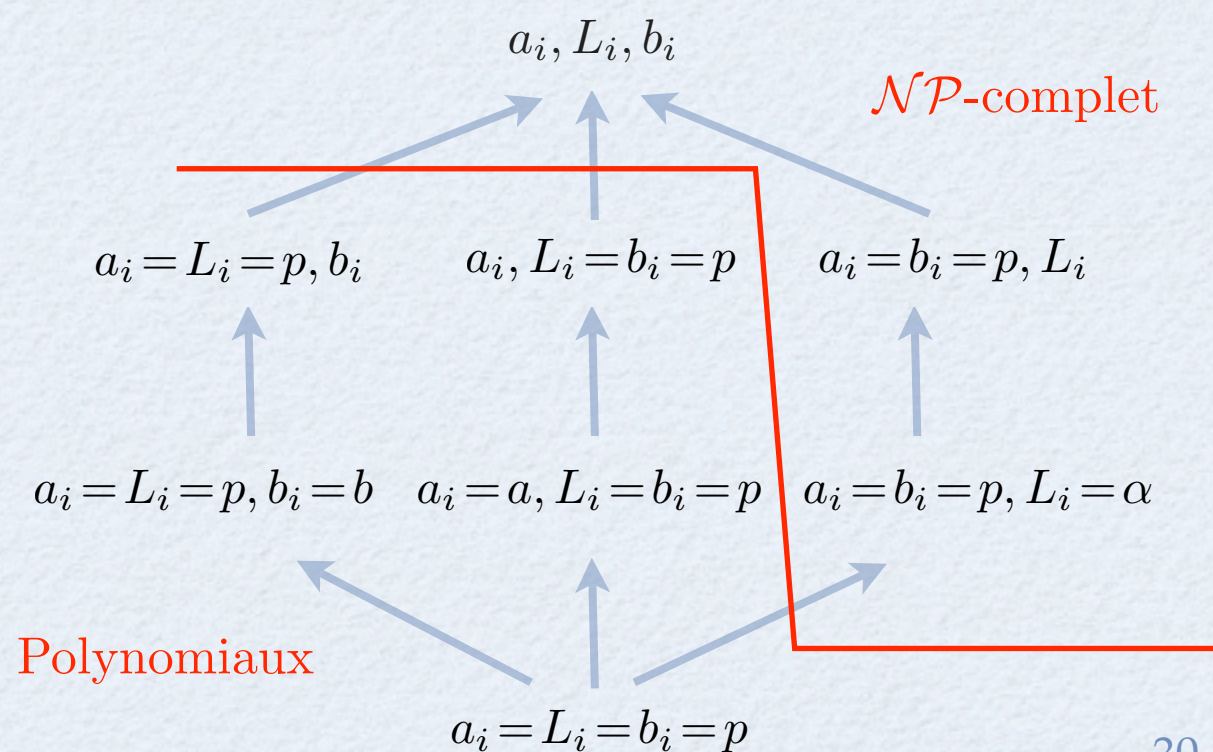
Ainsi, on a :

1| *prec, tâche-couplée*,  $(p_{a_i} = p_{b_i} = 1, L_i = \alpha) \cup (p_{T_i}, p_{mtn}), G_c | C_{max}$   $\mathcal{NP}$ -complet



1| *prec, tâche-couplée*,  $(p_{a_i} = p_{b_i} = p, L_i = \alpha) \cup (p_{T_i}, p_{mtn}), G_c | C_{max}$   $\mathcal{NP}$ -complet

Ce qui entraîne :





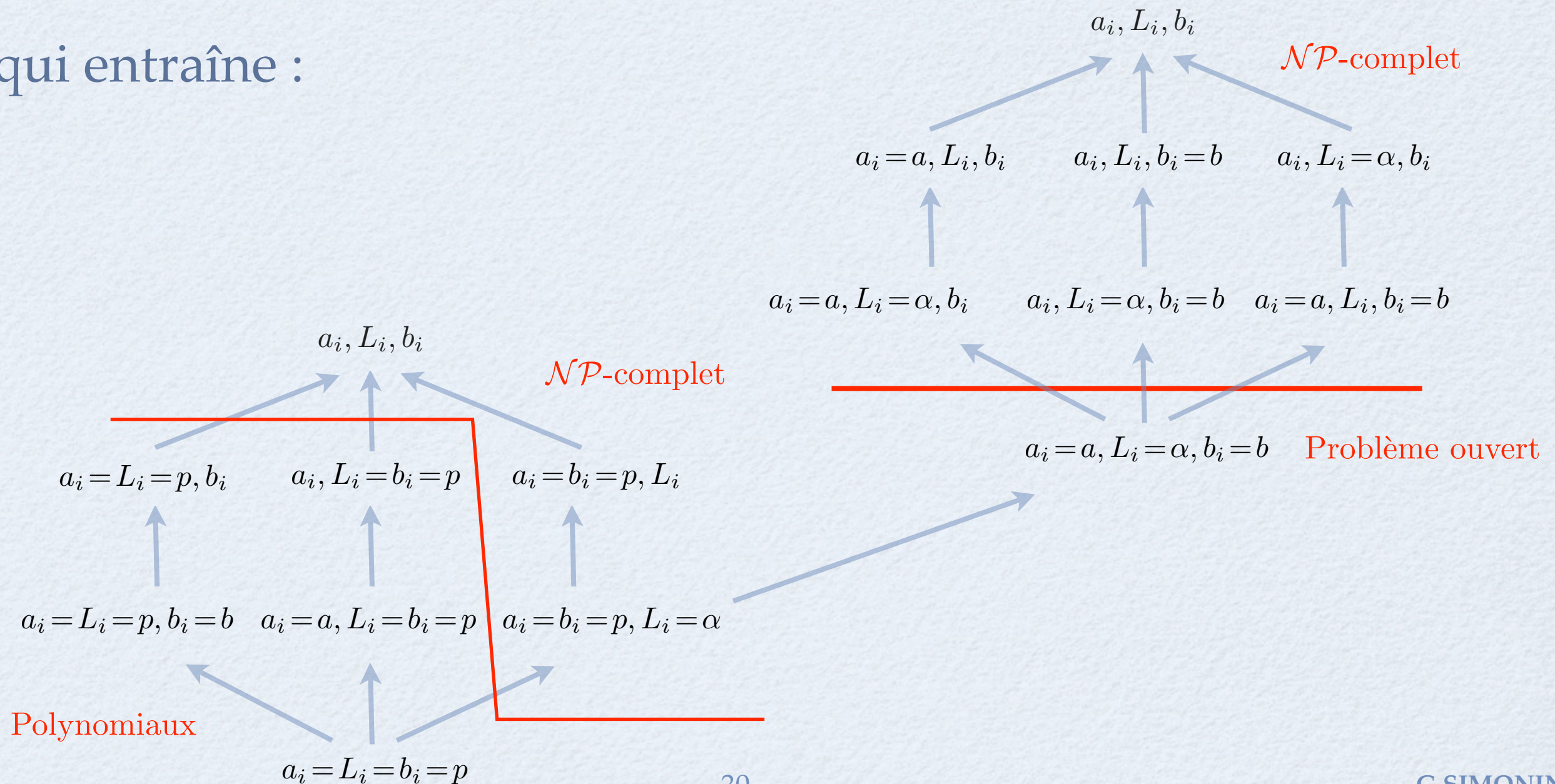
Ainsi, on a :

1| *prec, tâche-couplée*,  $(p_{a_i} = p_{b_i} = 1, L_i = \alpha) \cup (p_{T_i}, p_{mtn}), G_c | C_{max}$   $\mathcal{NP}$ -complet



1| *prec, tâche-couplée*,  $(p_{a_i} = p_{b_i} = p, L_i = \alpha) \cup (p_{T_i}, p_{mtn}), G_c | C_{max}$   $\mathcal{NP}$ -complet

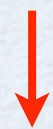
Ce qui entraîne :





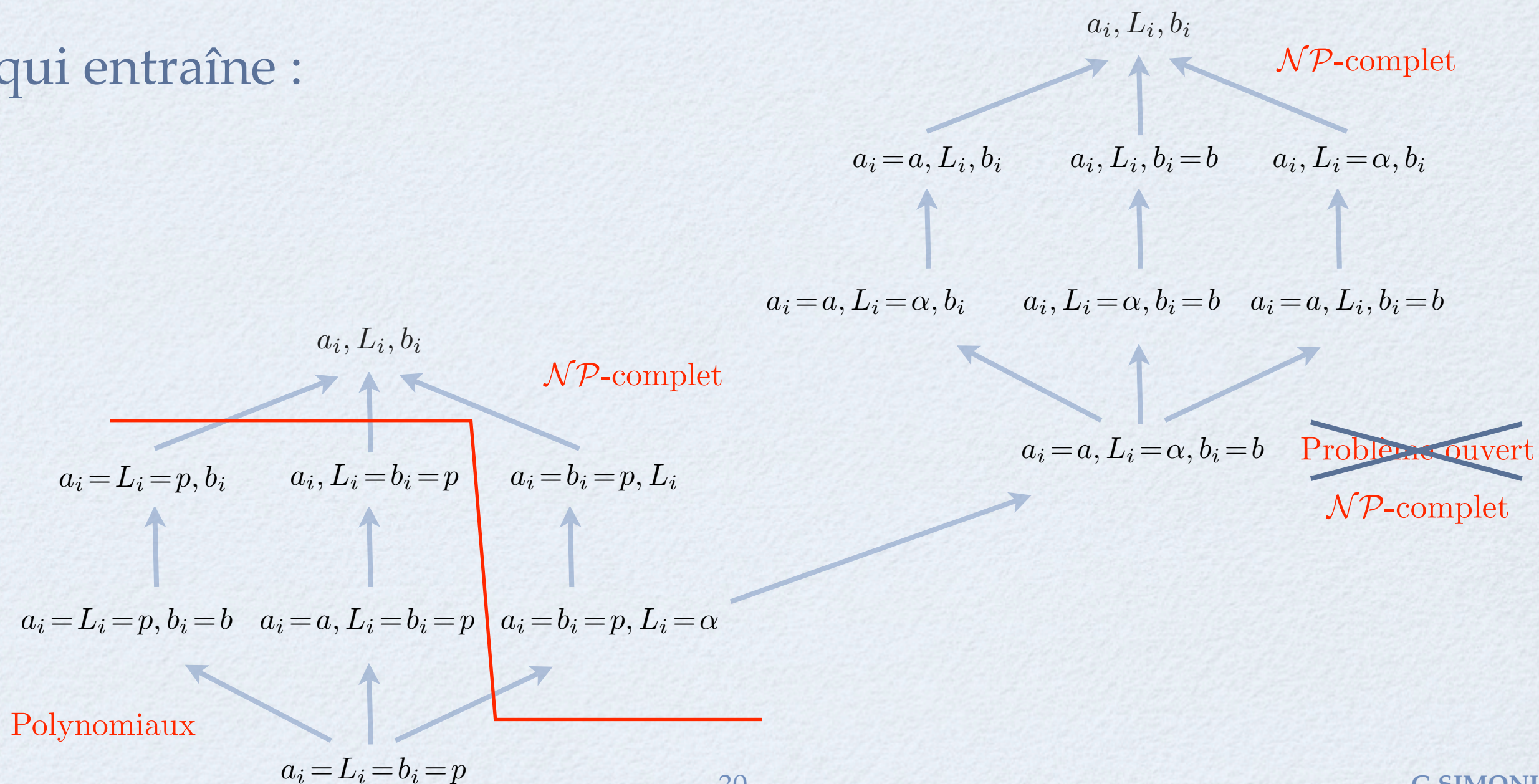
Ainsi, on a :

1| *prec, tâche-couplée*,  $(p_{a_i} = p_{b_i} = 1, L_i = \alpha) \cup (p_{T_i}, p_{mtn}), G_c | C_{max}$   $\mathcal{NP}$ -complet



1| *prec, tâche-couplée*,  $(p_{a_i} = p_{b_i} = p, L_i = \alpha) \cup (p_{T_i}, p_{mtn}), G_c | C_{max}$   $\mathcal{NP}$ -complet

Ce qui entraîne :





# Table des matières

- Introduction
  - Présentation du problème
  - Modélisation
- Complexité de ces problèmes
  - Etat de l'art
  - Preuve de NP-complétude sur un cas particulier
- **Les techniques d'approximation**
  - Couplage maximum
  - Clique maximale
  - Poupées russes
- Les techniques de non approximation
  - Clique partition
  - Triangle packing
- Conclusion et perspectives



# Approximation : Approche spécifique

- Techniques habituelles pour les tâches-couplées sur monoprocesseur non applicables.
- La solution :
  - Une approche différente
  - Penser à remplir les temps de latence des tâches d'acquisition tout en gérant les contraintes de compatibilité
  - Des heuristiques qui exploitent le graphe de compatibilité
  - Utiliser les tâches de traitement pour remplir les temps de latence



# Exemples d'heuristiques pour nos problèmes

Remarque :

---

Le pire des cas sera lorsque les tâches de traitement auront un temps d'exécution unitaire  $p_{T_i} = 1$



# Exemples d'heuristiques pour nos problèmes

## Remarque :

---

Le pire des cas sera lorsque les tâches de traitement auront un temps d'exécution unitaire  $p_{T_i} = 1$

## Les idées :

---

- Couplage maximum
- Cliques maximales
- Poupées russes



# Première Heuristique : Couplage maximum

Algorithme en temps polynomial :



# Première Heuristique : Couplage maximum

## Algorithme en temps polynomial :

---

**Données :**  $\mathcal{A}, \mathcal{T}, G_c, G_p, \alpha \geq 1$

**Résultat :**  $C_{max}^h$

**Début**



# Première Heuristique : Couplage maximum

## Algorithme en temps polynomial :

---

**Données :**  $\mathcal{A}, \mathcal{T}, G_c, G_p, \alpha \geq 1$

**Résultat :**  $C_{max}^h$

**Début**

- Chercher un couplage maximum  $M$  dans  $G_c$



# Première Heuristique : Couplage maximum

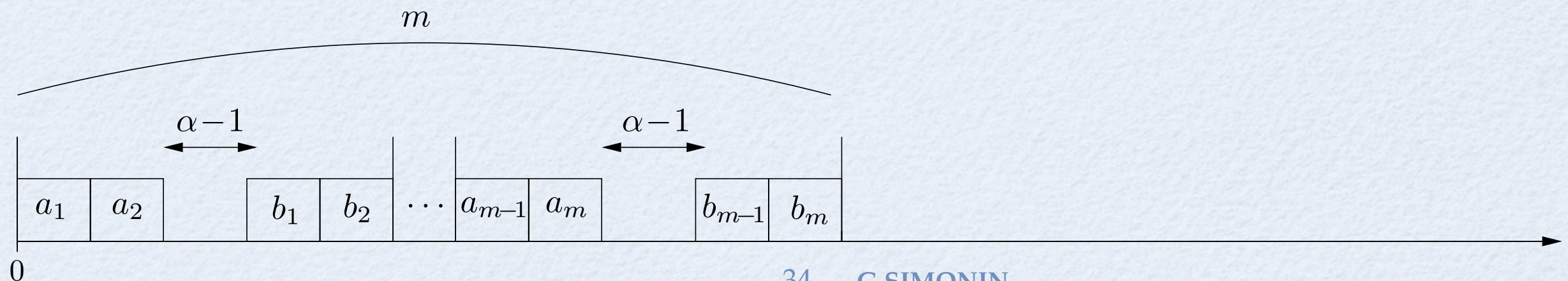
## Algorithme en temps polynomial :

**Données :**  $\mathcal{A}, \mathcal{T}, G_c, G_p, \alpha \geq 1$

**Résultat :**  $C_{max}^h$

### Début

- Chercher un couplage maximum  $M$  dans  $G_c$
- Pour chaque arête  $(i, j)$  du couplage,  $A_i$  et  $A_j$  sont ordonnancées telles que  $t_{a_j} = t_{a_i} + p_{a_i}$





# Première Heuristique : Couplage maximum

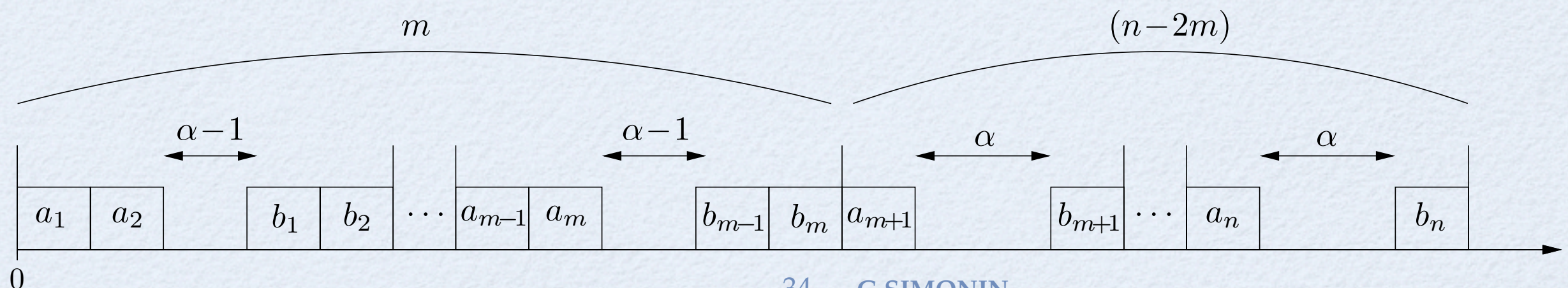
## Algorithme en temps polynomial :

**Données :**  $\mathcal{A}, \mathcal{T}, G_c, G_p, \alpha \geq 1$

**Résultat :**  $C_{max}^h$

### Début

- Chercher un couplage maximum  $M$  dans  $G_c$
- Pour chaque arête  $(i, j)$  du couplage,  $A_i$  et  $A_j$  sont ordonnancées telles que  $t_{a_j} = t_{a_i} + p_{a_i}$
- Pour chaque sommet  $i$  restant, nous exécutons  $A_i$





# Première Heuristique : Couplage maximum

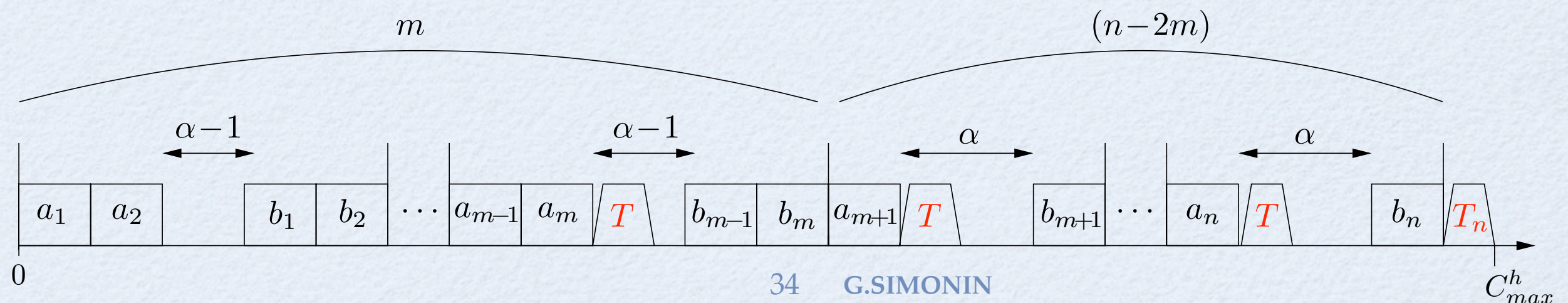
## Algorithme en temps polynomial :

**Données :**  $\mathcal{A}, \mathcal{T}, G_c, G_p, \alpha \geq 1$

**Résultat :**  $C_{max}^h$

### Début

- Chercher un couplage maximum  $M$  dans  $G_c$
- Pour chaque arête  $(i, j)$  du couplage,  $A_i$  et  $A_j$  sont ordonnancées telles que  $t_{a_j} = t_{a_i} + p_{a_i}$
- Pour chaque sommet  $i$  restant, nous exécutons  $A_i$
- Exécutons les tâches de traitement aux premiers emplacements libres en respectant le graphe  $G_p$





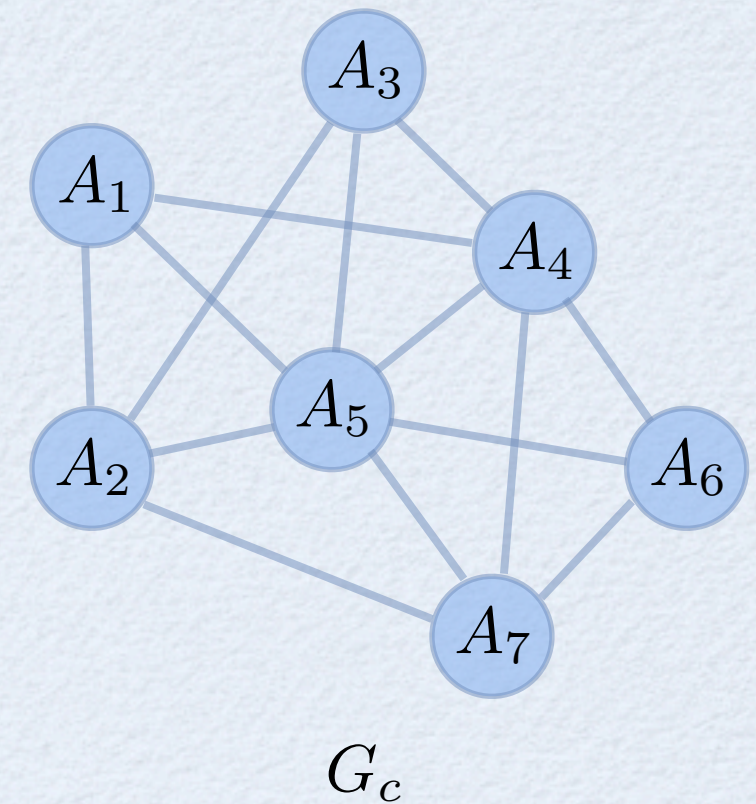
# Deuxième Heuristique : Clique maximale

## Algorithme en temps polynomial :

**Données :**  $\mathcal{A}, \mathcal{T}, G_c, G_p, \alpha \geq 1$

**Résultat :**  $C_{max}^h$

**Début**





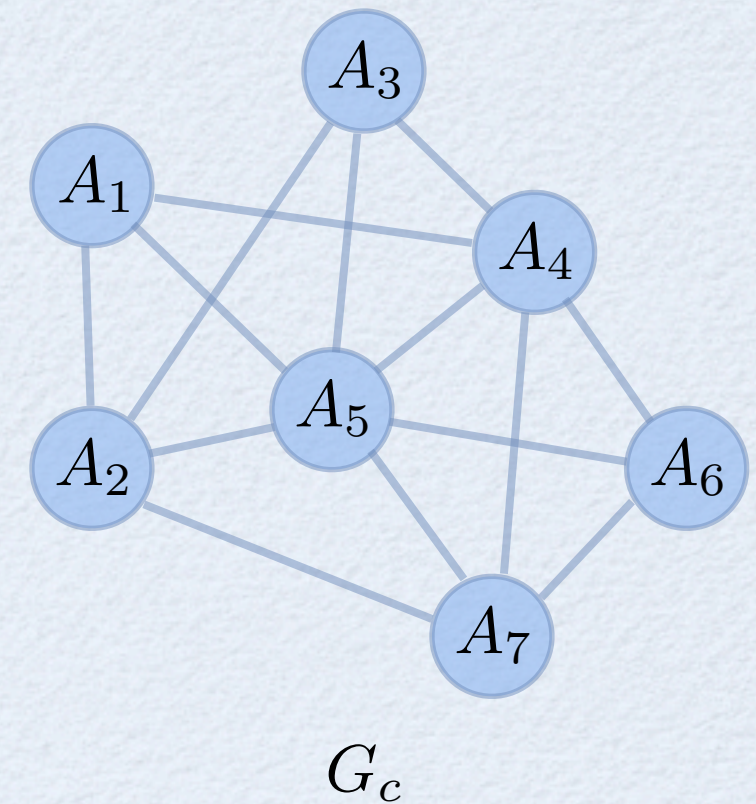
# Deuxième Heuristique : Clique maximale

## Algorithme en temps polynomial :

**Données :**  $\mathcal{A}, \mathcal{T}, G_c, G_p, \alpha \geq 1$

**Résultat :**  $C_{max}^h$

**Début**





# Deuxième Heuristique : Clique maximale

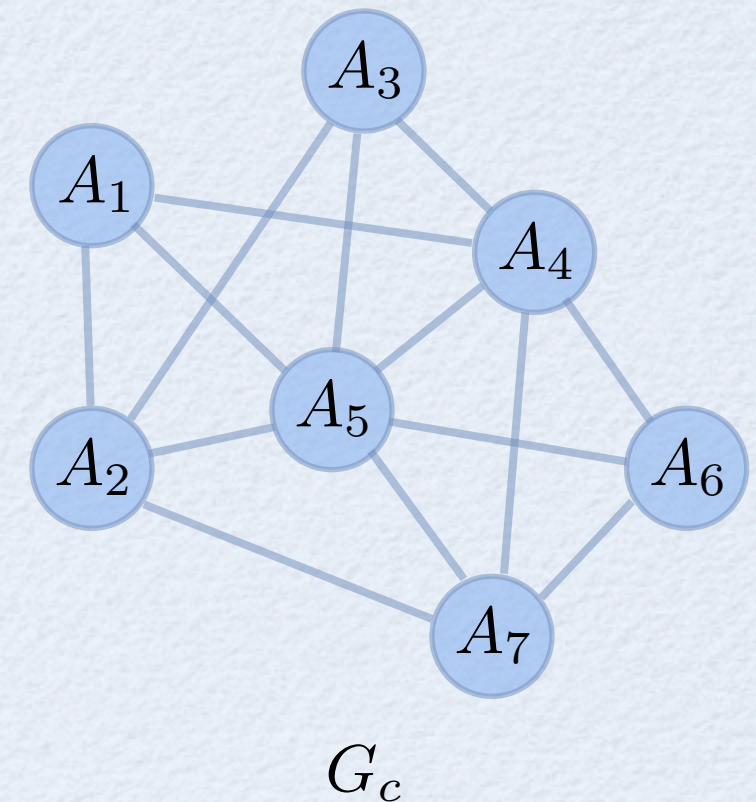
## Algorithme en temps polynomial :

**Données :**  $\mathcal{A}, \mathcal{T}, G_c, G_p, \alpha \geq 1$

**Résultat :**  $C_{max}^h$

**Début**

- Tant qu'il reste des sommets non visités dans  $G_c$





# Deuxième Heuristique : Clique maximale

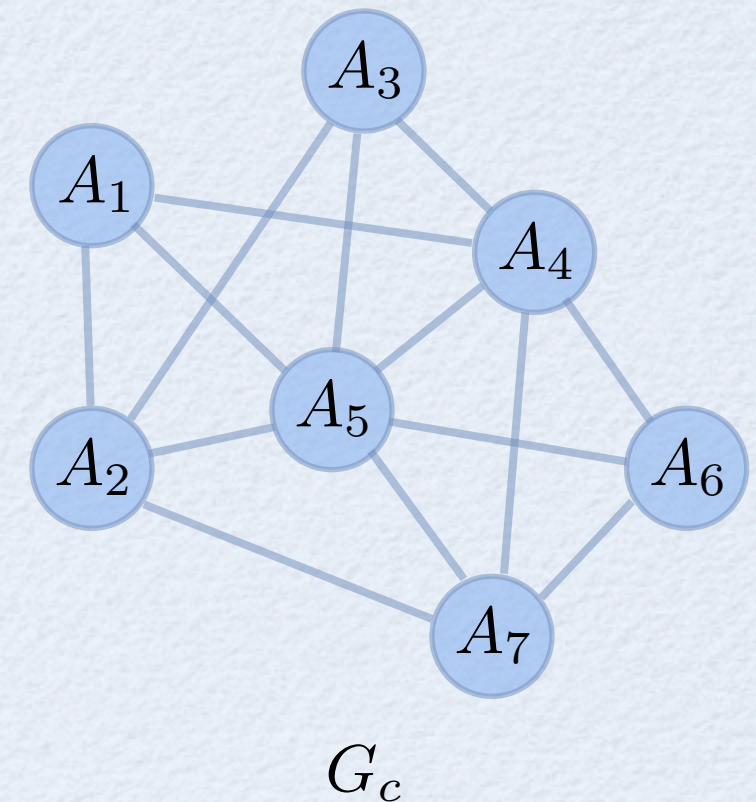
## Algorithme en temps polynomial :

**Données :**  $\mathcal{A}, \mathcal{T}, G_c, G_p, \alpha \geq 1$

**Résultat :**  $C_{max}^h$

### Début

- Tant qu'il reste des sommets non visités dans  $G_c$ 
  - Prendre un sommet non visité  $A_i$
  - Chercher une clique maximale





# Deuxième Heuristique : Clique maximale

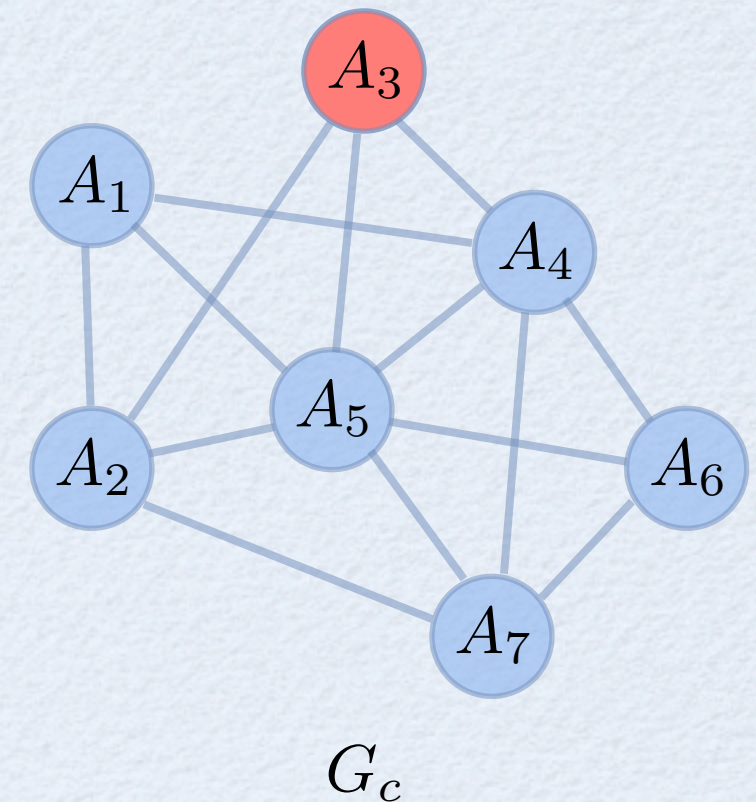
## Algorithme en temps polynomial :

**Données :**  $\mathcal{A}, \mathcal{T}, G_c, G_p, \alpha \geq 1$

**Résultat :**  $C_{max}^h$

### Début

- Tant qu'il reste des sommets non visités dans  $G_c$ 
  - Prendre un sommet non visité  $A_i$
  - Chercher une clique maximale





# Deuxième Heuristique : Clique maximale

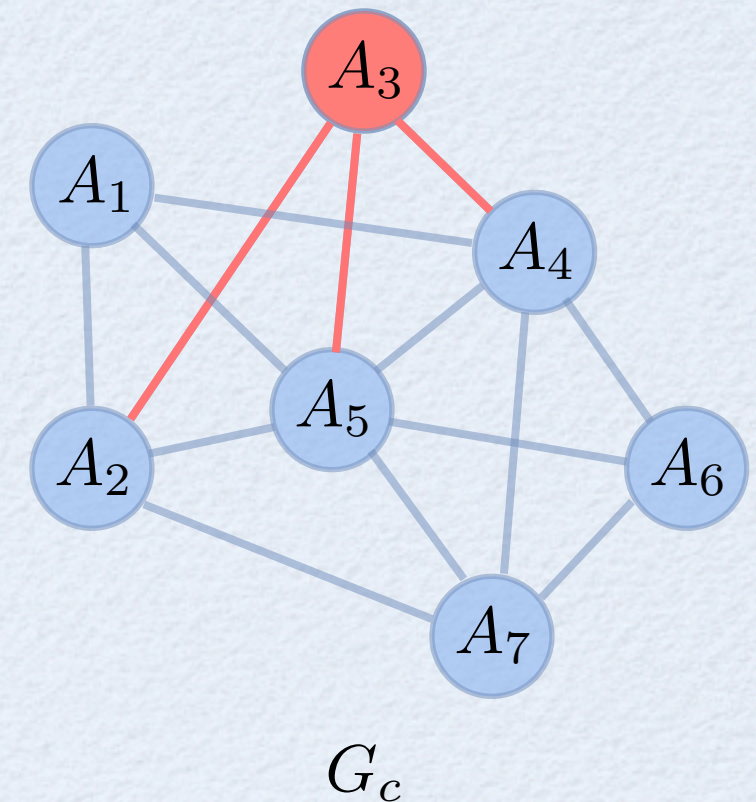
## Algorithme en temps polynomial :

**Données :**  $\mathcal{A}, \mathcal{T}, G_c, G_p, \alpha \geq 1$

**Résultat :**  $C_{max}^h$

### Début

- Tant qu'il reste des sommets non visités dans  $G_c$ 
  - Prendre un sommet non visité  $A_i$
  - Chercher une clique maximale





# Deuxième Heuristique : Clique maximale

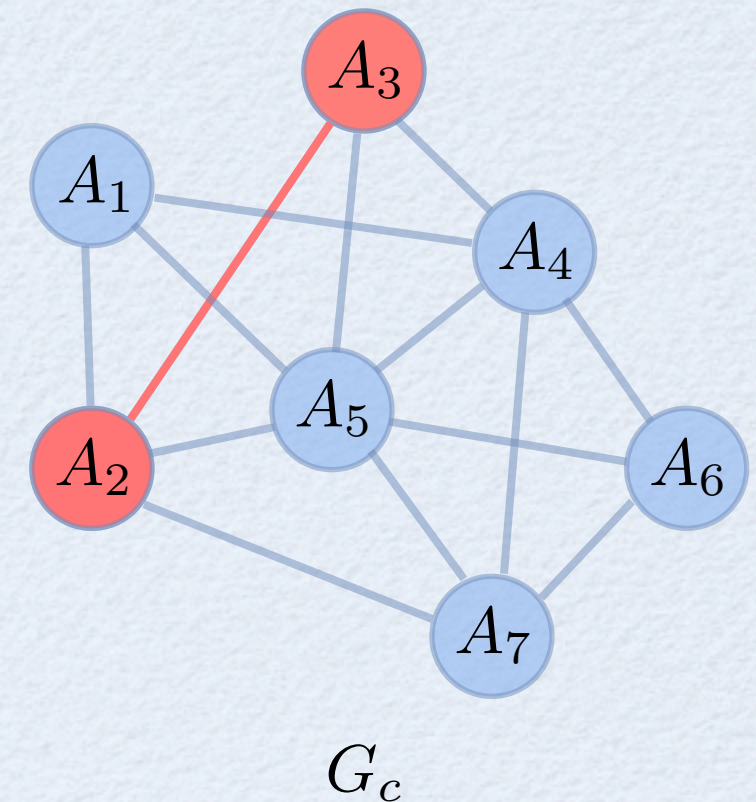
## Algorithme en temps polynomial :

**Données :**  $\mathcal{A}, \mathcal{T}, G_c, G_p, \alpha \geq 1$

**Résultat :**  $C_{max}^h$

### Début

- Tant qu'il reste des sommets non visités dans  $G_c$ 
  - Prendre un sommet non visité  $A_i$
  - Chercher une clique maximale





# Deuxième Heuristique : Clique maximale

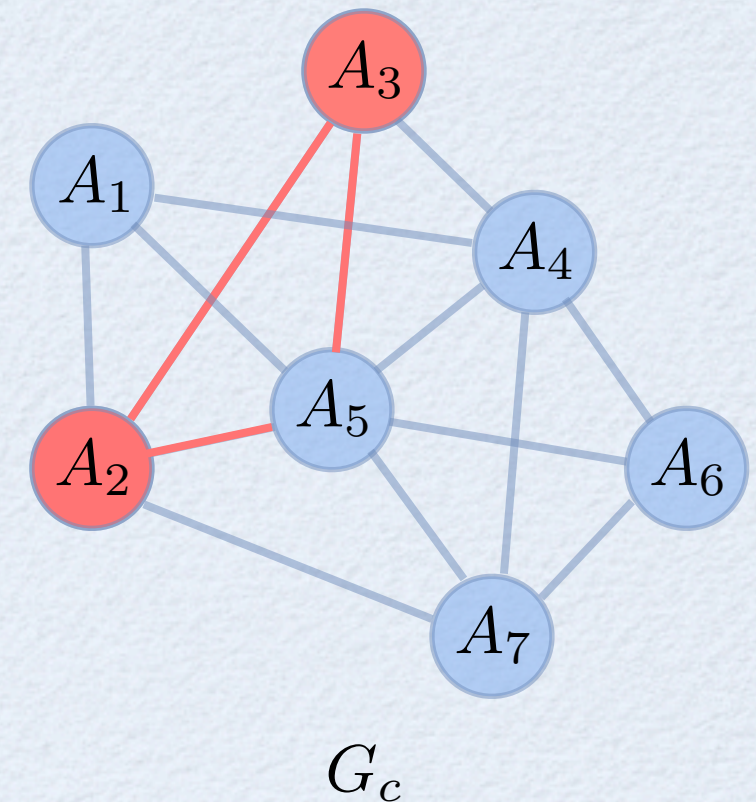
## Algorithme en temps polynomial :

**Données :**  $\mathcal{A}, \mathcal{T}, G_c, G_p, \alpha \geq 1$

**Résultat :**  $C_{max}^h$

### Début

- Tant qu'il reste des sommets non visités dans  $G_c$ 
  - Prendre un sommet non visité  $A_i$
  - Chercher une clique maximale





# Deuxième Heuristique : Clique maximale

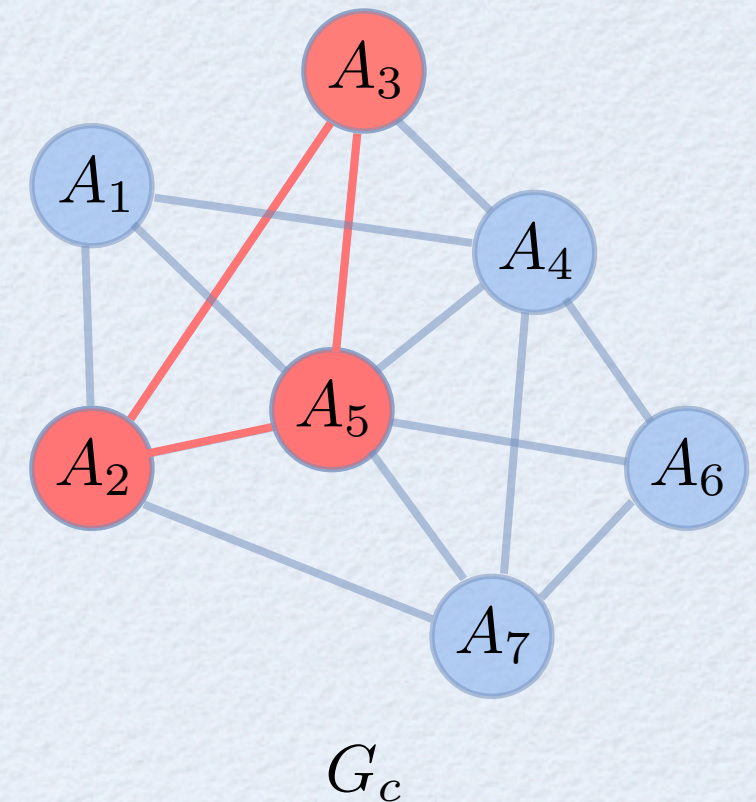
## Algorithme en temps polynomial :

**Données :**  $\mathcal{A}, \mathcal{T}, G_c, G_p, \alpha \geq 1$

**Résultat :**  $C_{max}^h$

### Début

- Tant qu'il reste des sommets non visités dans  $G_c$ 
  - Prendre un sommet non visité  $A_i$
  - Chercher une clique maximale





# Deuxième Heuristique : Clique maximale

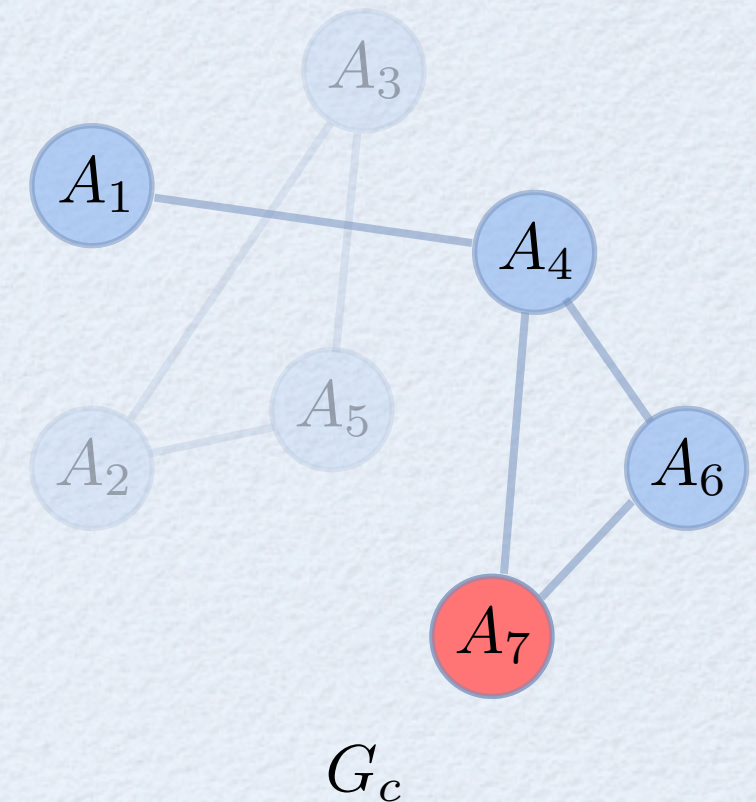
## Algorithme en temps polynomial :

**Données :**  $\mathcal{A}, \mathcal{T}, G_c, G_p, \alpha \geq 1$

**Résultat :**  $C_{max}^h$

### Début

- Tant qu'il reste des sommets non visités dans  $G_c$ 
  - Prendre un sommet non visité  $A_i$
  - Chercher une clique maximale





# Deuxième Heuristique : Clique maximale

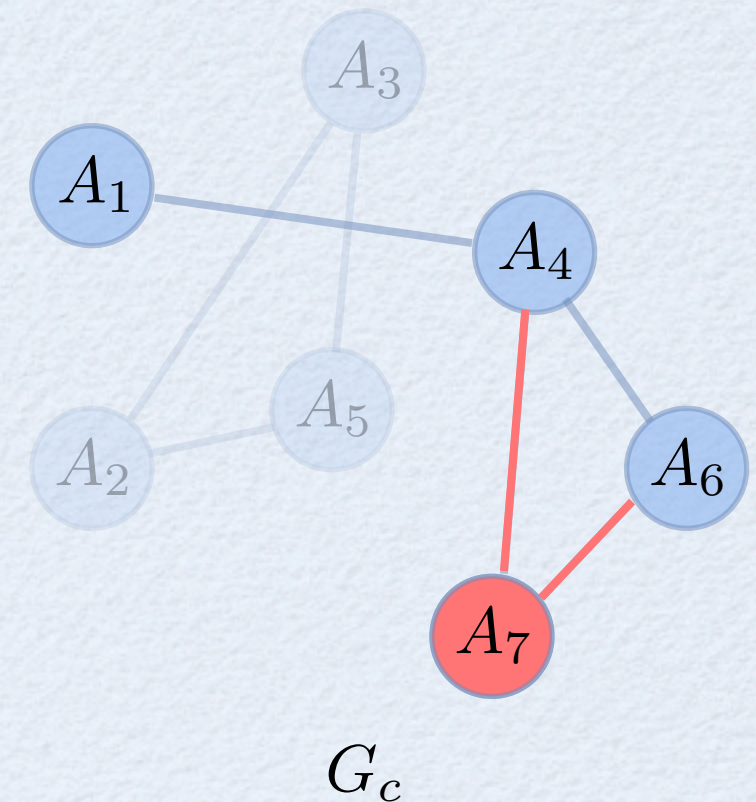
## Algorithme en temps polynomial :

**Données :**  $\mathcal{A}, \mathcal{T}, G_c, G_p, \alpha \geq 1$

**Résultat :**  $C_{max}^h$

### Début

- Tant qu'il reste des sommets non visités dans  $G_c$ 
  - Prendre un sommet non visité  $A_i$
  - Chercher une clique maximale





# Deuxième Heuristique : Clique maximale

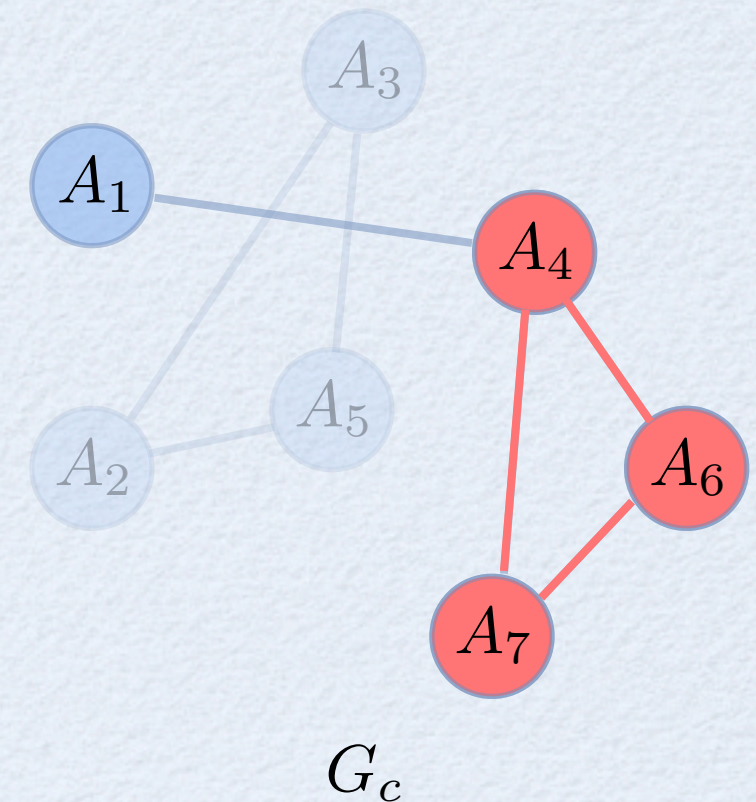
## Algorithme en temps polynomial :

**Données :**  $\mathcal{A}, \mathcal{T}, G_c, G_p, \alpha \geq 1$

**Résultat :**  $C_{max}^h$

### Début

- Tant qu'il reste des sommets non visités dans  $G_c$ 
  - Prendre un sommet non visité  $A_i$
  - Chercher une clique maximale





# Deuxième Heuristique : Clique maximale

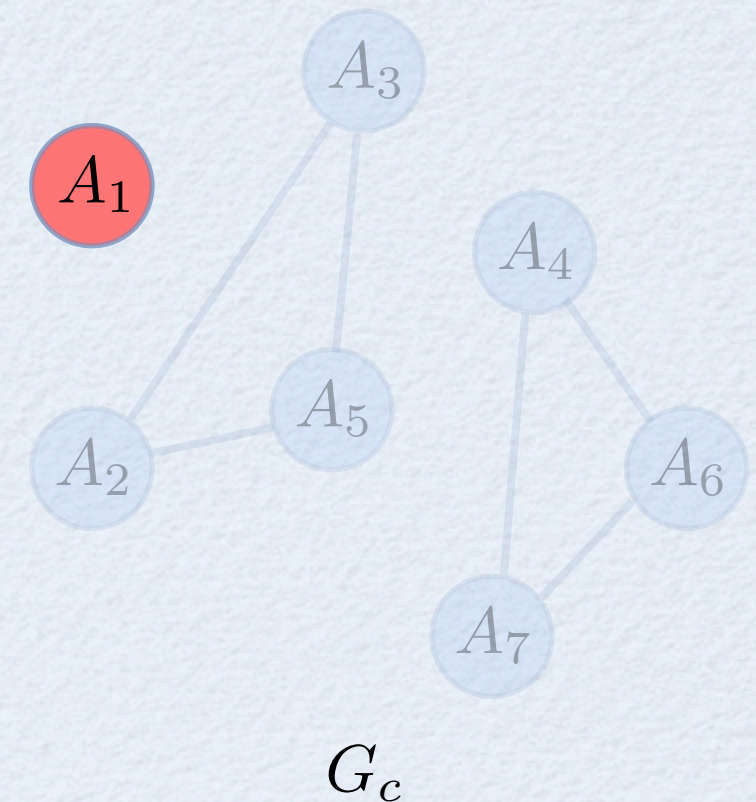
## Algorithme en temps polynomial :

**Données :**  $\mathcal{A}, \mathcal{T}, G_c, G_p, \alpha \geq 1$

**Résultat :**  $C_{max}^h$

### Début

- Tant qu'il reste des sommets non visités dans  $G_c$ 
  - Prendre un sommet non visité  $A_i$
  - Chercher une clique maximale





# Deuxième Heuristique : Clique maximale

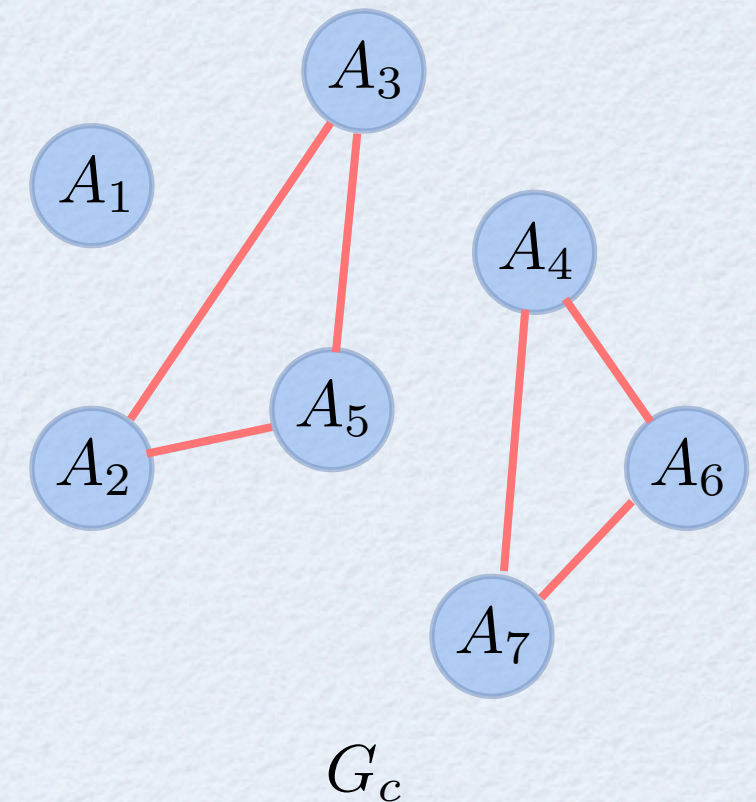
## Algorithme en temps polynomial :

**Données :**  $\mathcal{A}, \mathcal{T}, G_c, G_p, \alpha \geq 1$

**Résultat :**  $C_{max}^h$

### Début

- Tant qu'il reste des sommets non visités dans  $G_c$ 
  - Prendre un sommet non visité  $A_i$
  - Chercher une clique maximale
- Ordonner les cliques par ordre décroissant





# Deuxième Heuristique : Clique maximale

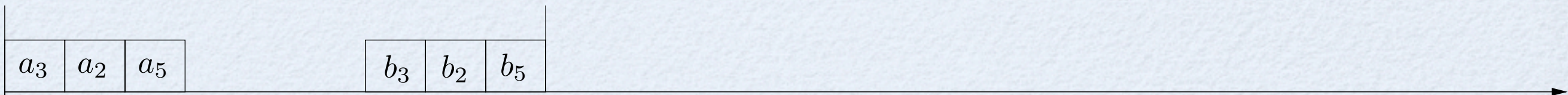
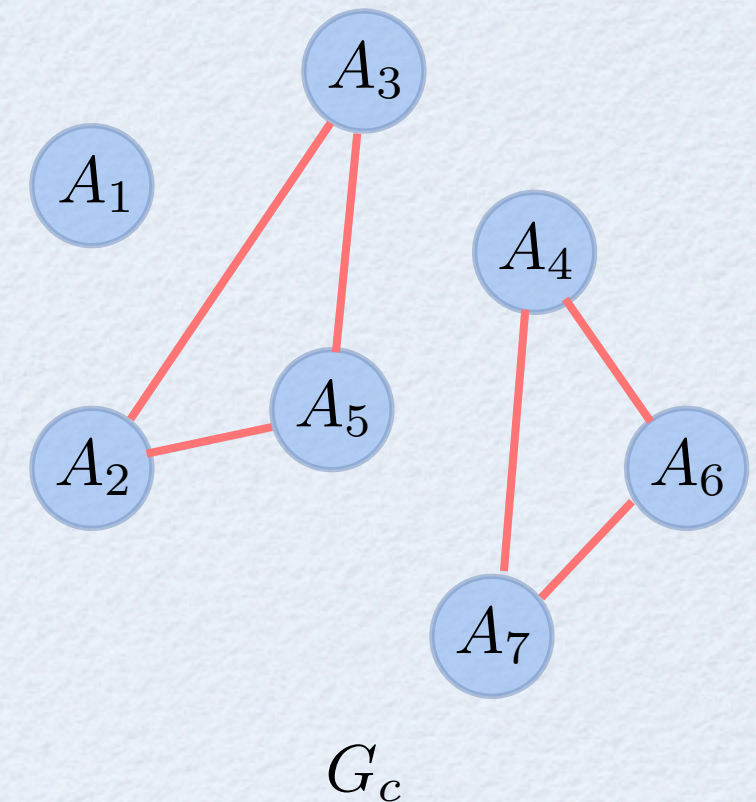
## Algorithme en temps polynomial :

**Données :**  $\mathcal{A}, \mathcal{T}, G_c, G_p, \alpha \geq 1$

**Résultat :**  $C_{max}^h$

### Début

- Tant qu'il reste des sommets non visités dans  $G_c$ 
  - Prendre un sommet non visité  $A_i$
  - Chercher une clique maximale
- Ordonnancer les cliques par ordre décroissant





# Deuxième Heuristique : Clique maximale

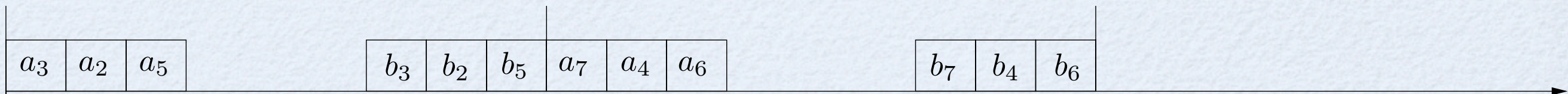
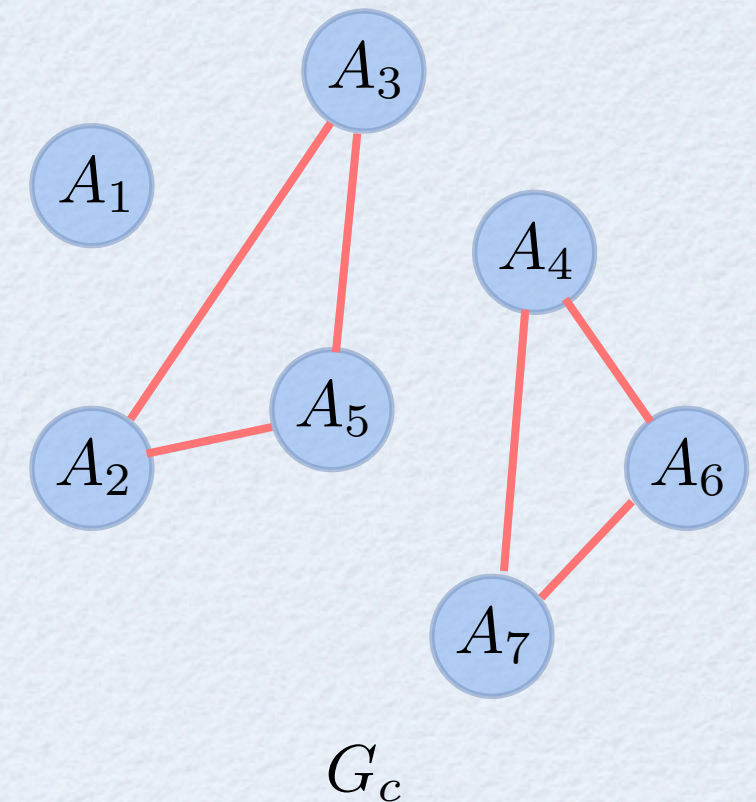
## Algorithme en temps polynomial :

**Données :**  $\mathcal{A}, \mathcal{T}, G_c, G_p, \alpha \geq 1$

**Résultat :**  $C_{max}^h$

### Début

- Tant qu'il reste des sommets non visités dans  $G_c$ 
  - Prendre un sommet non visité  $A_i$
  - Chercher une clique maximale
- Ordonnancer les cliques par ordre décroissant





# Deuxième Heuristique : Clique maximale

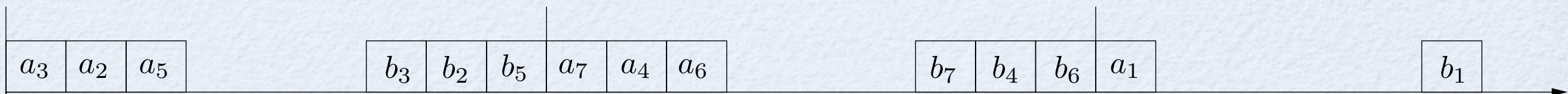
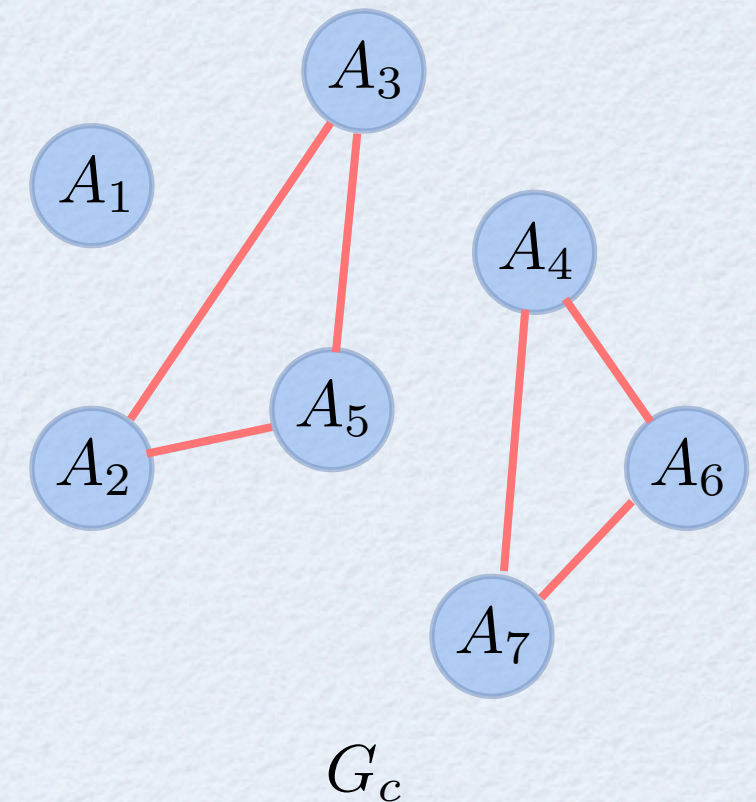
## Algorithme en temps polynomial :

**Données :**  $\mathcal{A}, \mathcal{T}, G_c, G_p, \alpha \geq 1$

**Résultat :**  $C_{max}^h$

### Début

- Tant qu'il reste des sommets non visités dans  $G_c$ 
  - Prendre un sommet non visité  $A_i$
  - Chercher une clique maximale
- Ordonnancer les cliques par ordre décroissant





# Deuxième Heuristique : Clique maximale

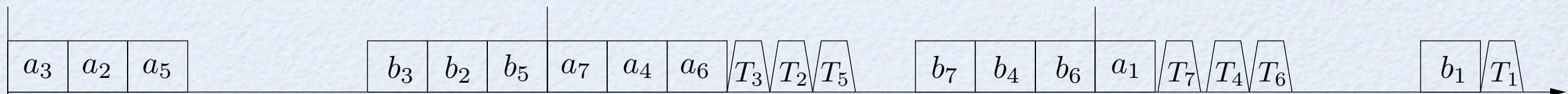
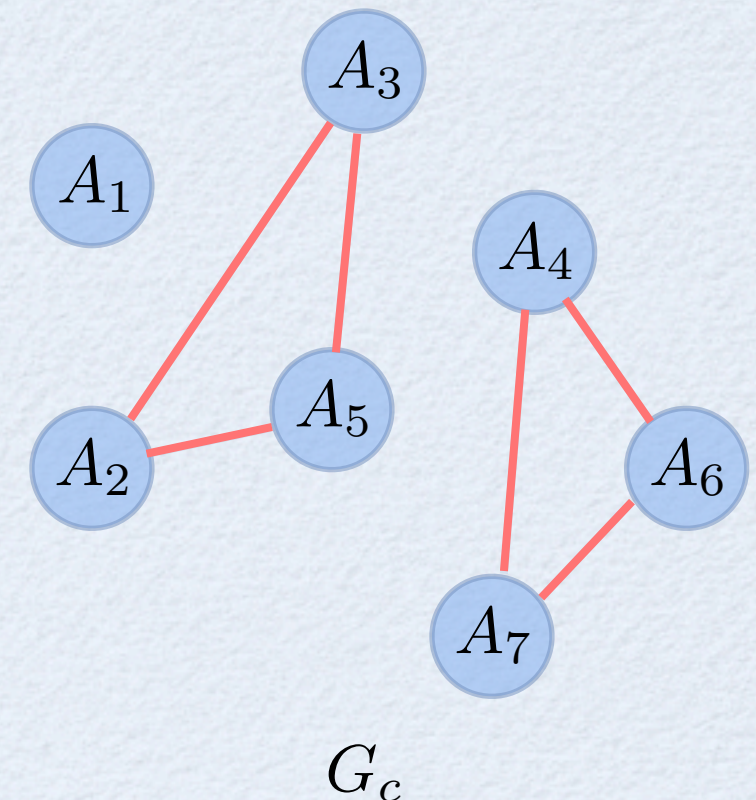
## Algorithme en temps polynomial :

**Données :**  $\mathcal{A}, \mathcal{T}, G_c, G_p, \alpha \geq 1$

**Résultat :**  $C_{max}^h$

### Début

- Tant qu'il reste des sommets non visités dans  $G_c$ 
  - Prendre un sommet non visité  $A_i$
  - Chercher une clique maximale
- Ordonnancer les cliques par ordre décroissant
- Exécutons les tâches de traitement aux premiers emplacements libres en respectant le graphe  $G_p$





# Troisième Heuristique : Poupées russes



## Troisième Heuristique : Poupées russes

### Définition

---

Deux tâches d'acquisition  $A_i$  et  $A_j$  s'emboîtent l'une dans l'autre si et seulement si :

$$(a_i + L_i + b_i) < L_j \quad \text{ou} \quad (a_j + L_j + b_j) < L_i$$



# Troisième Heuristique : Poupées russes

## Définition

Deux tâches d'acquisition  $A_i$  et  $A_j$  s'emboîtent l'une dans l'autre si et seulement si :

$$(a_i + L_i + b_i) < L_j \quad \text{ou} \quad (a_j + L_j + b_j) < L_i$$

Exemple :





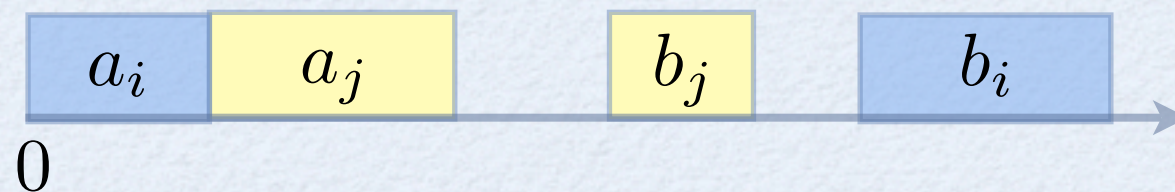
# Troisième Heuristique : Poupées russes

## Définition

Deux tâches d'acquisition  $A_i$  et  $A_j$  s'emboîtent l'une dans l'autre si et seulement si :

$$(a_i + L_i + b_i) < L_j \quad \text{ou} \quad (a_j + L_j + b_j) < L_i$$

Exemple :





## Troisième Heuristique : Poupées russes

### Définition

---

Deux tâches d'acquisition  $A_i$  et  $A_j$  s'emboîtent l'une dans l'autre si et seulement si :

$$(a_i + L_i + b_i) < L_j \quad \text{ou} \quad (a_j + L_j + b_j) < L_i$$

A partir de cette définition nous obtenons un nouveau graphe de compatibilité :

### Définition

---

Nous notons  $G_c^m$  le graphe de compatibilité modifié où nous laissons les arêtes entre deux tâches d'acquisition qui s'emboîtent l'une dans l'autre.



## Troisième Heuristique : Poupées russes

### Définition

---

Deux tâches d'acquisition  $A_i$  et  $A_j$  s'emboîtent l'une dans l'autre si et seulement si :

$$(a_i + L_i + b_i) < L_j \quad \text{ou} \quad (a_j + L_j + b_j) < L_i$$

A partir de cette définition nous obtenons un nouveau graphe de compatibilité :

### Définition

---

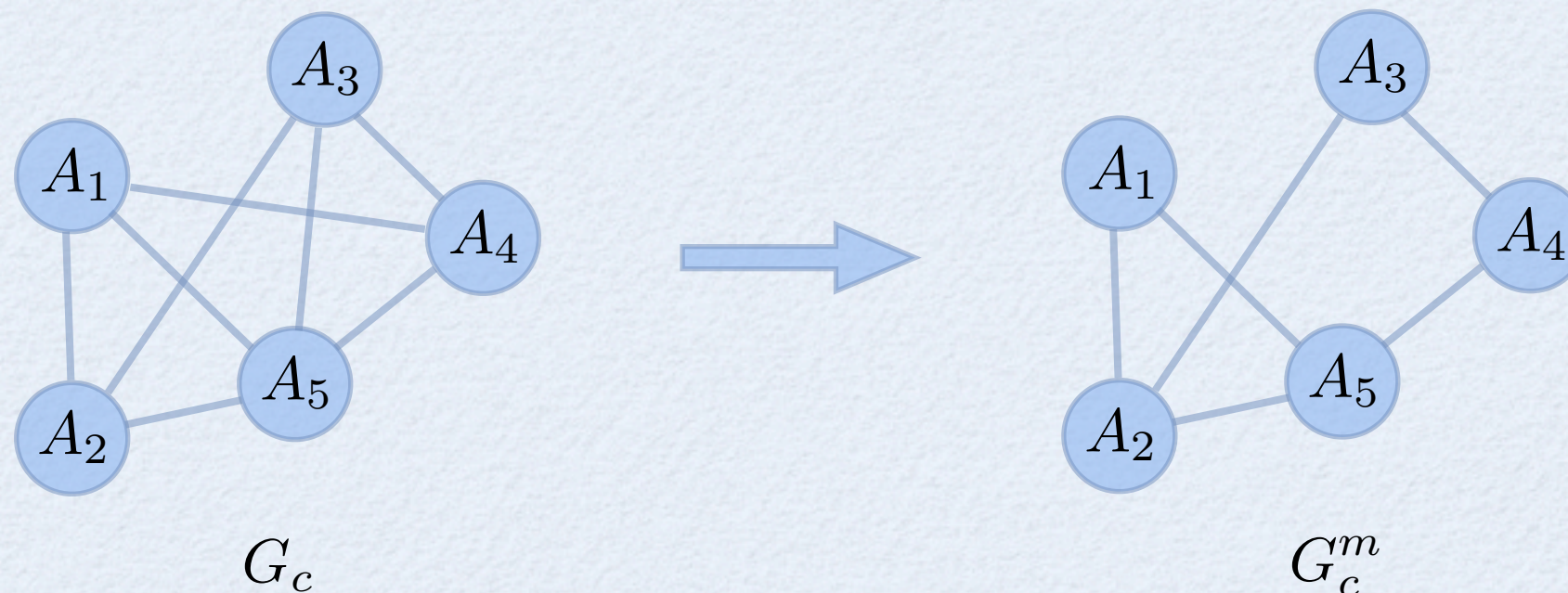
Nous notons  $G_c^m$  le graphe de compatibilité modifié où nous laissons les arêtes entre deux tâches d'acquisition qui s'emboîtent l'une dans l'autre.



# Troisième Heuristique : Poupées russes

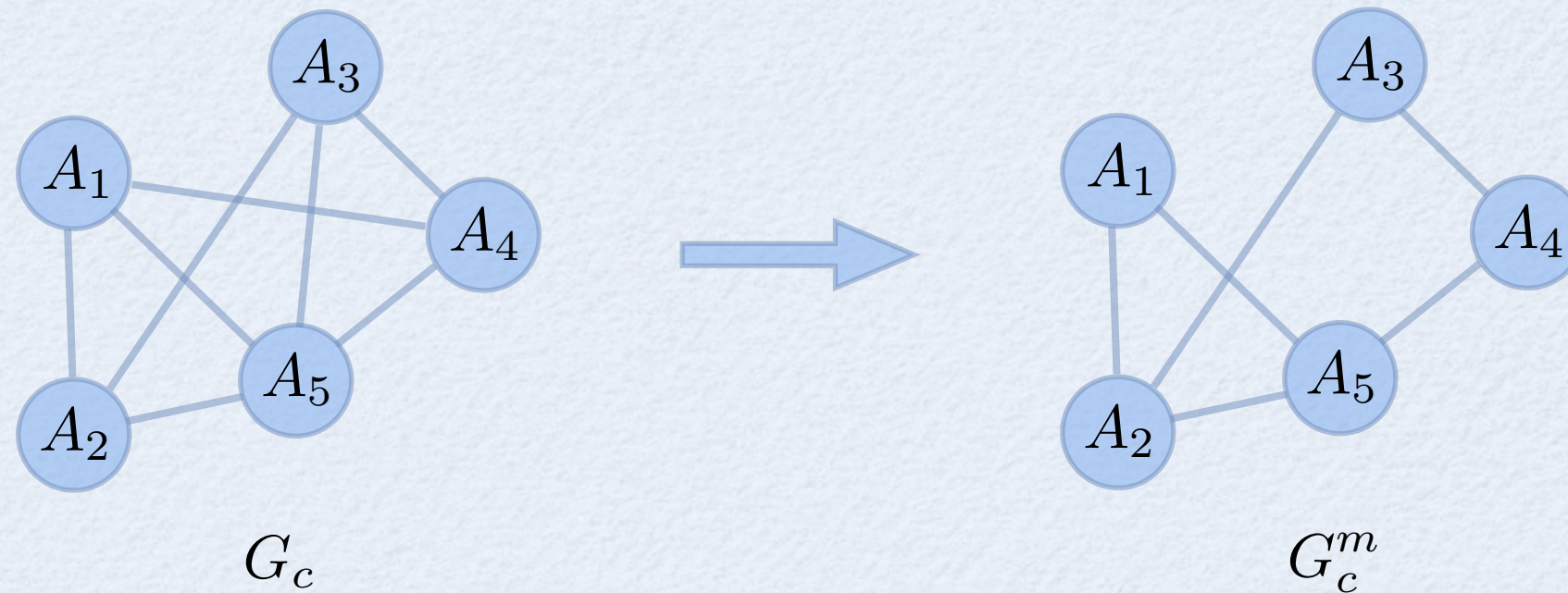
## Définition

Nous notons  $G_c^m$  le graphe de compatibilité modifié où nous laissons les arêtes entre deux tâches d'acquisition qui s'emboîtent l'une dans l'autre.



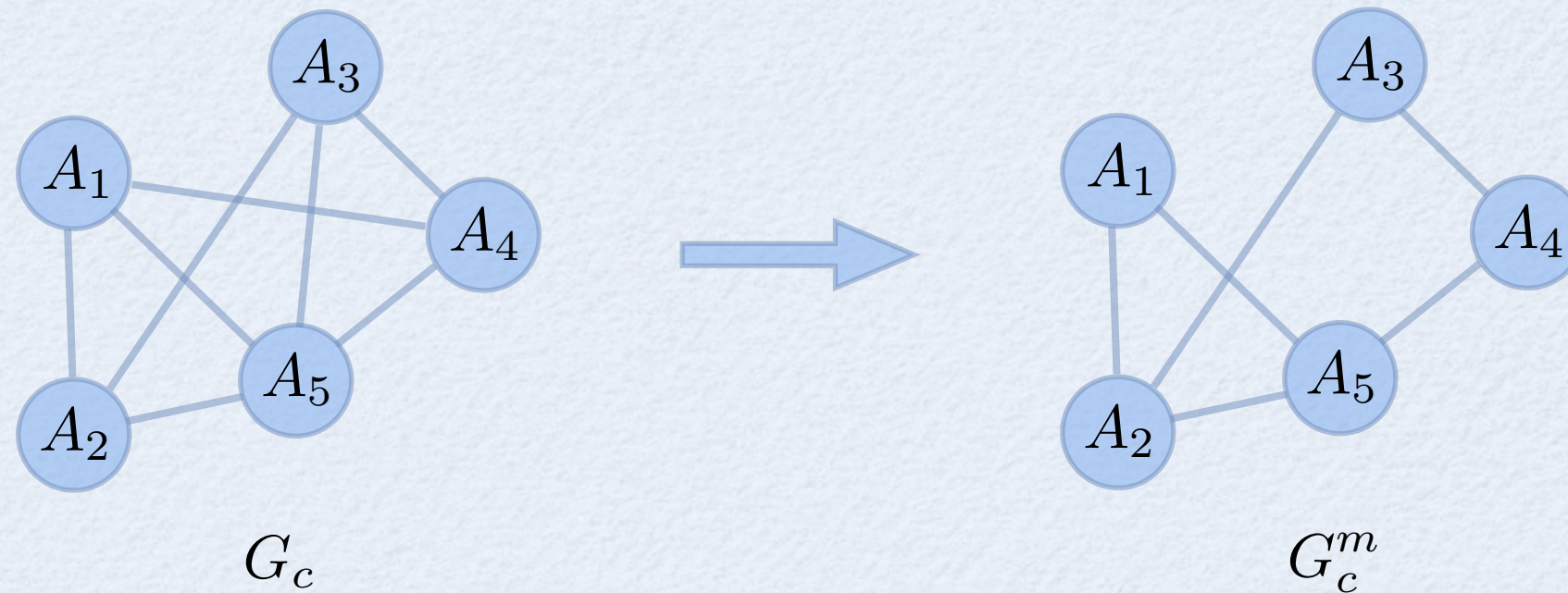


# Troisième Heuristique : Poupées russes



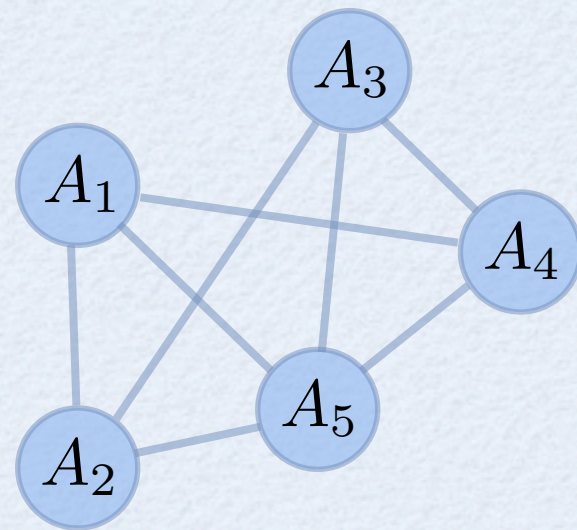
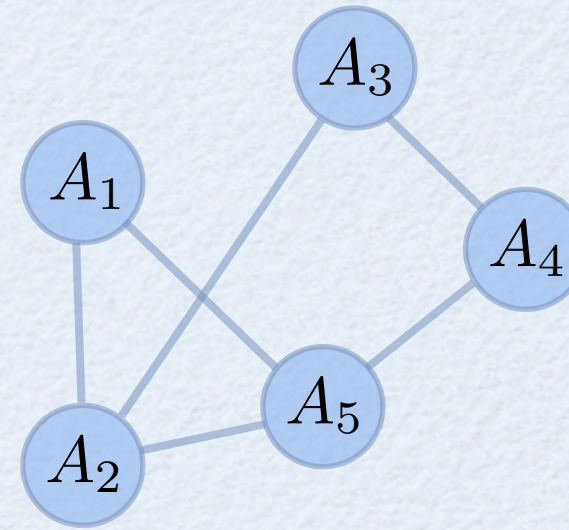
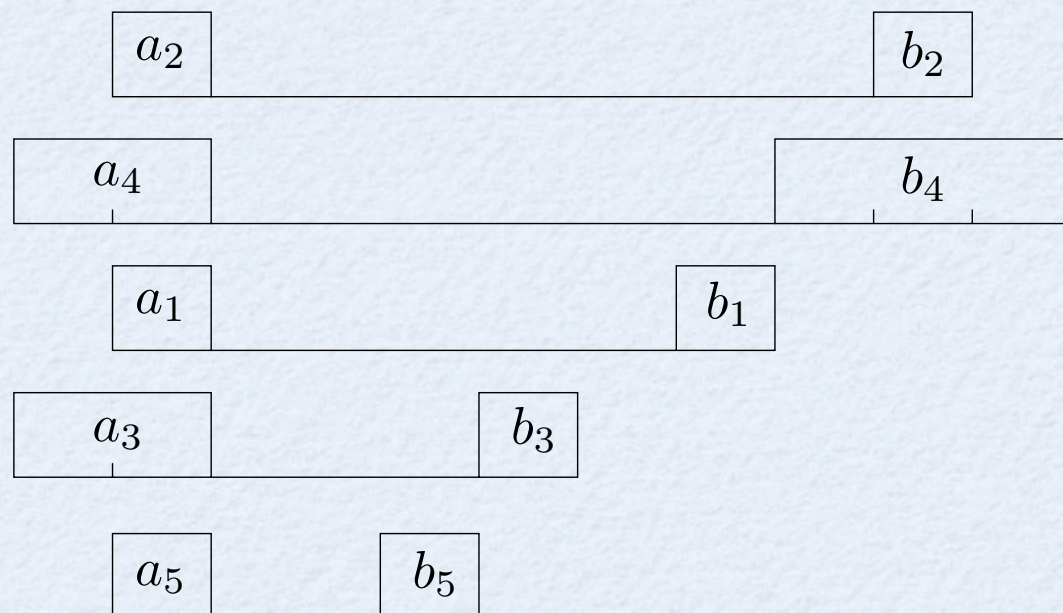


# Troisième Heuristique : Poupées russes



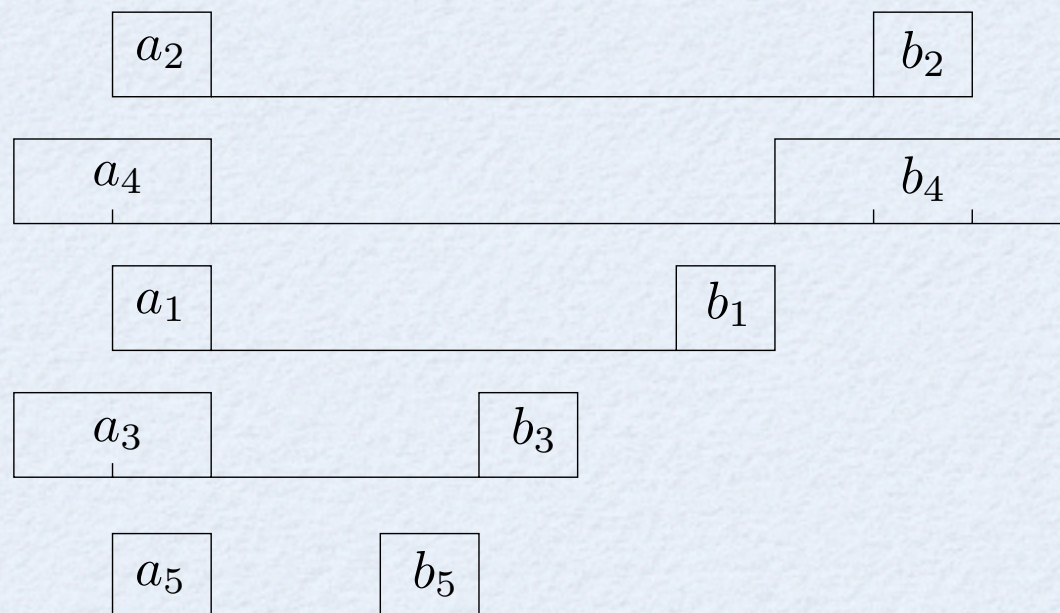
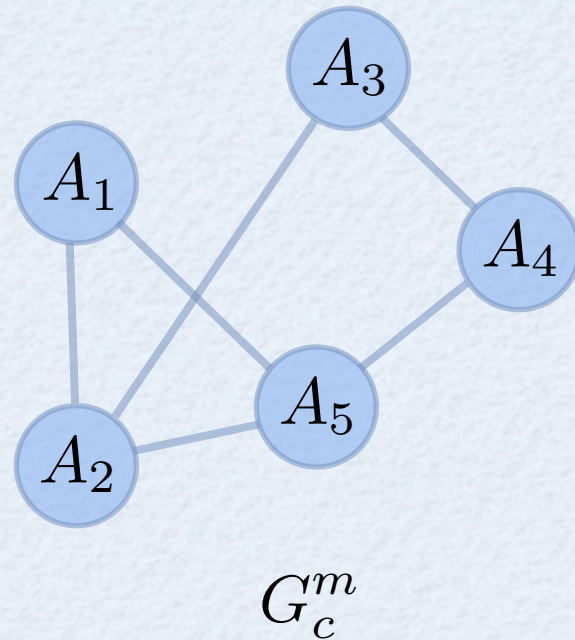


# Troisième Heuristique : Poupées russes


 $G_c$ 

 $G_c^m$ 




# Troisième Heuristique : Poupées russes



## Algorithme en temps polynomial :

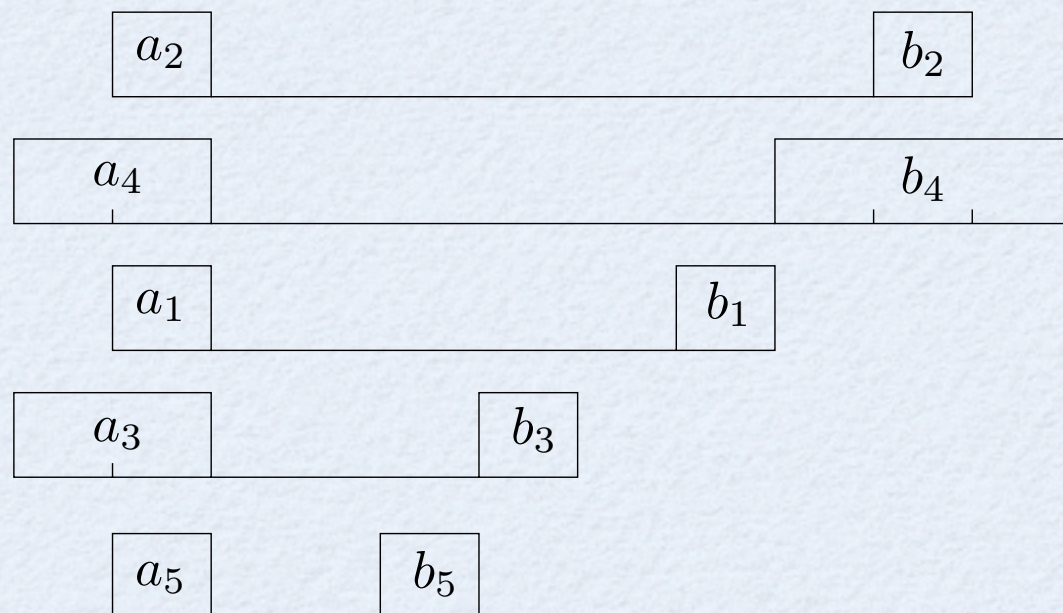
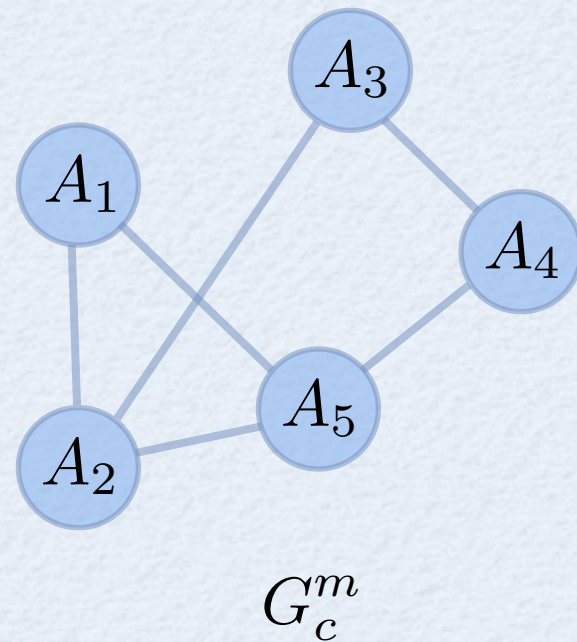
**Données :**  $A, T, G_c^m, G_p, \alpha \geq 1$

**Résultat :**  $C_{max}^h$

**Début**



# Troisième Heuristique : Poupées russes



## Algorithme en temps polynomial :

**Données :**  $\mathcal{A}, \mathcal{T}, G_c^m, G_p, \alpha \geq 1$

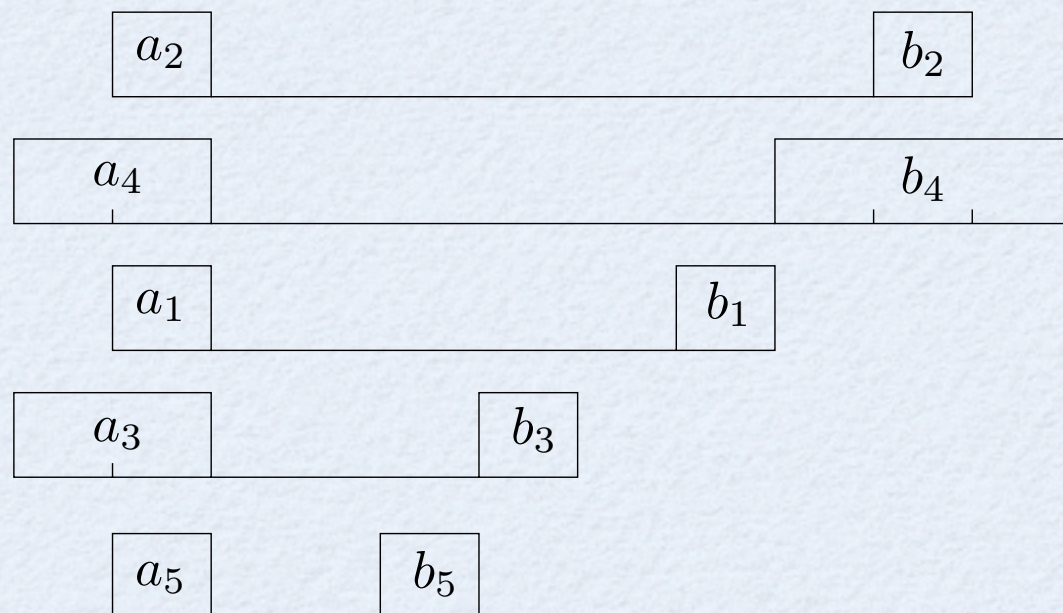
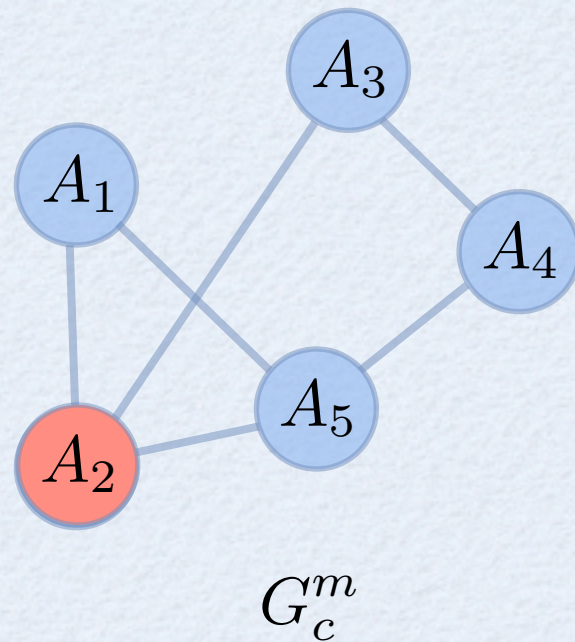
**Résultat :**  $C_{max}^h$

**Début**

- Tant qu'il reste des sommets non visités



# Troisième Heuristique : Poupées russes



## Algorithme en temps polynomial :

**Données :**  $A, \mathcal{T}, G_c^m, G_p, \alpha \geq 1$

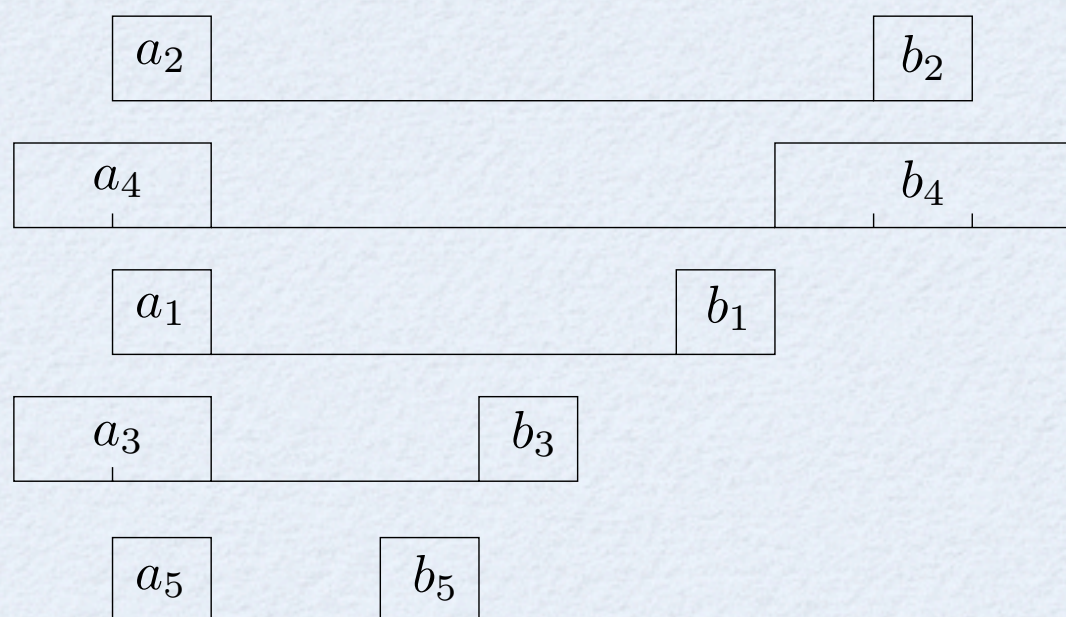
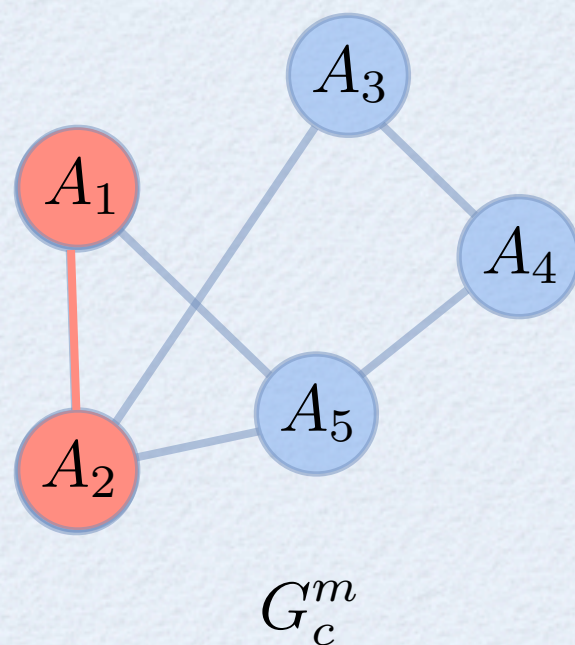
**Résultat :**  $C_{max}^h$

### Début

- Tant qu'il reste des sommets non visités
  - Prendre un sommet non visité  $A_i$
  - Chercher une clique maximale



# Troisième Heuristique : Poupées russes



## Algorithme en temps polynomial :

**Données :**  $A, \mathcal{T}, G_c^m, G_p, \alpha \geq 1$

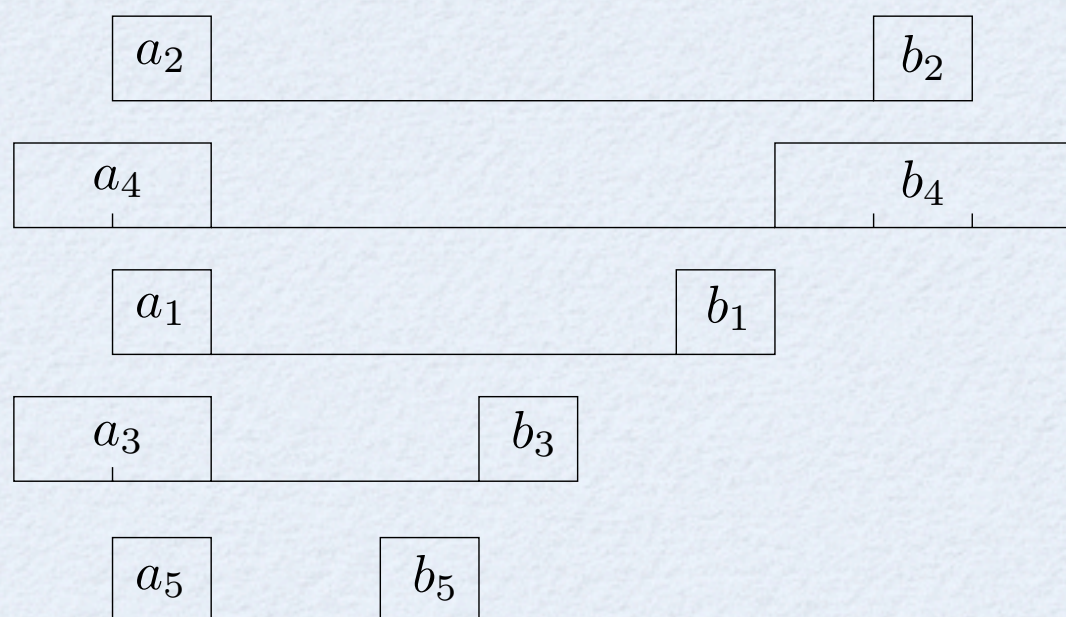
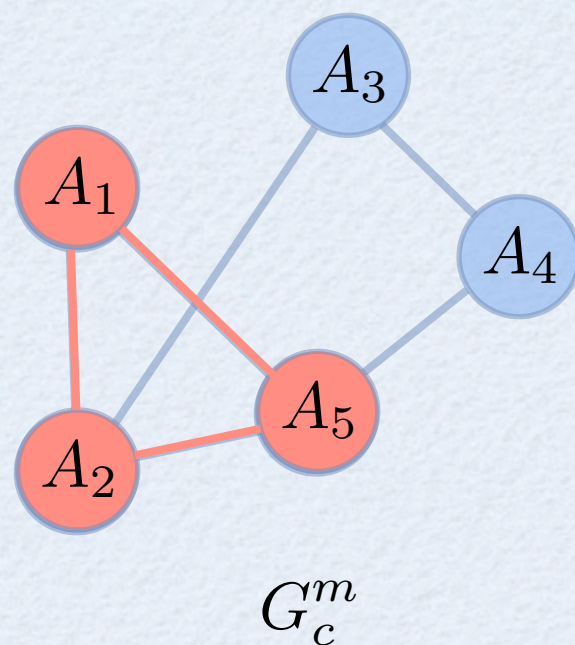
**Résultat :**  $C_{max}^h$

### Début

- Tant qu'il reste des sommets non visités
  - Prendre un sommet non visité  $A_i$
  - Chercher une clique maximale



# Troisième Heuristique : Poupées russes



## Algorithme en temps polynomial :

**Données :**  $A, \mathcal{T}, G_c^m, G_p, \alpha \geq 1$

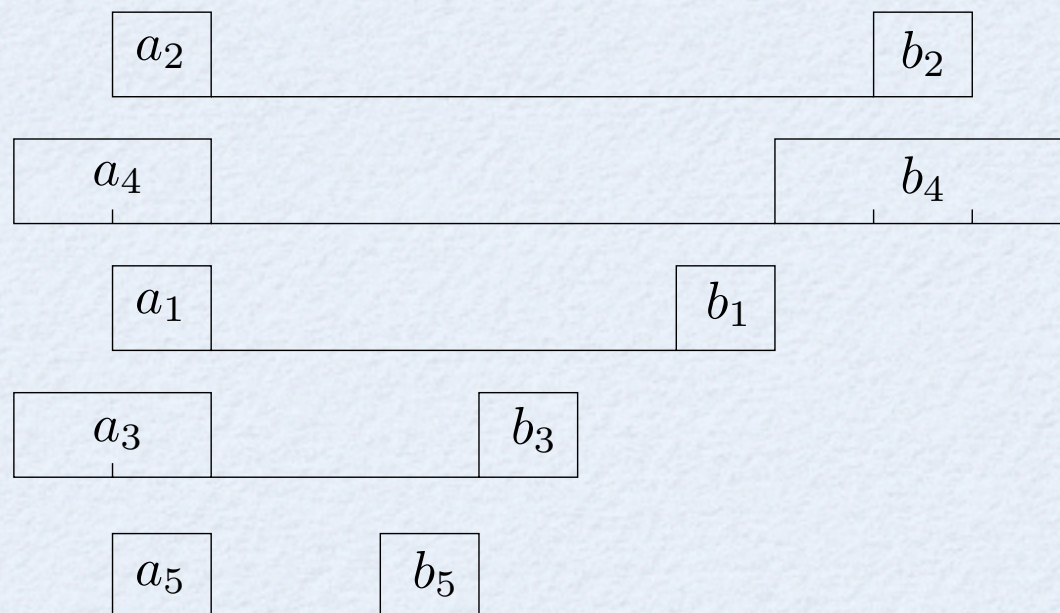
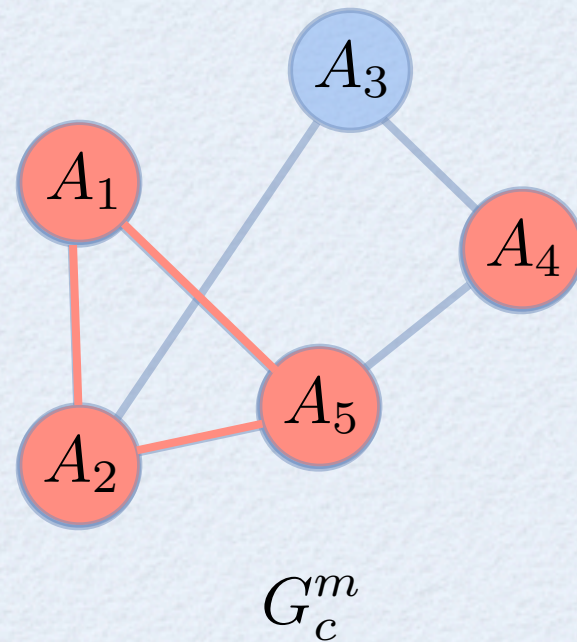
**Résultat :**  $C_{max}^h$

### Début

- Tant qu'il reste des sommets non visités
  - Prendre un sommet non visité  $A_i$
  - Chercher une clique maximale



# Troisième Heuristique : Poupées russes



## Algorithme en temps polynomial :

**Données :**  $A, \mathcal{T}, G_c^m, G_p, \alpha \geq 1$

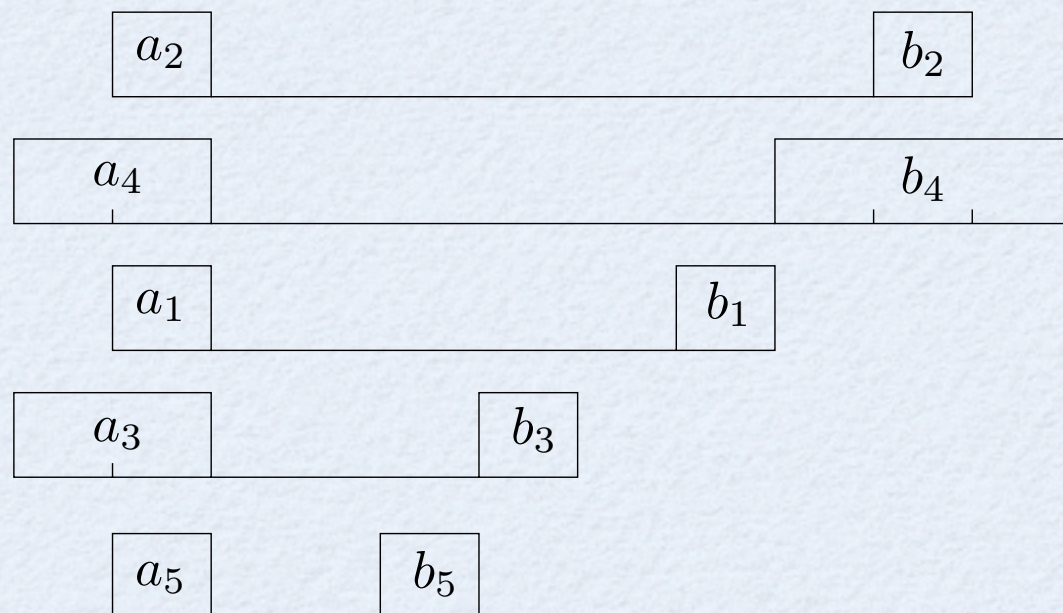
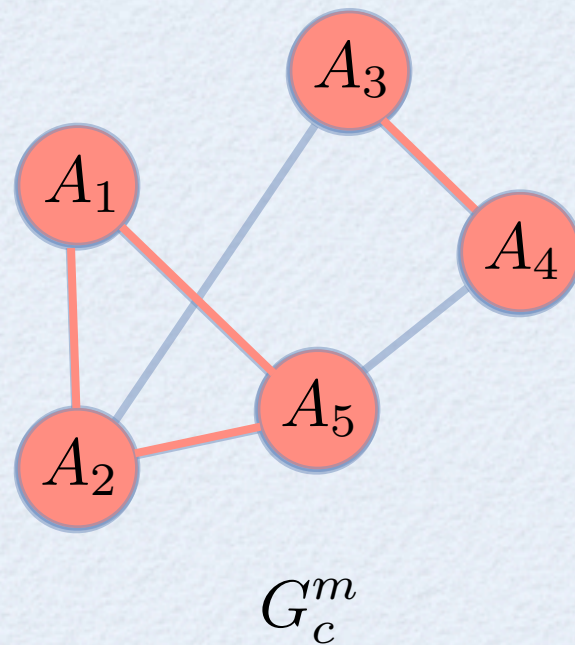
**Résultat :**  $C_{max}^h$

### Début

- Tant qu'il reste des sommets non visités
  - Prendre un sommet non visité  $A_i$
  - Chercher une clique maximale



# Troisième Heuristique : Poupées russes



## Algorithme en temps polynomial :

**Données :**  $A, \mathcal{T}, G_c^m, G_p, \alpha \geq 1$

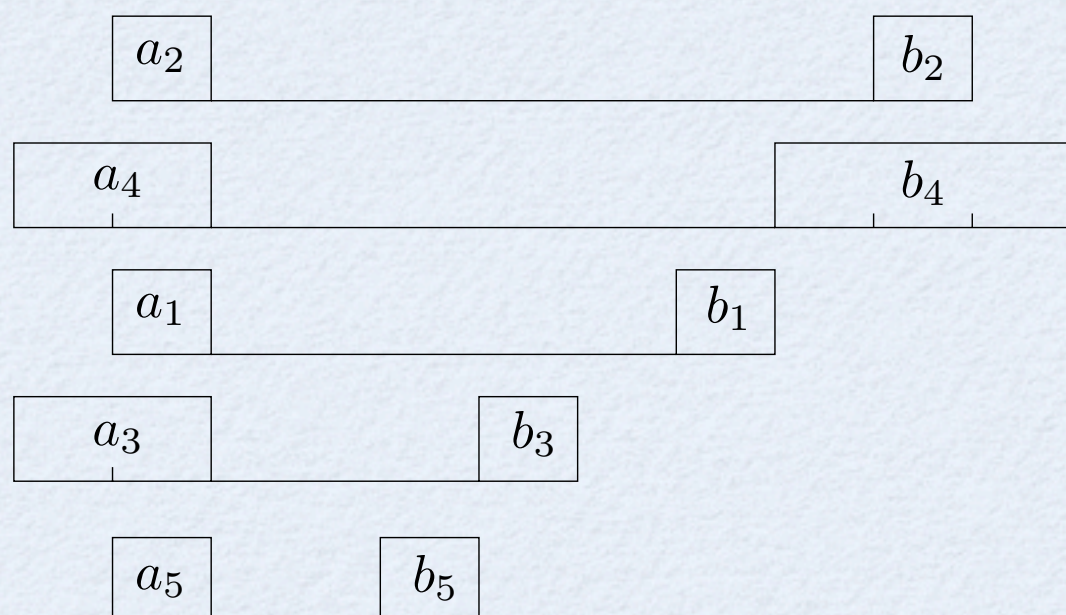
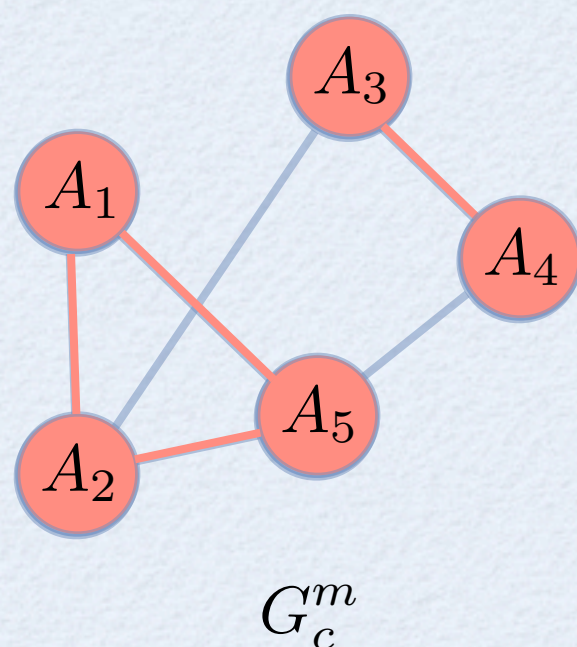
**Résultat :**  $C_{max}^h$

### Début

- Tant qu'il reste des sommets non visités
  - Prendre un sommet non visité  $A_i$
  - Chercher une clique maximale



# Troisième Heuristique : Poupées russes



## Algorithme en temps polynomial :

**Données :**  $A, \mathcal{T}, G_c^m, G_p, \alpha \geq 1$

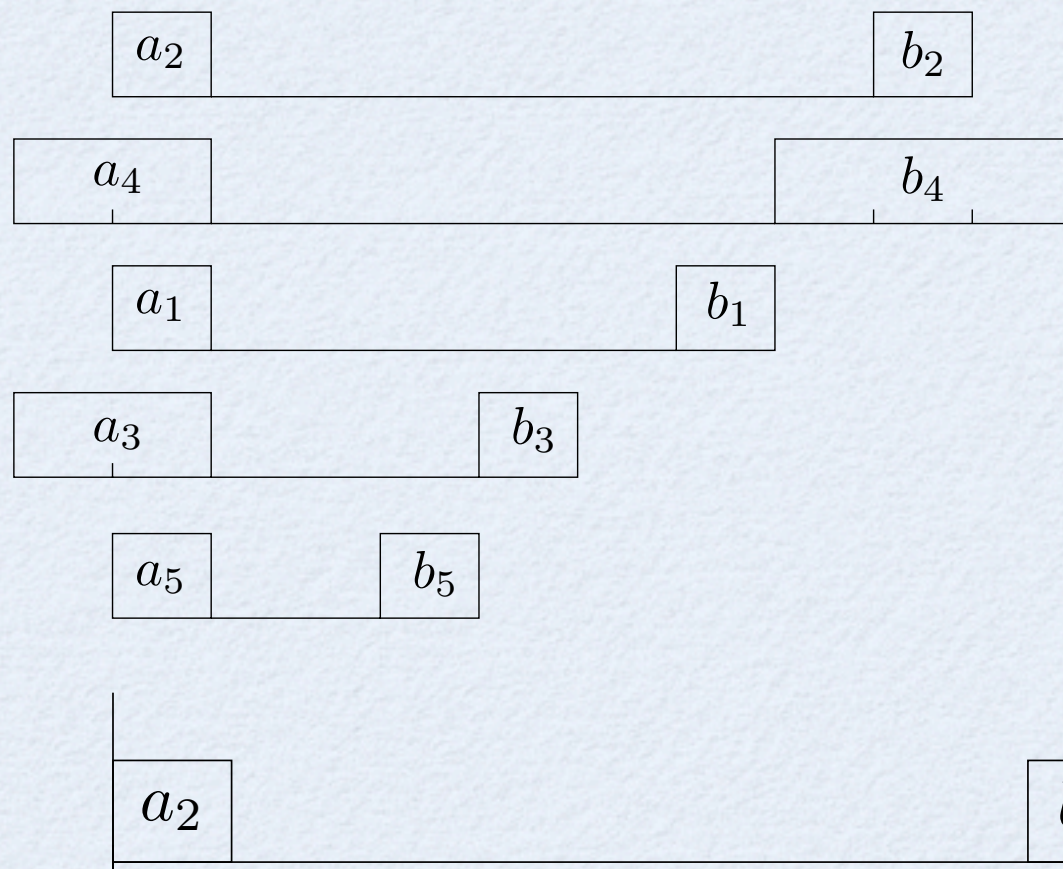
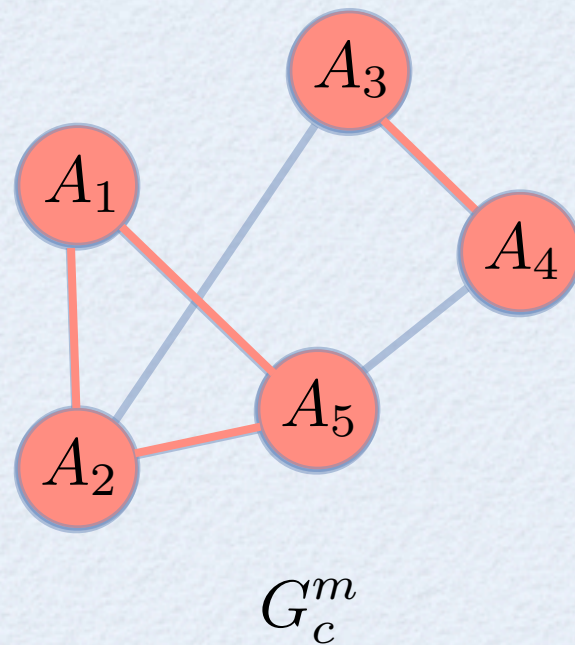
**Résultat :**  $C_{max}^h$

### Début

- Tant qu'il reste des sommets non visités
  - Prendre un sommet non visité  $A_i$
  - Chercher une clique maximale
- Ordonnancer les cliques selon l'ordre le plus judicieux



# Troisième Heuristique : Poupées russes



## Algorithme en temps polynomial :

**Données :**  $A, T, G_c^m, G_p, \alpha \geq 1$

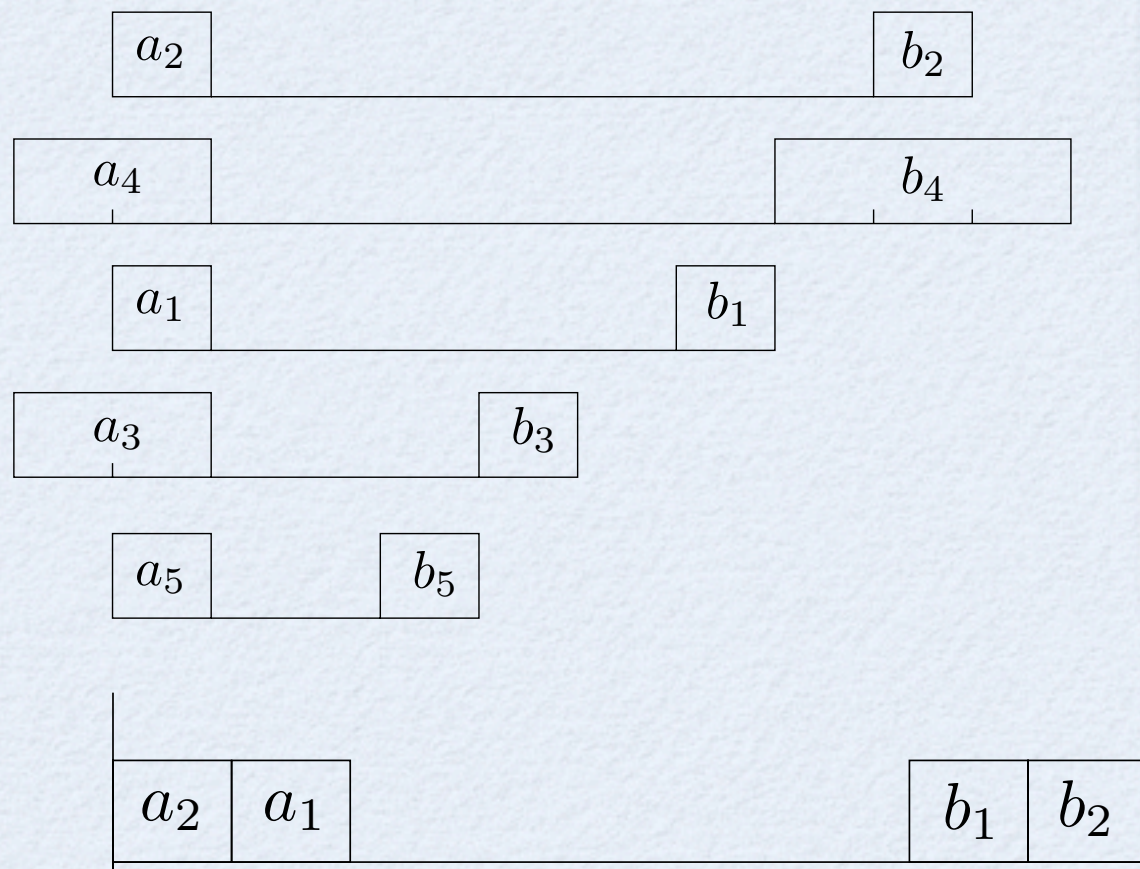
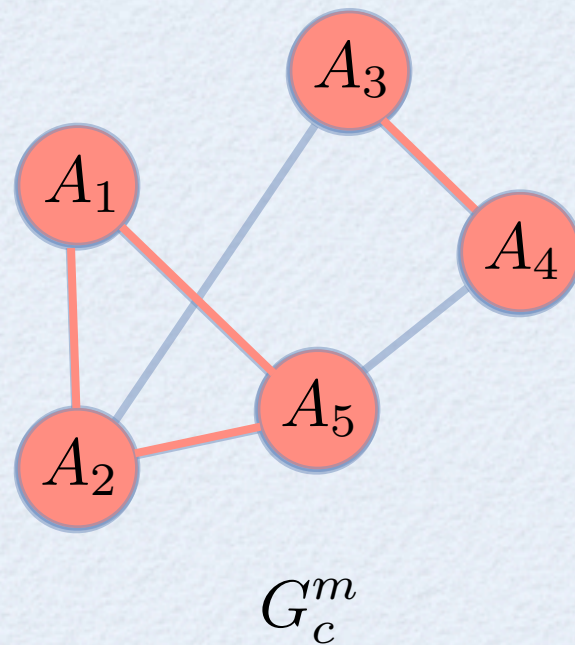
**Résultat :**  $C_{max}^h$

### Début

- Tant qu'il reste des sommets non visités
  - Prendre un sommet non visité  $A_i$
  - Chercher une clique maximale
- Ordonnancer les cliques selon l'ordre le plus judicieux



# Troisième Heuristique : Poupées russes



## Algorithme en temps polynomial :

**Données :**  $A, T, G_c^m, G_p, \alpha \geq 1$

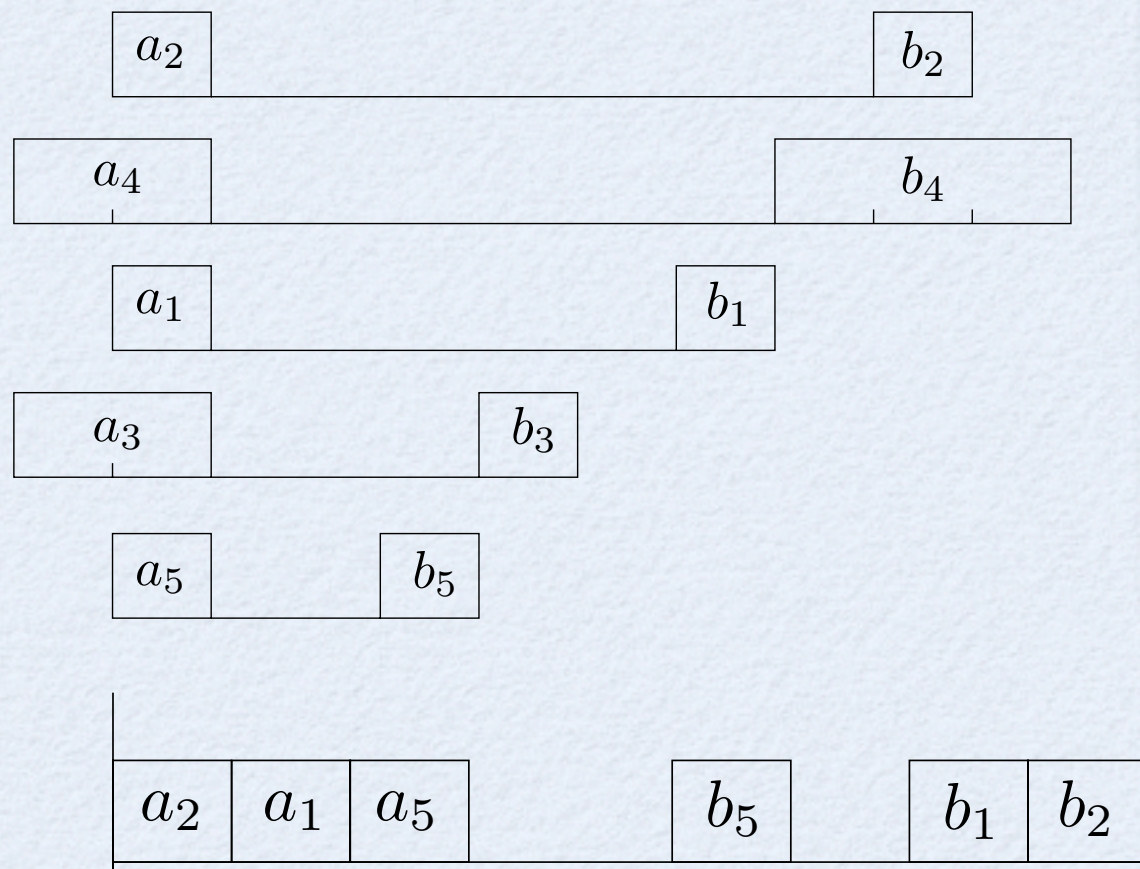
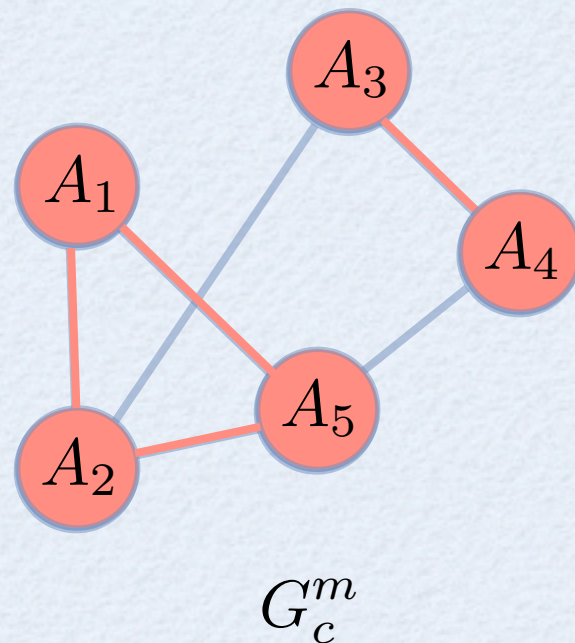
**Résultat :**  $C_{max}^h$

### Début

- Tant qu'il reste des sommets non visités
  - Prendre un sommet non visité  $A_i$
  - Chercher une clique maximale
- Ordonnancer les cliques selon l'ordre le plus judicieux



# Troisième Heuristique : Poupées russes



## Algorithme en temps polynomial :

**Données :**  $A, T, G_c^m, G_p, \alpha \geq 1$

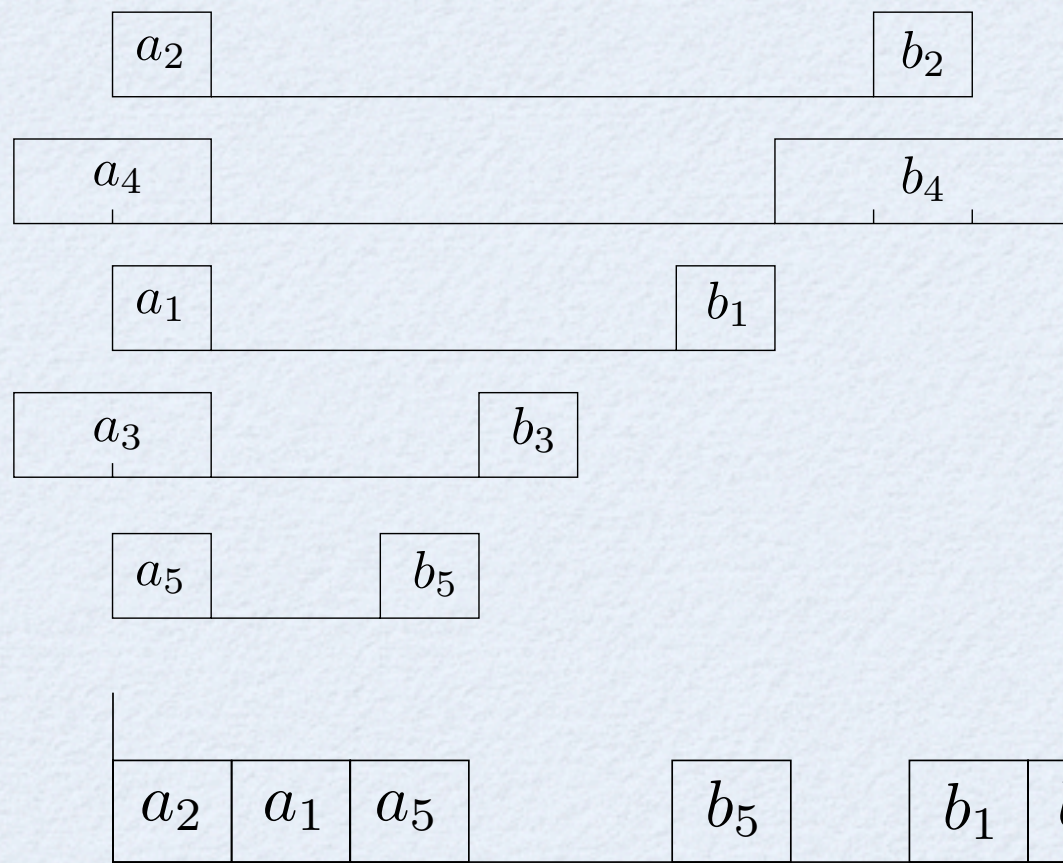
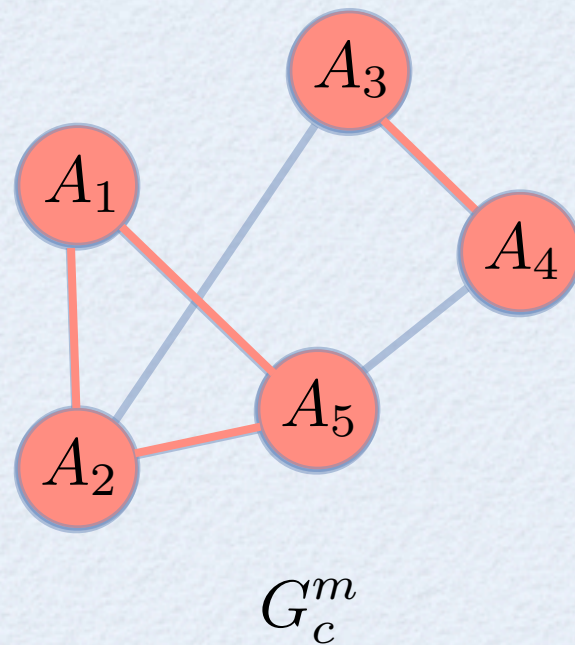
**Résultat :**  $C_{max}^h$

### Début

- Tant qu'il reste des sommets non visités
  - Prendre un sommet non visité  $A_i$
  - Chercher une clique maximale
- Ordonnancer les cliques selon l'ordre le plus judicieux



# Troisième Heuristique : Poupées russes



## Algorithme en temps polynomial :

**Données :**  $A, T, G_c^m, G_p, \alpha \geq 1$

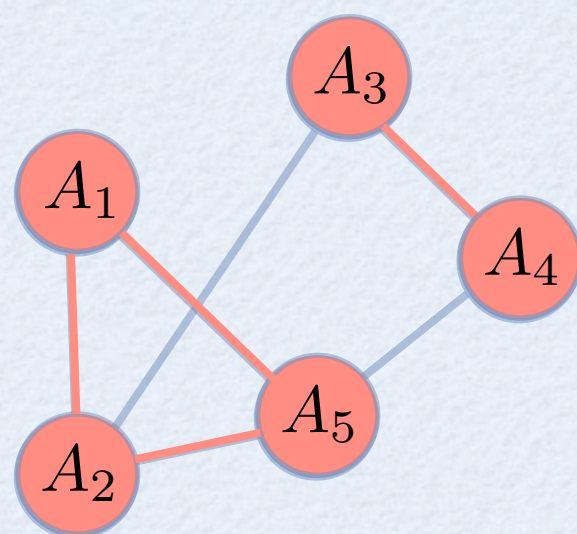
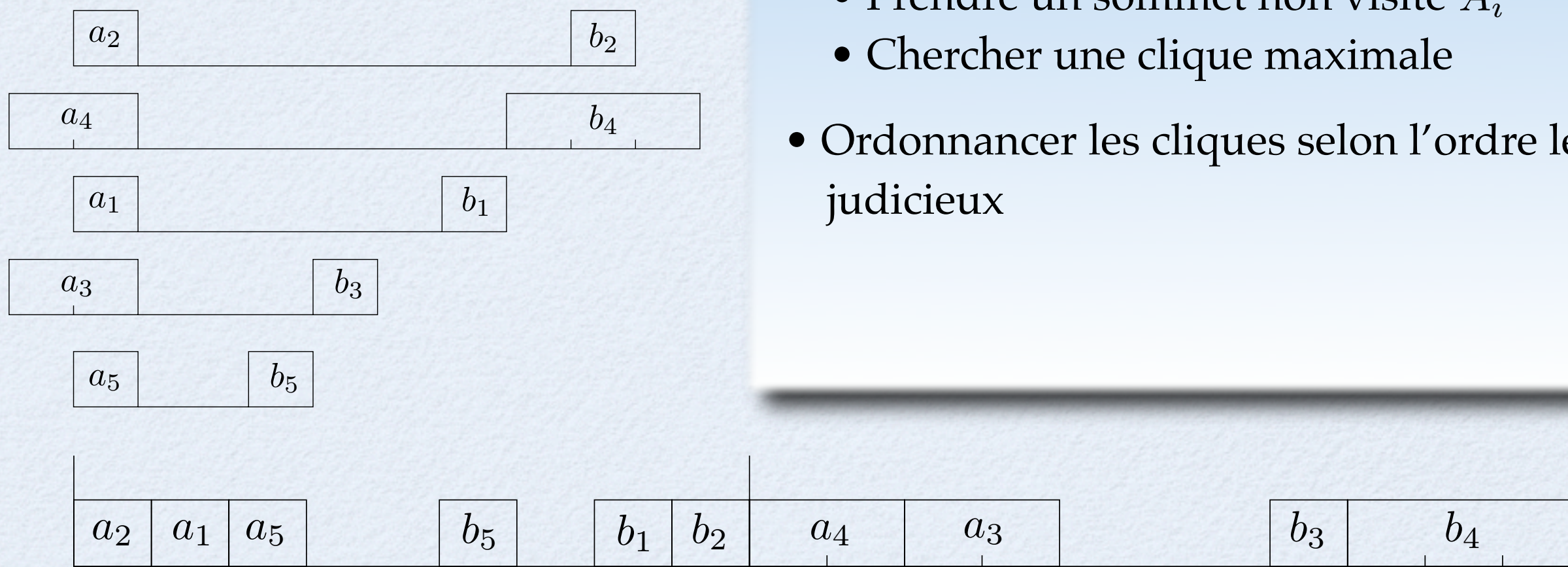
**Résultat :**  $C_{max}^h$

### Début

- Tant qu'il reste des sommets non visités
  - Prendre un sommet non visité  $A_i$
  - Chercher une clique maximale
- Ordonnancer les cliques selon l'ordre le plus judicieux



# Troisième Heuristique : Poupées russes


 $G_c^m$ 


## Algorithme en temps polynomial :

**Données :**  $A, T, G_c^m, G_p, \alpha \geq 1$

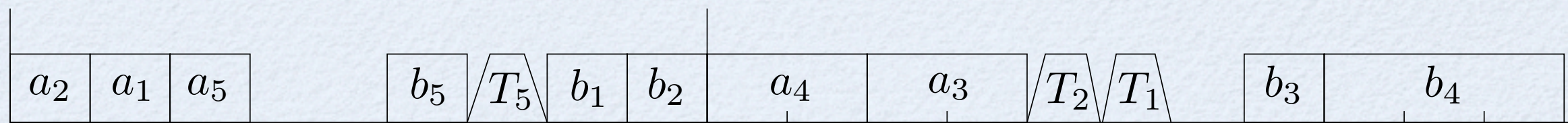
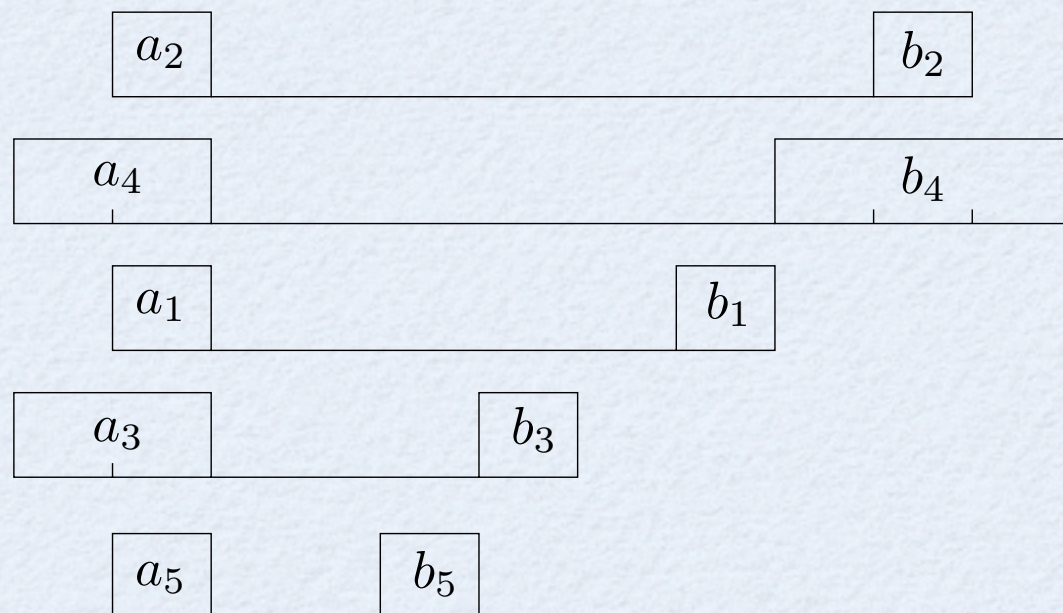
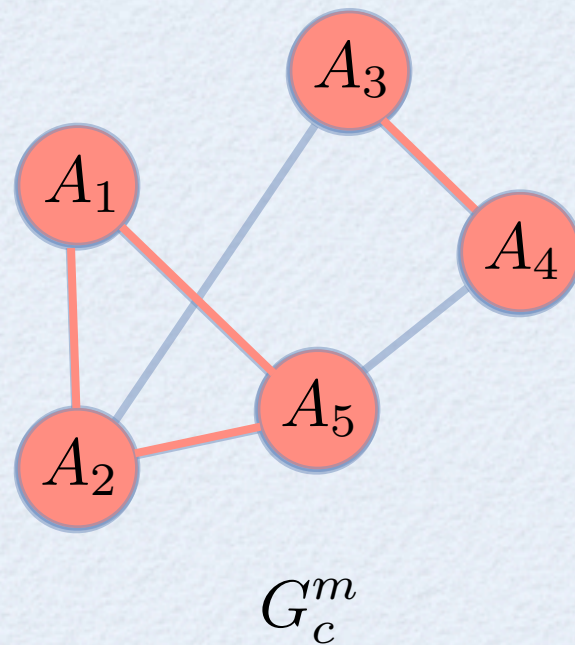
**Résultat :**  $C_{max}^h$

### Début

- Tant qu'il reste des sommets non visités
  - Prendre un sommet non visité  $A_i$
  - Chercher une clique maximale
- Ordonnancer les cliques selon l'ordre le plus judicieux



# Troisième Heuristique : Poupées russes



## Algorithme en temps polynomial :

**Données :**  $A, T, G_c^m, G_p, \alpha \geq 1$

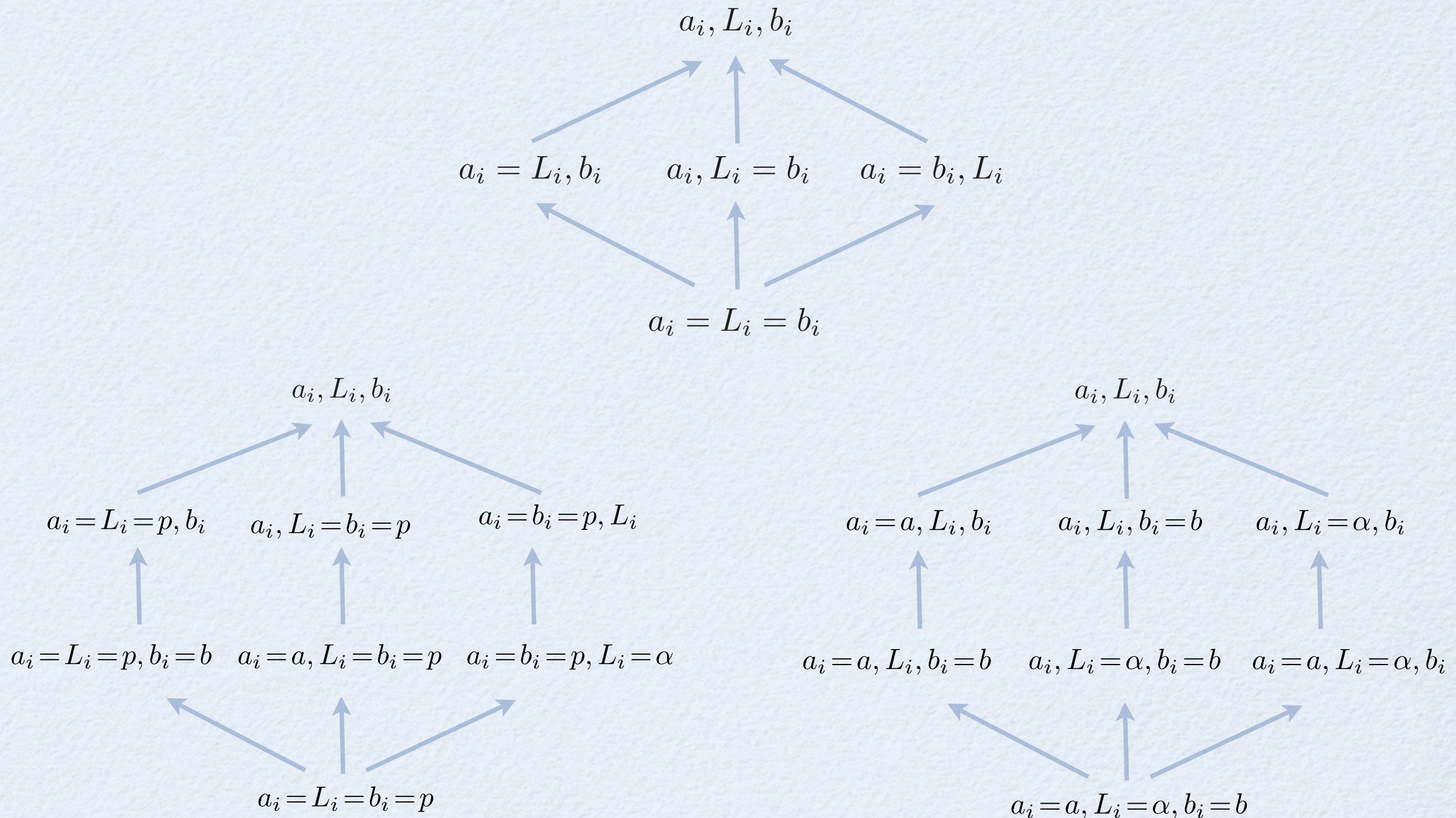
**Résultat :**  $C_{max}^h$

### Début

- Tant qu'il reste des sommets non visités
  - Prendre un sommet non visité  $A_i$
  - Chercher une clique maximale
- Ordonnancer les cliques selon l'ordre le plus judicieux
- Exécutons les tâches de traitement aux premiers emplacements libres



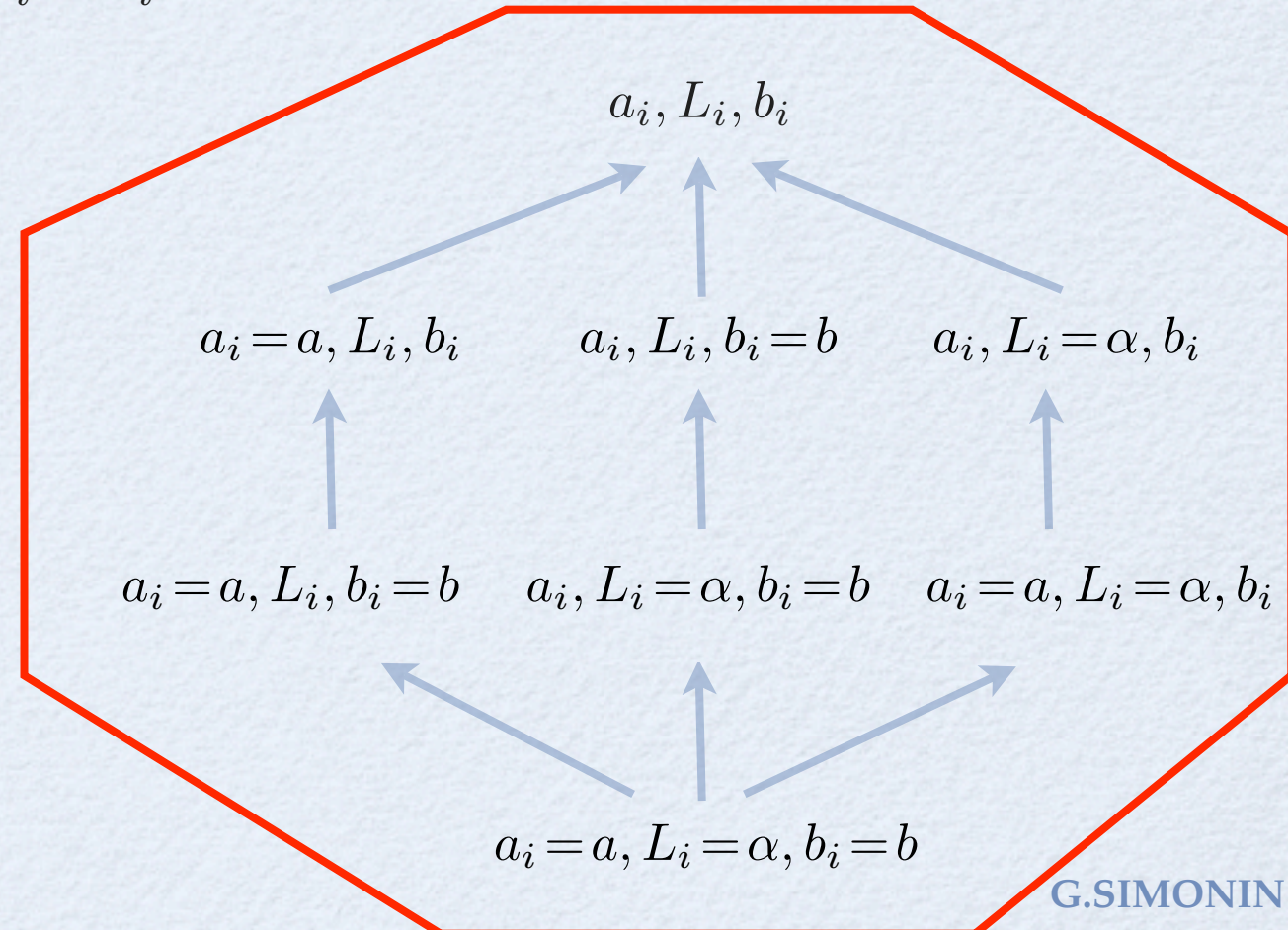
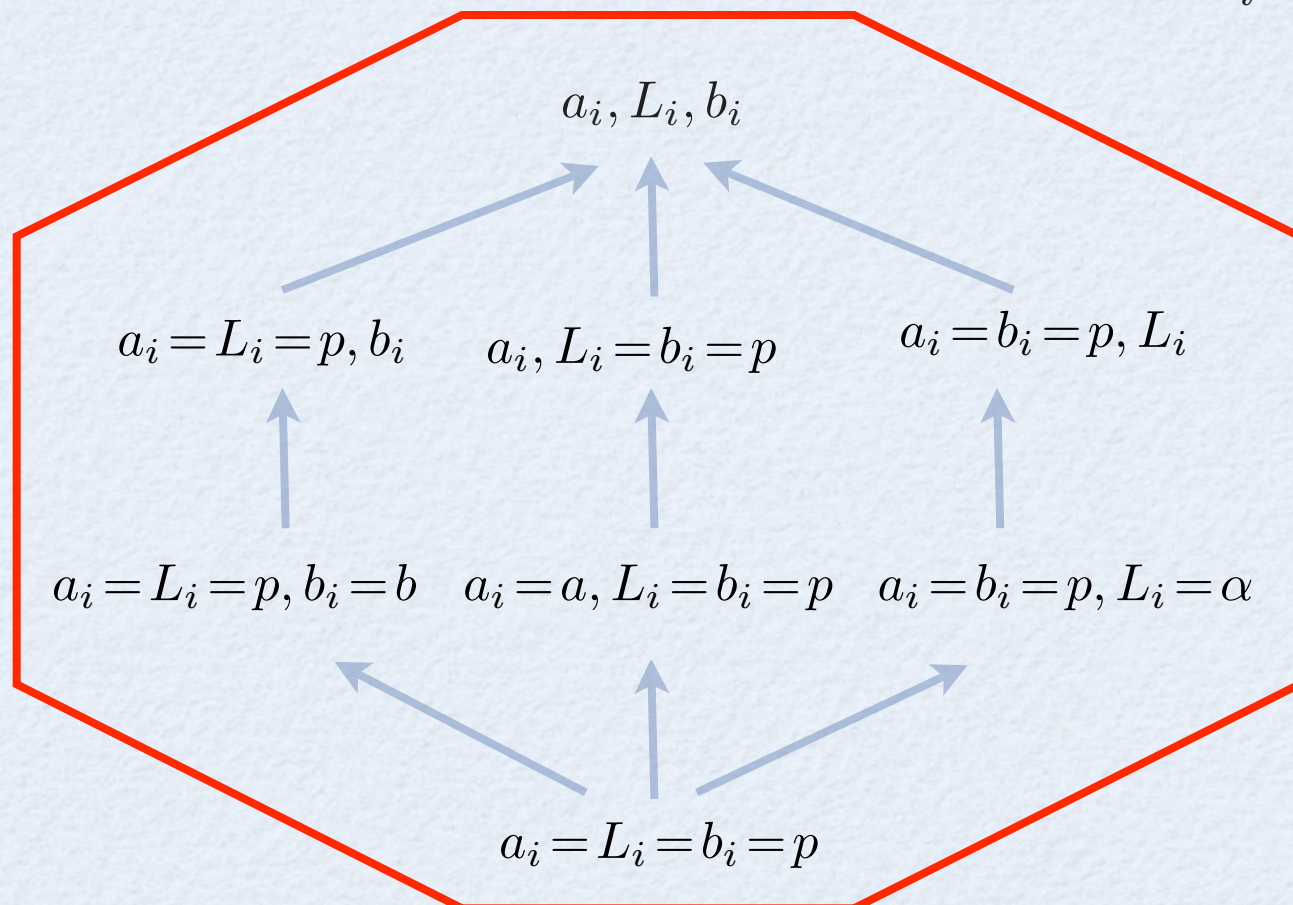
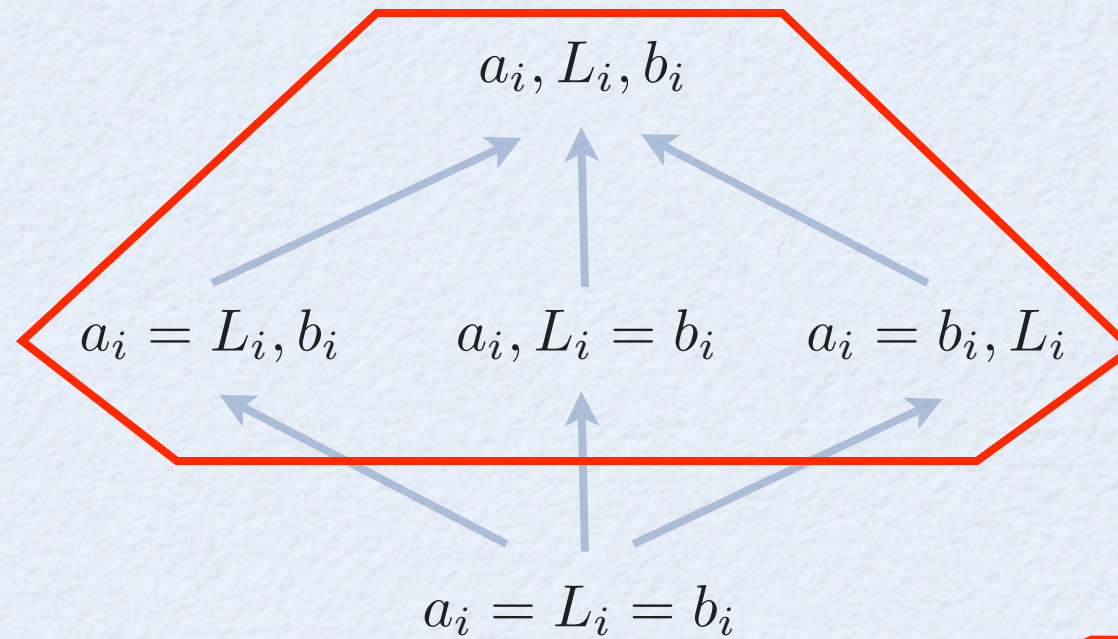
# Classification des heuristiques





# Classification des heuristiques

## Couplage maximum

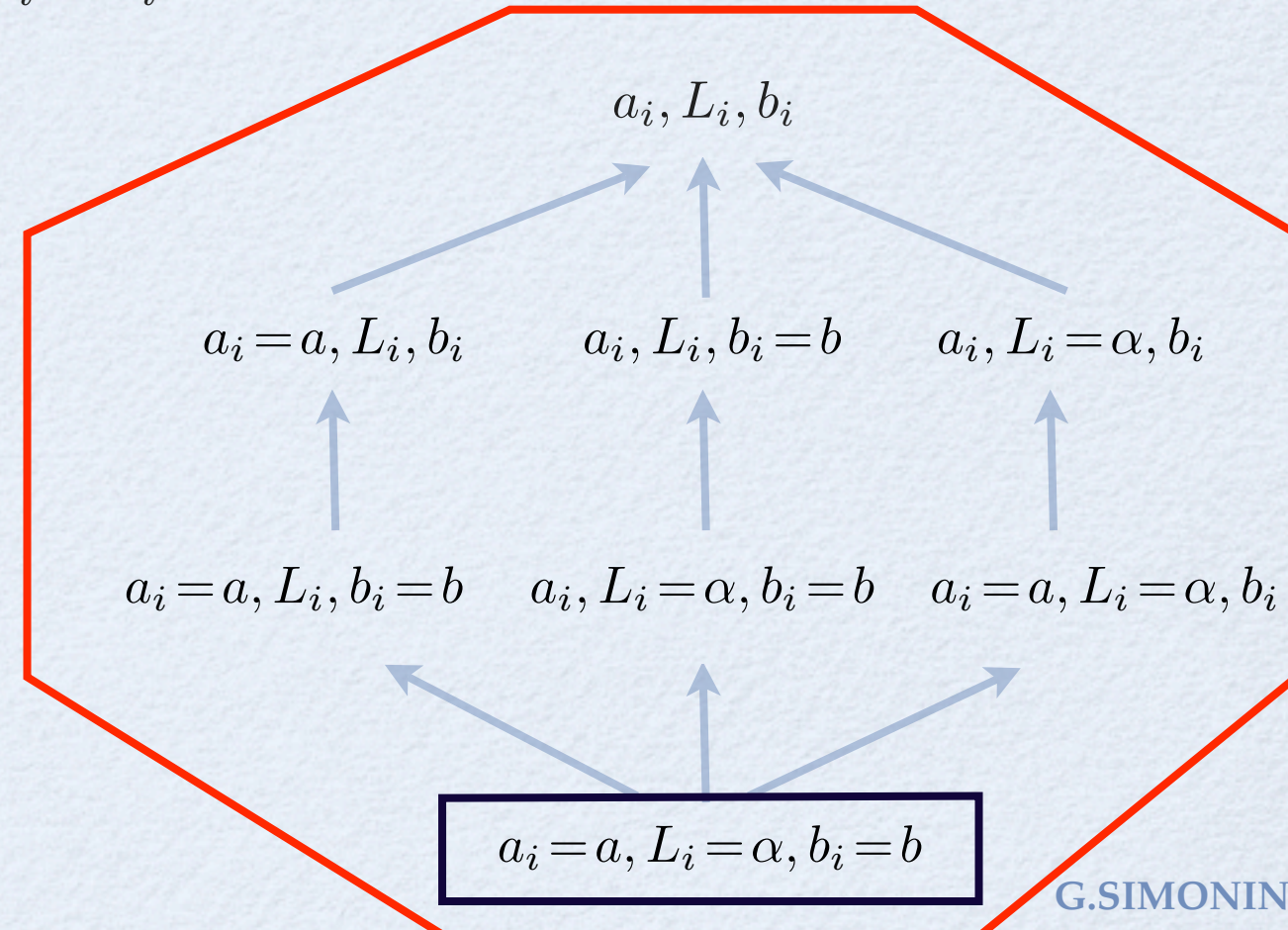
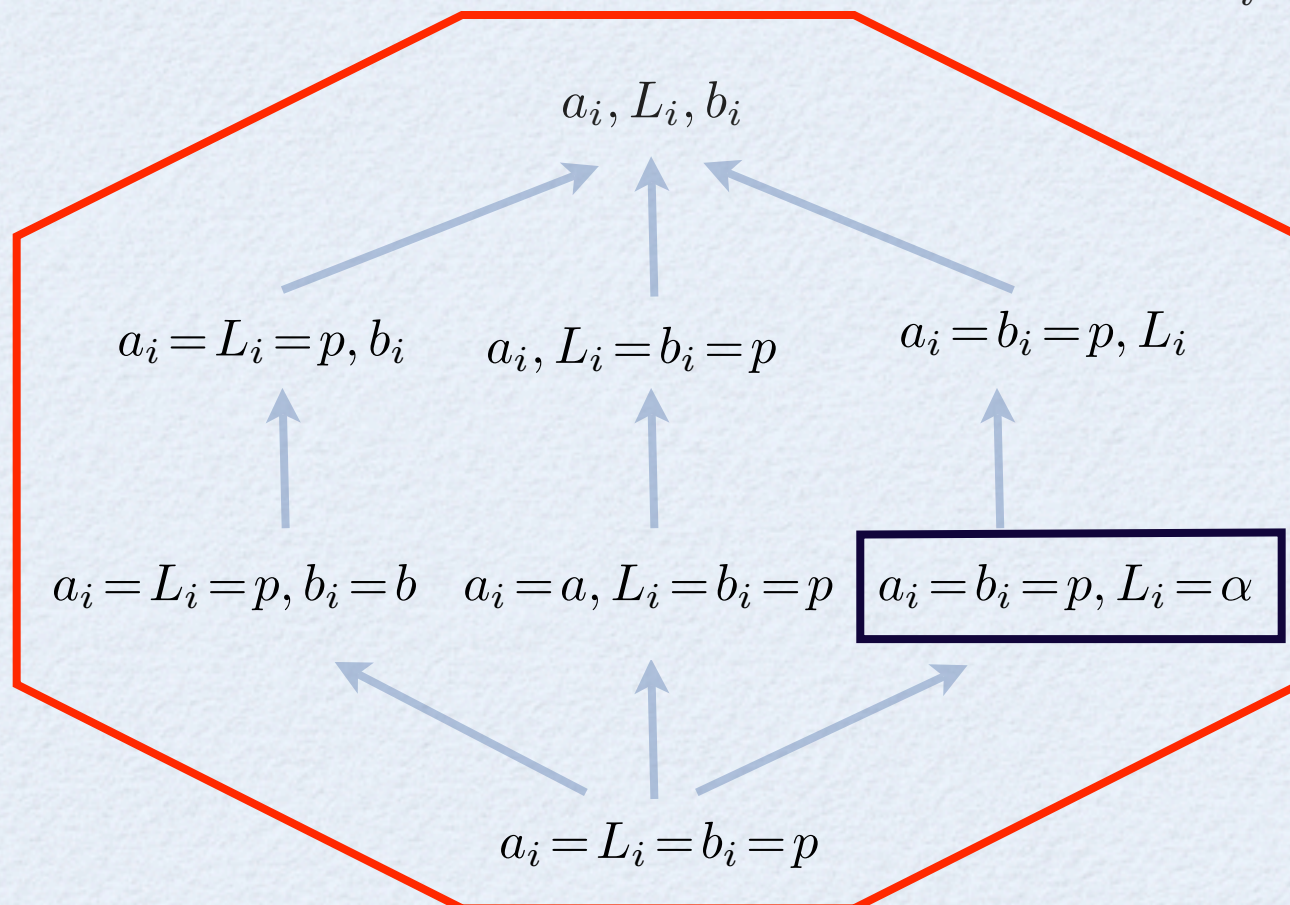
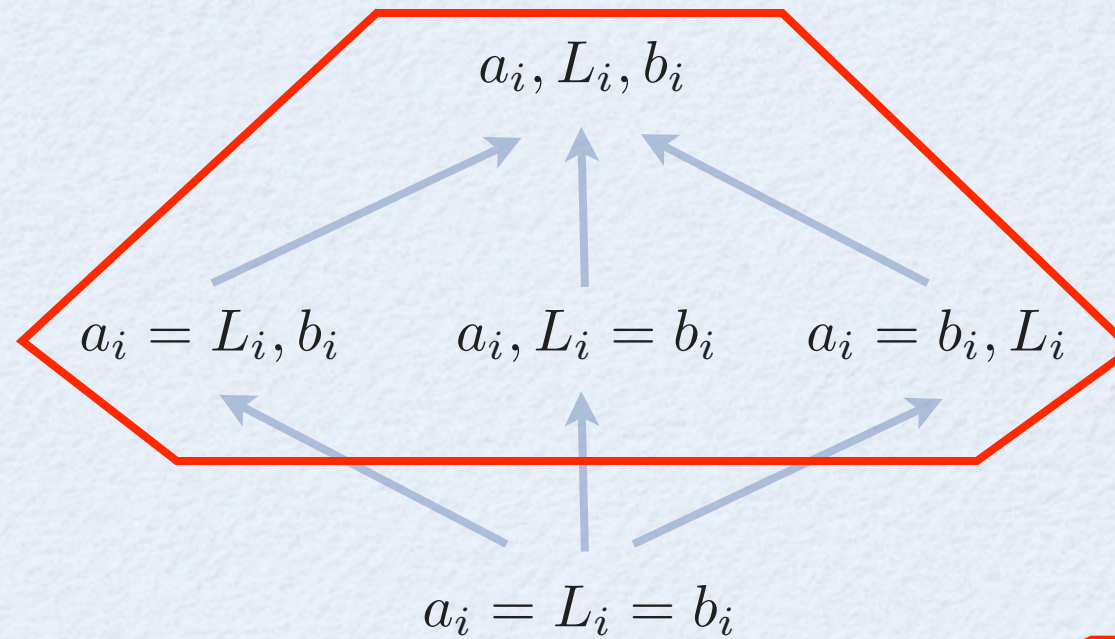




# Classification des heuristiques

Couplage maximum

Cliques maximales



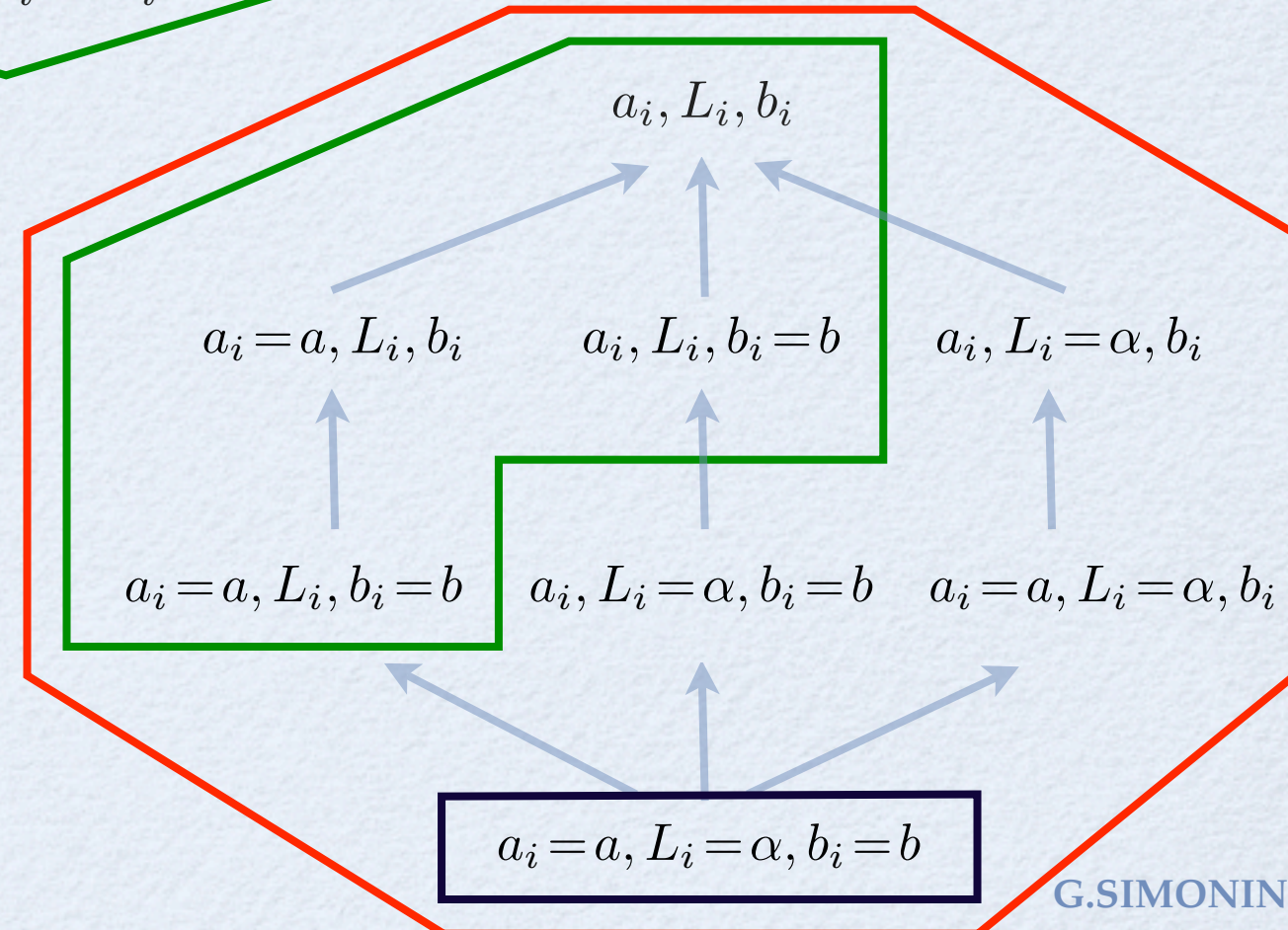
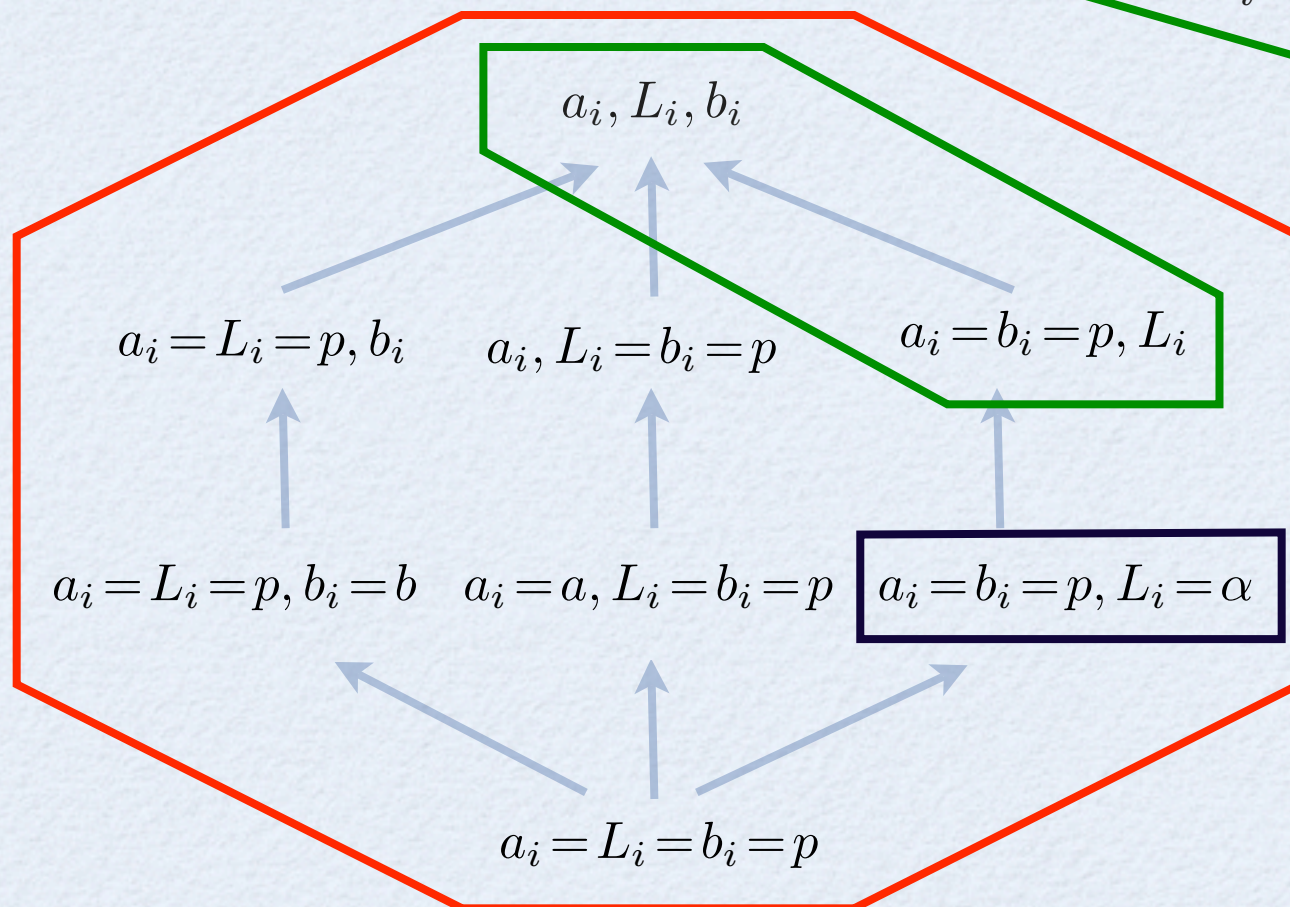
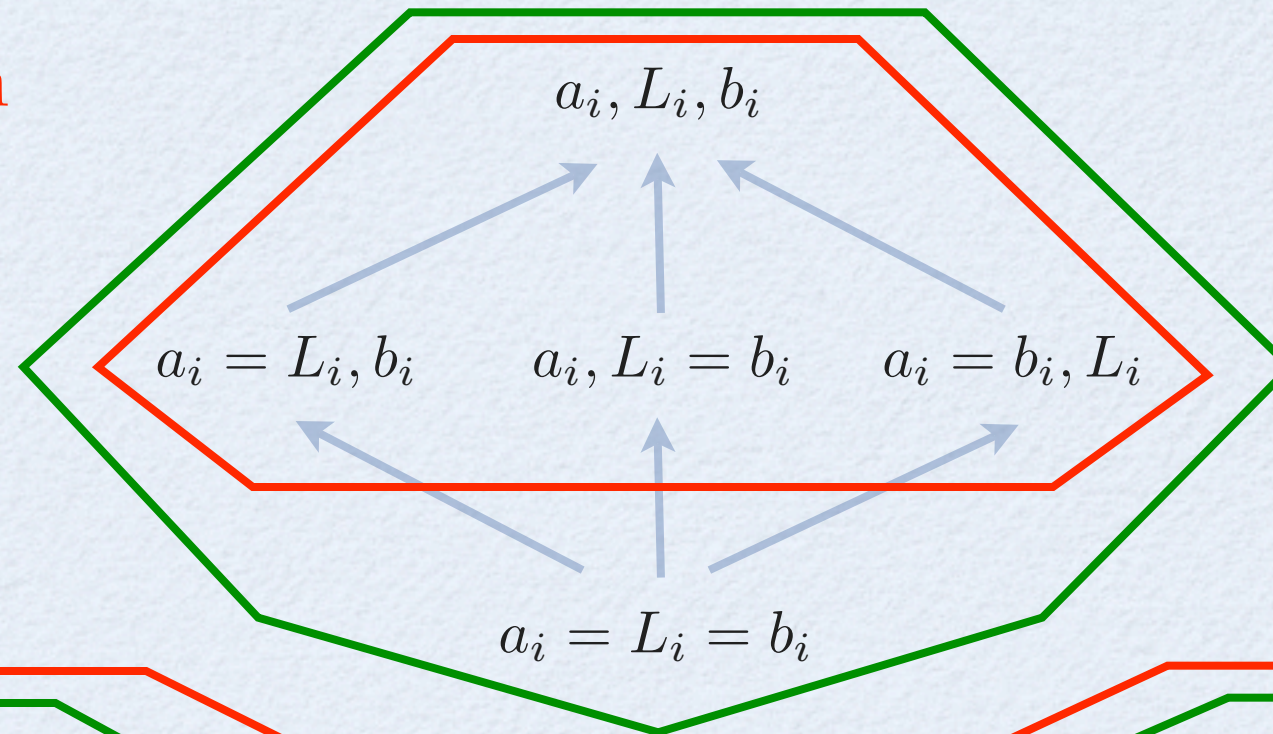


# Classification des heuristiques

Couplage maximum

Cliques maximales

Poupées russes





# Table des matières

- Introduction
  - Présentation du problème
  - Modélisation
- Complexité de ces problèmes
  - Etat de l'art
  - Preuve de NP-complétude sur un cas particulier
- Les techniques d'approximation
  - Couplage maximum
  - Clique maximale
  - Poupées russes
- **Les techniques de non approximation**
  - Clique partition
  - Triangle packing
- Conclusion et perspectives



# Bornes de non approximation

- Les différentes bornes sont obtenues par réductions faites à partir de ces deux problèmes NP-complets :
  - Clique partition
    - Donnée : Un graphe  $G = (V, E)$
    - Résultat : Recouvrement de  $V$  par des sous graphes complets induits par  $V$
  - Triangle packing
    - Donnée : Un graphe  $G = (V, E)$
    - Résultat : Recouvrement de  $V$  par des triangles induits par  $V$



# Réduction faite à partir de Triangle packing

Exemple de réduction pour  $1|prec$ ; tâche-couplée;  $(a_i, L_i, b_i); G_c | C_{max}$  :



# Réduction faite à partir de Triangle packing

Exemple de réduction pour  $1|prec$ ; tâche-couplée;  $(a_i, L_i, b_i); G_c | C_{max}$  :

- Soit  $I$  une instance de Triangle Packing.
- Soit  $I^* = \{(a_j, l_j, b_j) : j \in J; G_c; G_p\}$  une instance de notre problème



# Réduction faite à partir de Triangle packing

Exemple de réduction pour  $1|prec$ ; tâche-couplée;  $(a_i, L_i, b_i); G_c | C_{max}$  :

- Soit  $I$  une instance de Triangle Packing.
- Soit  $I^* = \{(a_j, l_j, b_j) : j \in J; G_c; G_p\}$  une instance de notre problème
- Soit  $J = \{1, \dots, n + 3\}$  et  $\mathcal{Z} = \{A_j | j = 1, \dots, n\}$ :



# Réduction faite à partir de Triangle packing

Exemple de réduction pour  $1|prec$ ; tâche-couplée;  $(a_i, L_i, b_i); G_c | C_{max}$  :

- Soit  $I$  une instance de Triangle Packing.
- Soit  $I^* = \{(a_j, l_j, b_j) : j \in J; G_c; G_p\}$  une instance de notre problème
- Soit  $J = \{1, \dots, n+3\}$  et  $\mathcal{Z} = \{A_j | j = 1, \dots, n\}$ :

$a_j = b_j = 1, L_j = 2$  pour  $j = 1, \dots, n$  où  $n = 3q$

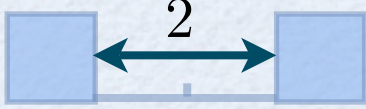




# Réduction faite à partir de Triangle packing

Exemple de réduction pour  $1|prec; \text{ tâche-couplée}; (a_i, L_i, b_i); G_c | C_{max}$  :

- Soit  $I$  une instance de Triangle Packing.
- Soit  $I^* = \{(a_j, l_j, b_j) : j \in J; G_c; G_p\}$  une instance de notre problème
- Soit  $J = \{1, \dots, n+3\}$  et  $\mathcal{Z} = \{A_j | j = 1, \dots, n\}$ :

$a_j = b_j = 1, L_j = 2$  pour  $j = 1, \dots, n$  où  $n = 3q$  

$a_{n+1} = b_{n+1} = 1, L_{n+1} = B$  



# Réduction faite à partir de Triangle packing

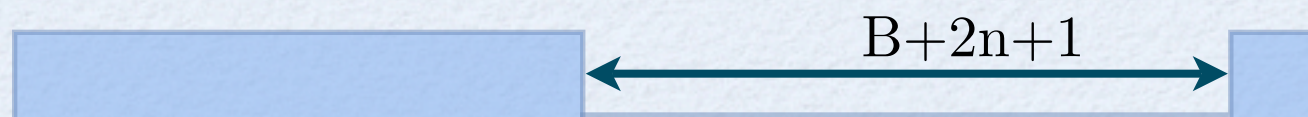
Exemple de réduction pour  $1|prec$ ; tâche-couplée;  $(a_i, L_i, b_i); G_c | C_{max}$  :

- Soit  $I$  une instance de Triangle Packing.
- Soit  $I^* = \{(a_j, l_j, b_j) : j \in J; G_c; G_p\}$  une instance de notre problème
- Soit  $J = \{1, \dots, n+3\}$  et  $\mathcal{Z} = \{A_j | j = 1, \dots, n\}$ :

$a_j = b_j = 1, L_j = 2$  pour  $j = 1, \dots, n$  où  $n = 3q$  

$a_{n+1} = b_{n+1} = 1, L_{n+1} = B$  

$a_{n+2} = B, b_{n+2} = 1, L_{n+2} = B + 2n + 1$





# Réduction faite à partir de Triangle packing

Exemple de réduction pour  $1|prec$ ; tâche-couplée;  $(a_i, L_i, b_i); G_c | C_{max}$  :

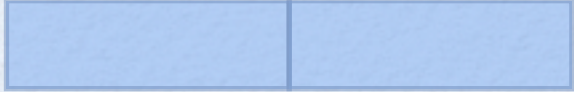
- Soit  $I$  une instance de Triangle Packing.
- Soit  $I^* = \{(a_j, l_j, b_j) : j \in J; G_c; G_p\}$  une instance de notre problème
- Soit  $J = \{1, \dots, n+3\}$  et  $\mathcal{Z} = \{A_j | j = 1, \dots, n\}$ :

$a_j = b_j = 1, L_j = 2$  pour  $j = 1, \dots, n$  où  $n = 3q$  

$a_{n+1} = b_{n+1} = 1, L_{n+1} = B$  

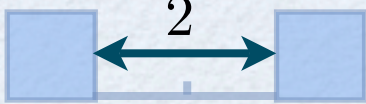
$a_{n+2} = B, b_{n+2} = 1, L_{n+2} = B + 2n + 1$



$a_{n+3} = b_{n+3} = \frac{B}{2}, L_{n+3} = 0$  

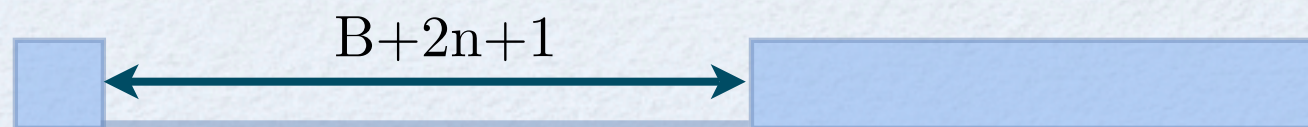


- Soit  $J = \{1, \dots, n + 3\}$  et  $\mathcal{Z} = \{A_j \mid j = 1, \dots, n\}$ :

$$a_j = b_j = 1, \quad L_j = 2 \text{ pour } j = 1, \dots, n \text{ où } n = 3q$$


$$a_{n+1} = b_{n+1} = 1, \quad L_{n+1} = B$$


$$a_{n+2} = B, \quad b_{n+2} = 1, \quad L_{n+2} = B + 2n + 1$$



$$a_{n+3} = b_{n+3} = \frac{B}{2}, \quad L_{n+3} = 0$$





- Soit  $J = \{1, \dots, n+3\}$  et  $\mathcal{Z} = \{A_j \mid j = 1, \dots, n\}$ :

$$a_j = b_j = 1, \quad L_j = 2 \text{ pour } j = 1, \dots, n \text{ où } n = 3q$$



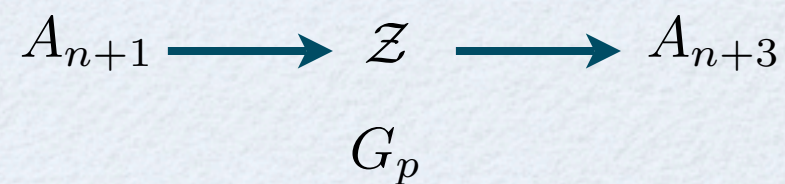
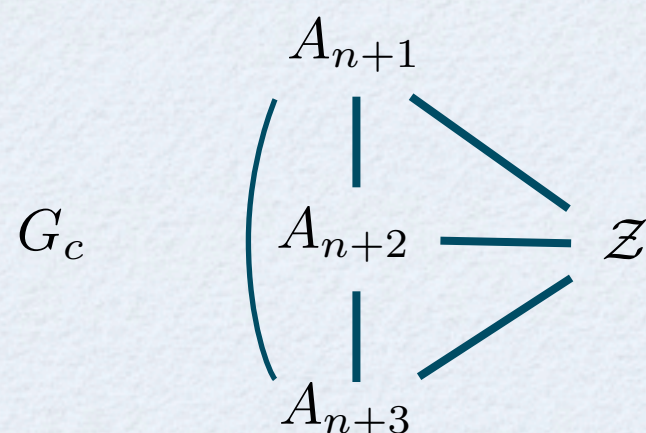
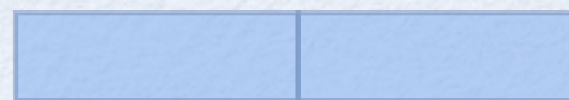
$$a_{n+1} = b_{n+1} = 1, \quad L_{n+1} = B$$



$$a_{n+2} = B, \quad b_{n+2} = 1, \quad L_{n+2} = B + 2n + 1$$



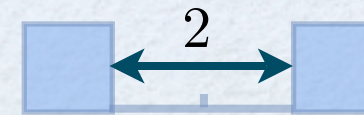
$$a_{n+3} = b_{n+3} = \frac{B}{2}, \quad L_{n+3} = 0$$





- Soit  $J = \{1, \dots, n+3\}$  et  $\mathcal{Z} = \{A_j \mid j = 1, \dots, n\}$ :

$$a_j = b_j = 1, \quad L_j = 2 \text{ pour } j = 1, \dots, n \text{ où } n = 3q$$



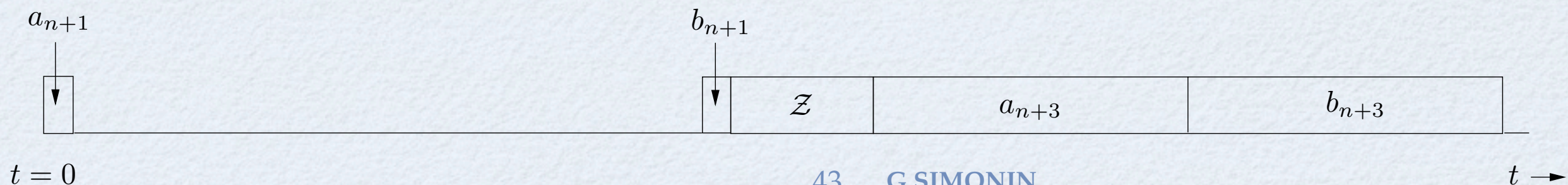
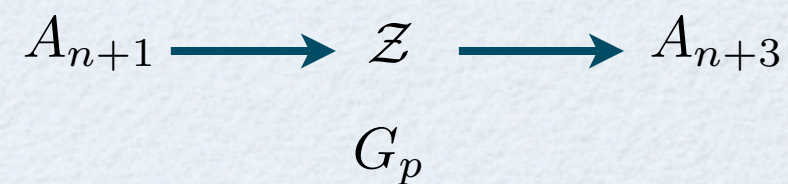
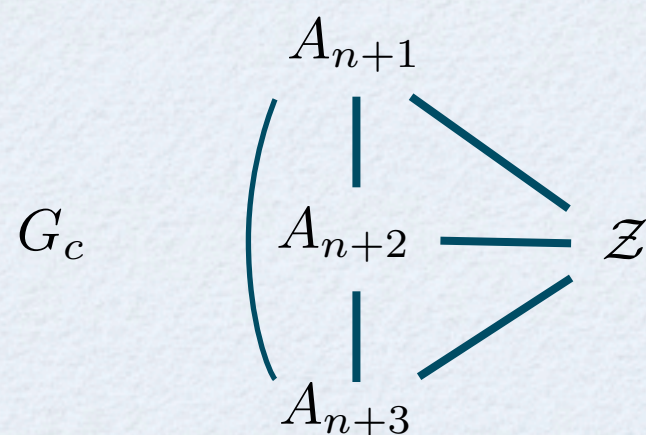
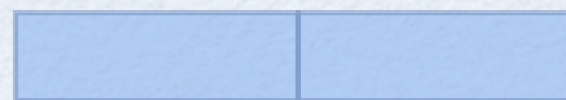
$$a_{n+1} = b_{n+1} = 1, \quad L_{n+1} = B$$



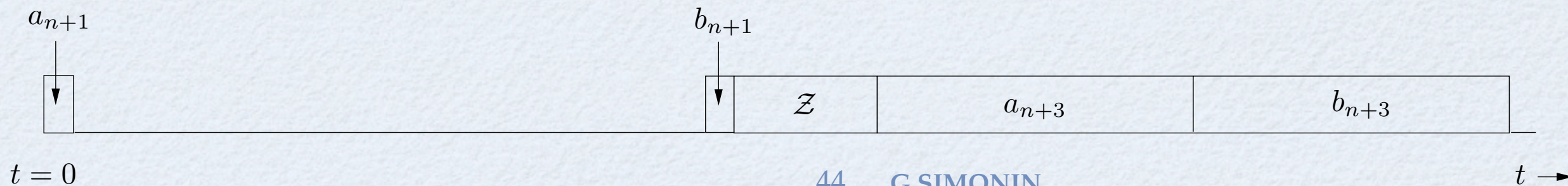
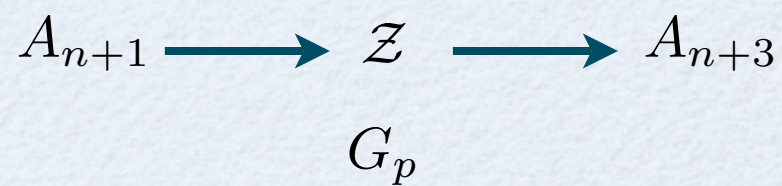
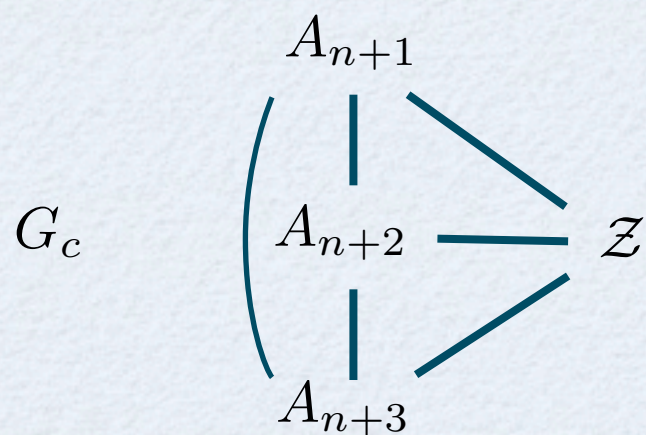
$$a_{n+2} = B, \quad b_{n+2} = 1, \quad L_{n+2} = B + 2n + 1$$



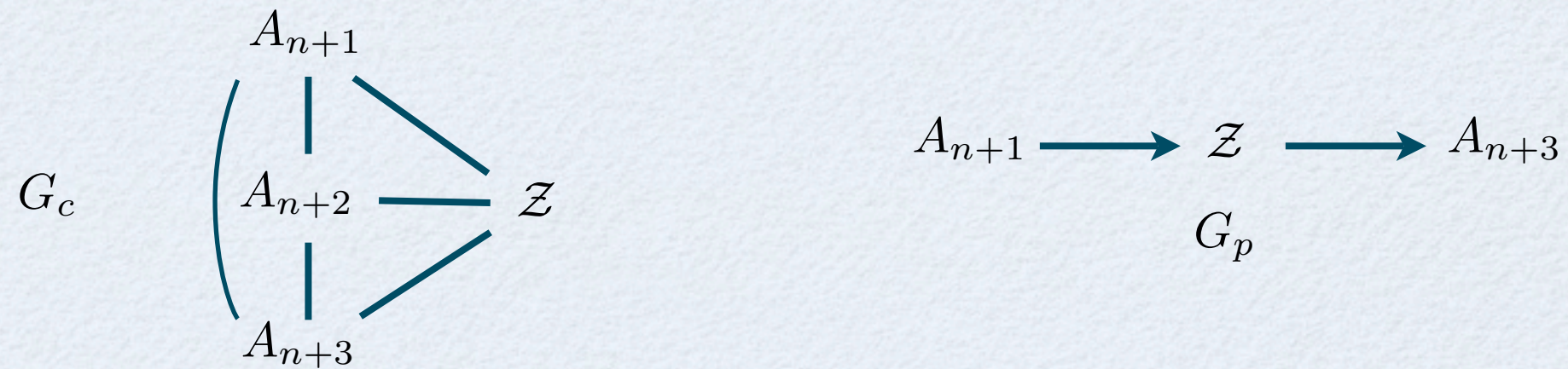
$$a_{n+3} = b_{n+3} = \frac{B}{2}, \quad L_{n+3} = 0$$



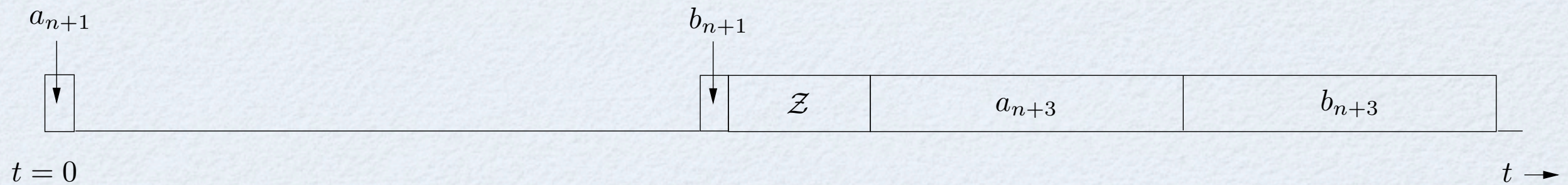




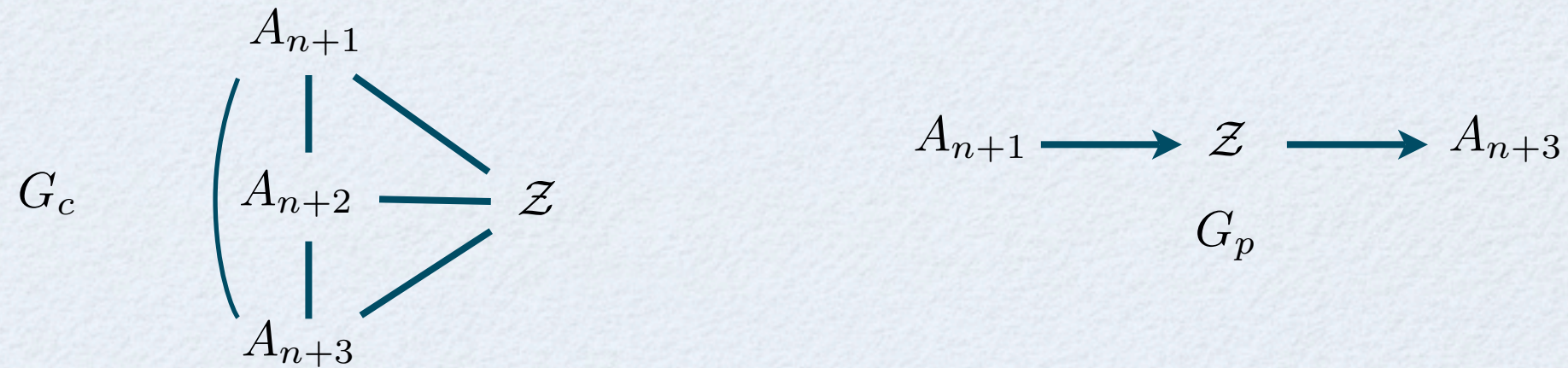




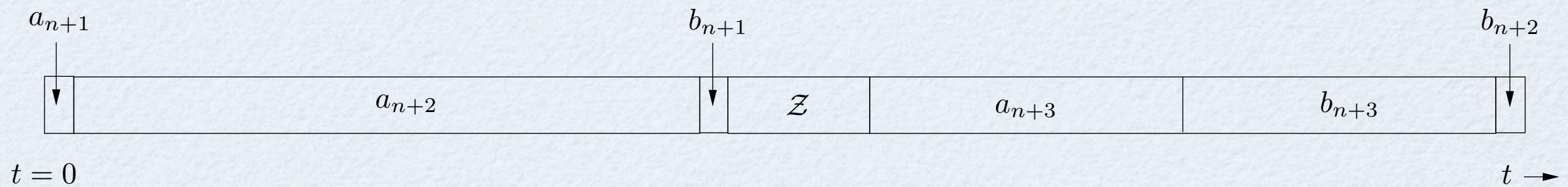
S'il existe un recouvrement par triangles des sommets de  $Z$



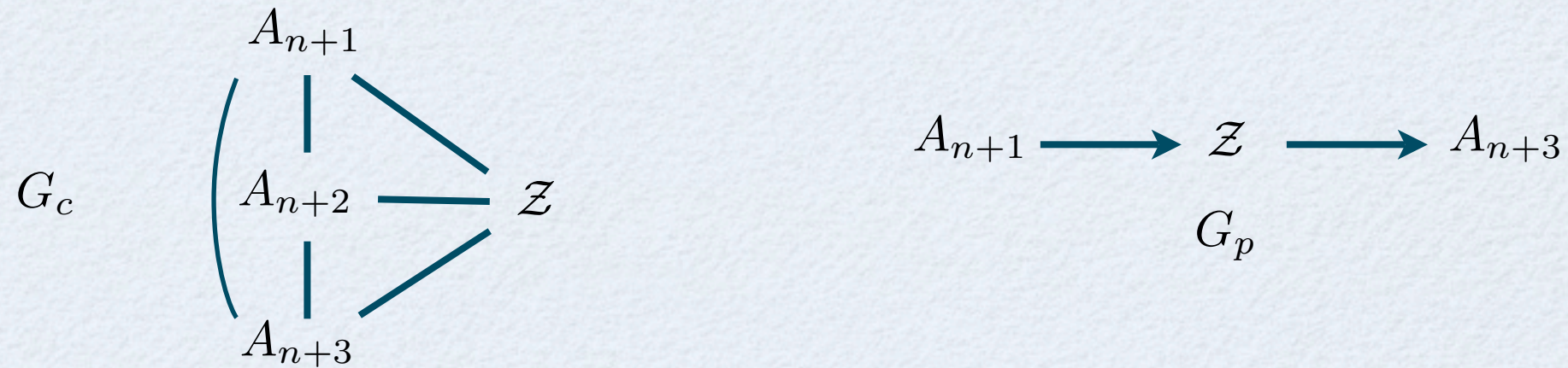




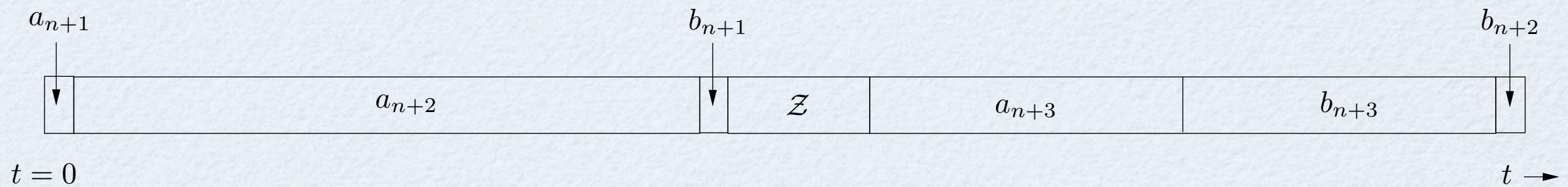
S'il existe un recouvrement par triangles des sommets de  $Z$





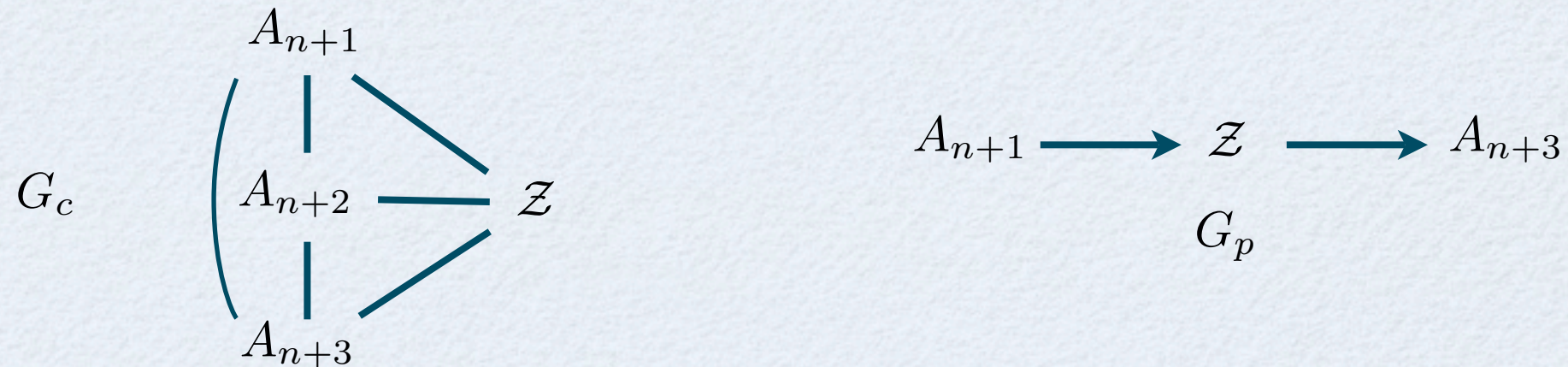


S'il existe un recouvrement par triangles des sommets de  $Z$

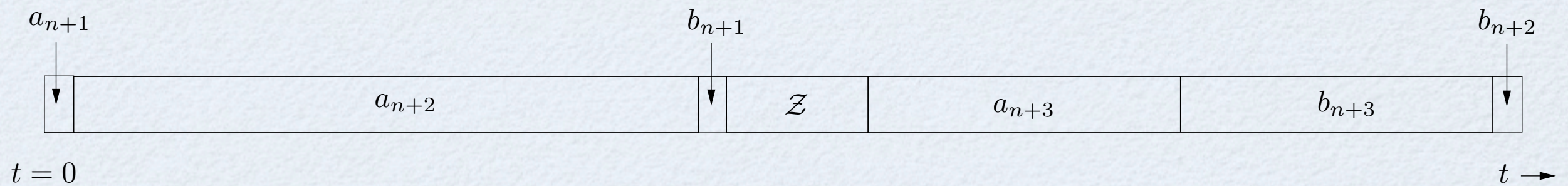


S'il n'existe pas de recouvrement par triangles des sommets de  $Z$

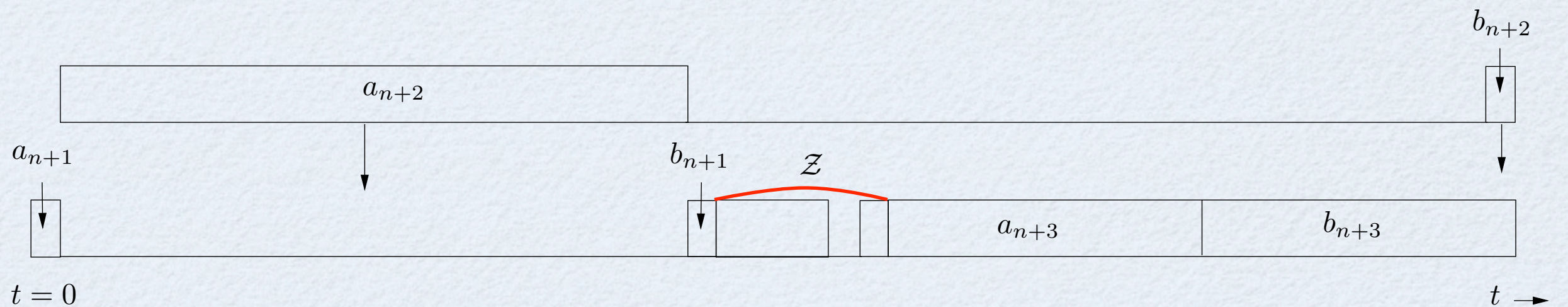




S'il existe un recouvrement par triangles des sommets de  $Z$



S'il n'existe pas de recouvrement par triangles des sommets de  $Z$





# Réduction faite à partir de Clique partition

Exemple de réduction pour  $1|prec$ ; tâche-couplée;  $(a_i = L_i = b_i)$ ;  $G_c | C_{max}$  :



# Réduction faite à partir de Clique partition

Exemple de réduction pour  $1|prec$ ; tâche-couplée;  $(a_i = L_i = b_i)$ ;  $G_c | C_{max}$  :

- Soit  $I$  une instance de Clique partition.
- Soit  $I^* = \{(a_j, l_j, b_j) : j \in J; G_c; G_p\}$  une instance de notre problème



# Réduction faite à partir de Clique partition

Exemple de réduction pour  $1|prec$ ; tâche-couplée;  $(a_i = L_i = b_i)$ ;  $G_c|C_{max}$  :

- Soit  $I$  une instance de Clique partition.
- Soit  $I^* = \{(a_j, l_j, b_j) : j \in J; G_c; G_p\}$  une instance de notre problème
- Soit  $J = \{1, \dots, n + 3\}$  et  $\mathcal{Z} = \{A_j | j = 1, \dots, n\}$ :



# Réduction faite à partir de Clique partition

Exemple de réduction pour  $1|prec$ ; tâche-couplée;  $(a_i = L_i = b_i)$ ;  $G_c | C_{max}$  :

- Soit  $I$  une instance de Clique partition.
- Soit  $I^* = \{(a_j, l_j, b_j) : j \in J; G_c; G_p\}$  une instance de notre problème
- Soit  $J = \{1, \dots, n + 3\}$  et  $\mathcal{Z} = \{A_j | j = 1, \dots, n\}$ :

$a_j = L_j = b_j = w_j$  pour  $j = 1, \dots, n$  où chaque  $w_j$  est différent



# Réduction faite à partir de Clique partition

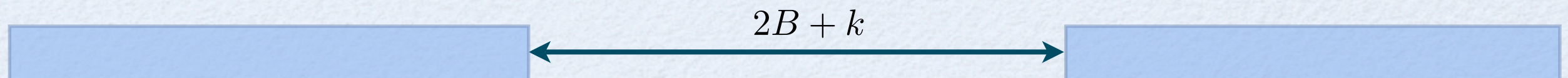
Exemple de réduction pour  $1|prec$ ; tâche-couplée;  $(a_i = L_i = b_i)$ ;  $G_c | C_{max}$  :

- Soit  $I$  une instance de Clique partition.
- Soit  $I^* = \{(a_j, l_j, b_j) : j \in J; G_c; G_p\}$  une instance de notre problème
- Soit  $J = \{1, \dots, n+3\}$  et  $\mathcal{Z} = \{A_j | j = 1, \dots, n\}$ :

$a_j = L_j = b_j = w_j$  pour  $j = 1, \dots, n$  où chaque  $w_j$  est différent

$$a_{n+2} = L_{n+2} = b_{n+2} = 2B + k$$

$k$  le temps d'exécution de l'ensemble  $\mathcal{Z}$





# Réduction faite à partir de Clique partition

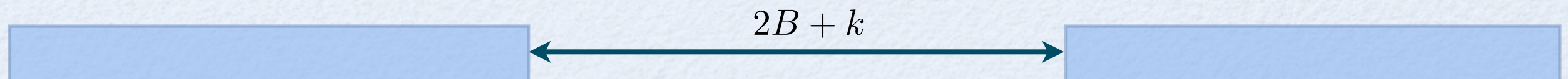
Exemple de réduction pour  $1|prec$ ; tâche-couplée;  $(a_i = L_i = b_i)$ ;  $G_c | C_{max}$  :

- Soit  $I$  une instance de Clique partition.
- Soit  $I^* = \{(a_j, l_j, b_j) : j \in J; G_c; G_p\}$  une instance de notre problème
- Soit  $J = \{1, \dots, n+3\}$  et  $\mathcal{Z} = \{A_j | j = 1, \dots, n\}$ :

$a_j = L_j = b_j = w_j$  pour  $j = 1, \dots, n$  où chaque  $w_j$  est différent

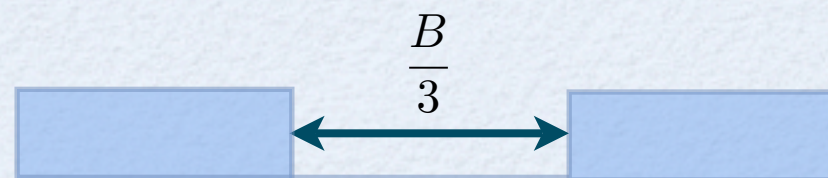
$$a_{n+2} = L_{n+2} = b_{n+2} = 2B + k$$

$k$  le temps d'exécution de l'ensemble  $\mathcal{Z}$



$$a_{n+1} = L_{n+1} = b_{n+1} = \frac{B}{3}$$

$$a_{n+3} = L_{n+3} = b_{n+3} = \frac{B}{3}$$



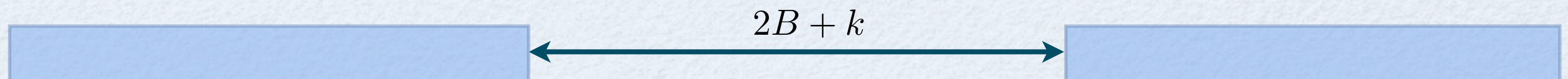


- Soit  $J = \{1, \dots, n + 3\}$  et  $\mathcal{Z} = \{A_j \mid j = 1, \dots, n\}$ :

$a_j = L_j = b_j = w_j$  pour  $j = 1, \dots, n$  où chaque  $w_j$  est différent

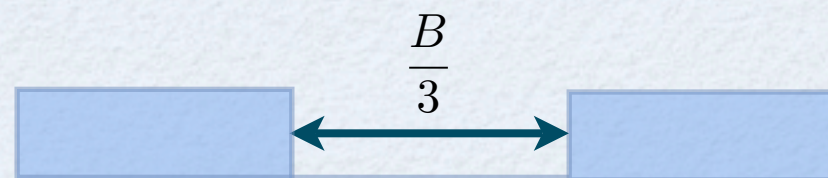
$$a_{n+2} = L_{n+2} = b_{n+2} = 2B + k$$

$k$  le temps d'exécution de l'ensemble  $\mathcal{Z}$



$$a_{n+1} = L_{n+1} = b_{n+1} = \frac{B}{3}$$

$$a_{n+3} = L_{n+3} = b_{n+3} = \frac{B}{3}$$



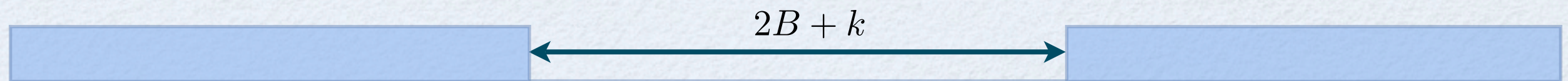


- Soit  $J = \{1, \dots, n+3\}$  et  $\mathcal{Z} = \{A_j \mid j = 1, \dots, n\}$ :

$a_j = L_j = b_j = w_j$  pour  $j = 1, \dots, n$  où chaque  $w_j$  est différent

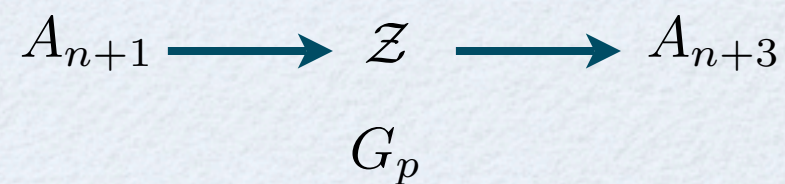
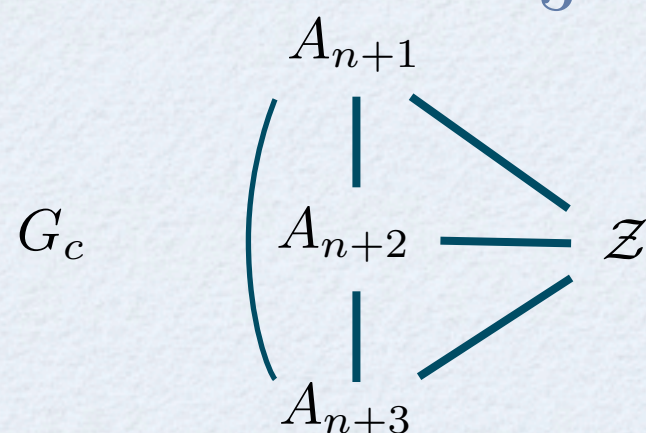
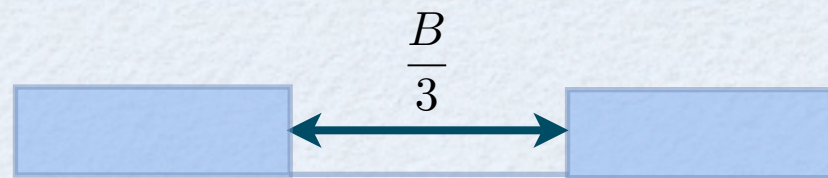
$$a_{n+2} = L_{n+2} = b_{n+2} = 2B + k$$

$k$  le temps d'exécution de l'ensemble  $\mathcal{Z}$



$$a_{n+1} = L_{n+1} = b_{n+1} = \frac{B}{3}$$

$$a_{n+3} = L_{n+3} = b_{n+3} = \frac{B}{3}$$



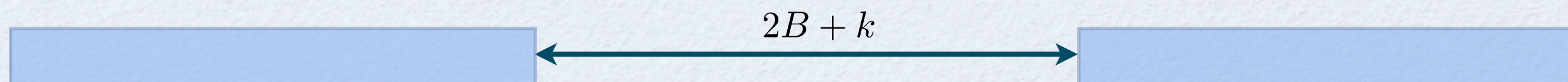


- Soit  $J = \{1, \dots, n+3\}$  et  $\mathcal{Z} = \{A_j \mid j = 1, \dots, n\}$ :

$a_j = L_j = b_j = w_j$  pour  $j = 1, \dots, n$  où chaque  $w_j$  est différent

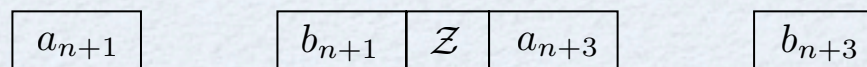
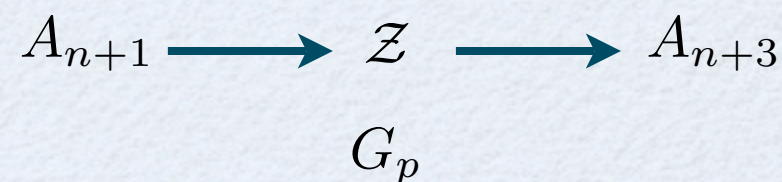
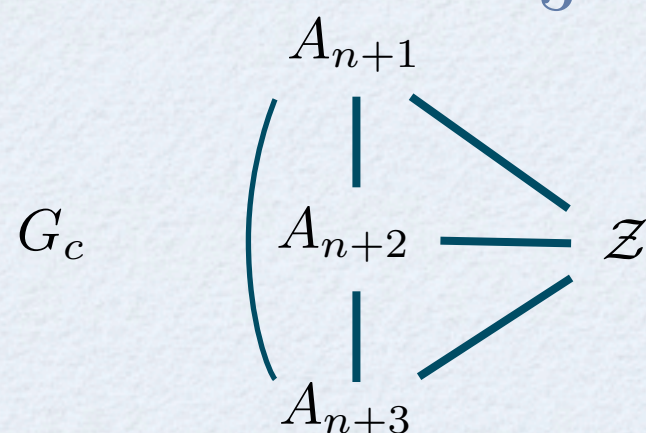
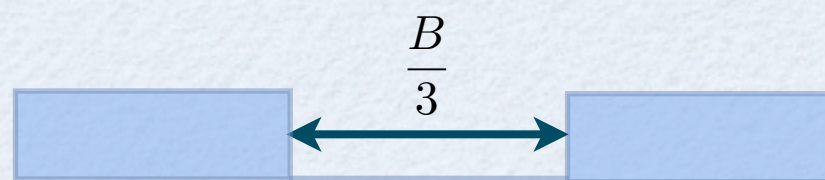
$$a_{n+2} = L_{n+2} = b_{n+2} = 2B + k$$

$k$  le temps d'exécution de l'ensemble  $\mathcal{Z}$



$$a_{n+1} = L_{n+1} = b_{n+1} = \frac{B}{3}$$

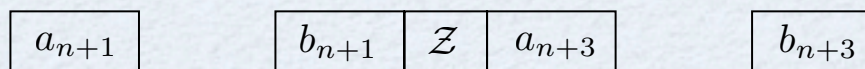
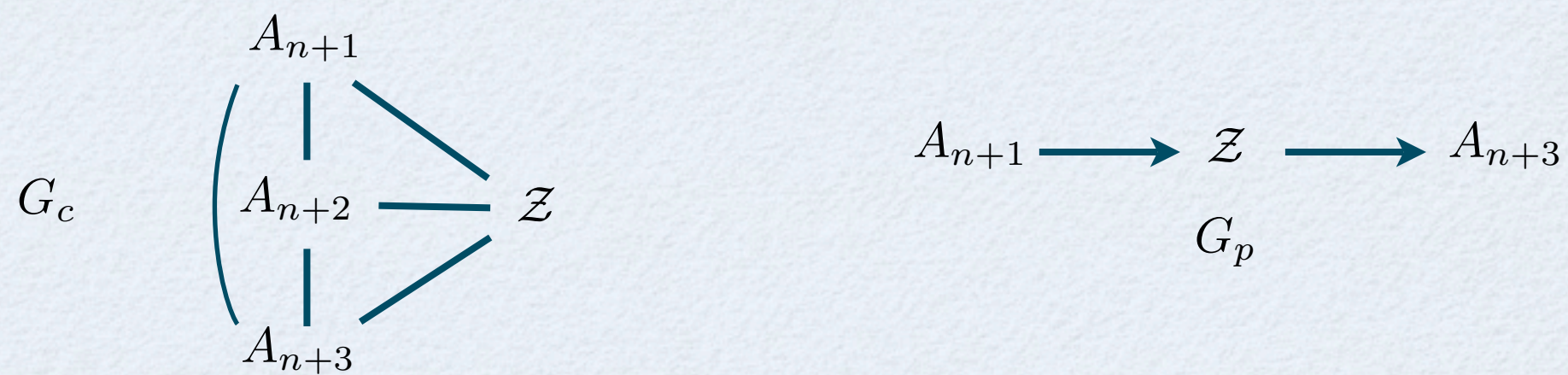
$$a_{n+3} = L_{n+3} = b_{n+3} = \frac{B}{3}$$



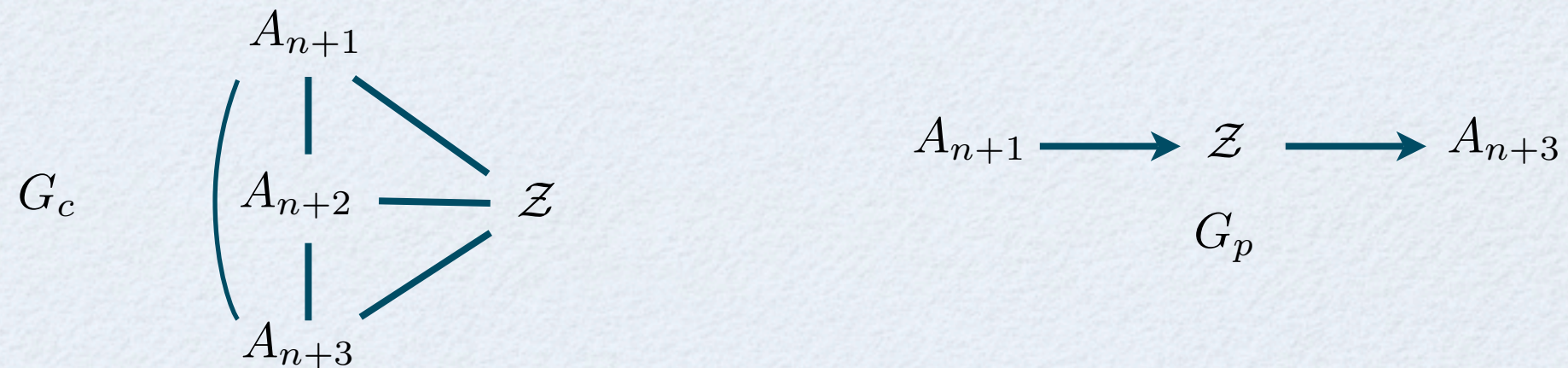
$t = 0$

$t \rightarrow$

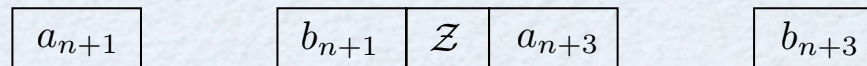


 $t = 0$  $t \rightarrow$





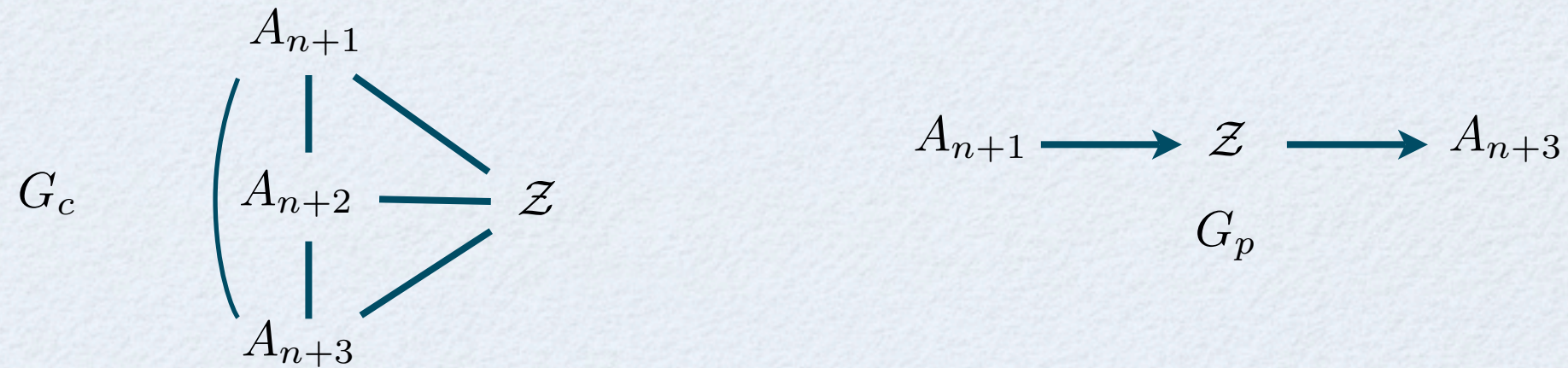
S'il existe un recouvrement par cliques des sommets de  $Z$



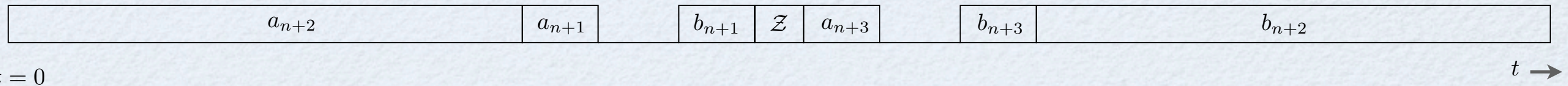
$t = 0$

$t \rightarrow$

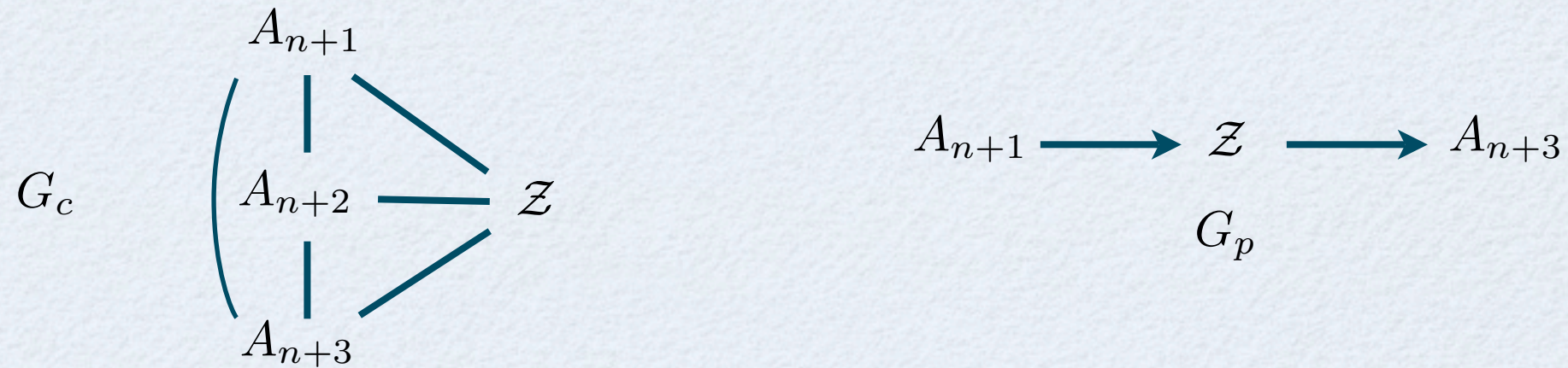




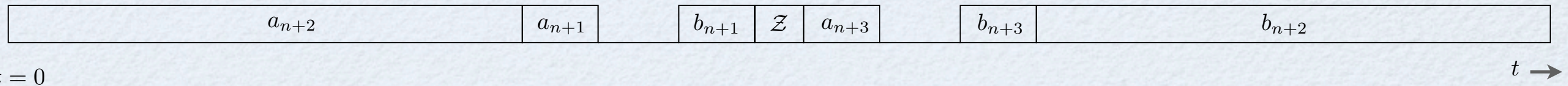
S'il existe un recouvrement par cliques des sommets de  $Z$





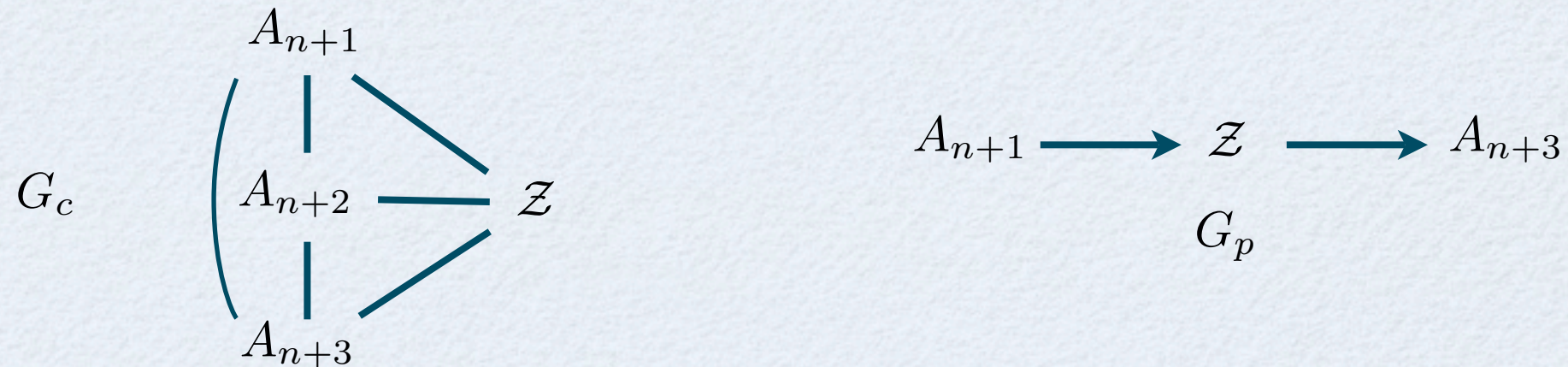


S'il existe un recouvrement par cliques des sommets de  $Z$

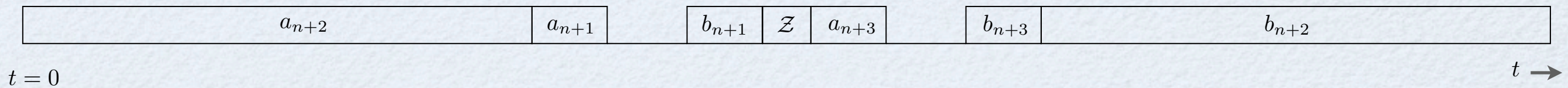


S'il n'existe pas de recouvrement par cliques des sommets de  $Z$

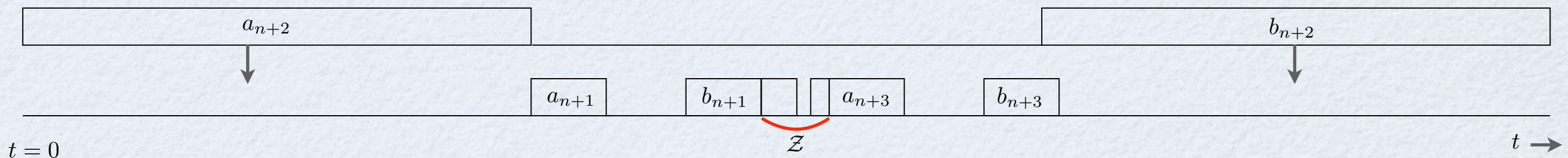




S'il existe un recouvrement par cliques des sommets de  $Z$

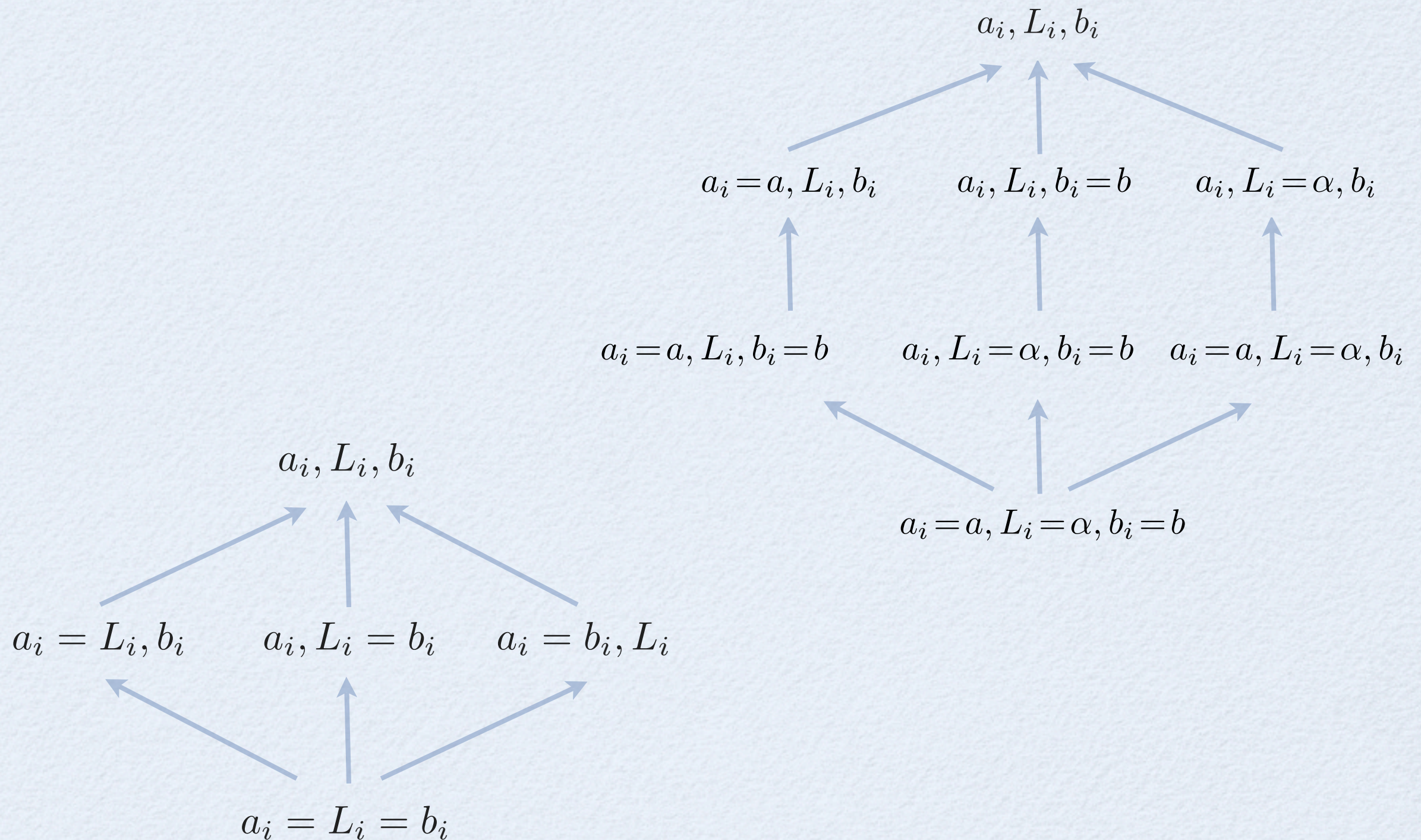


S'il n'existe pas de recouvrement par cliques des sommets de  $Z$





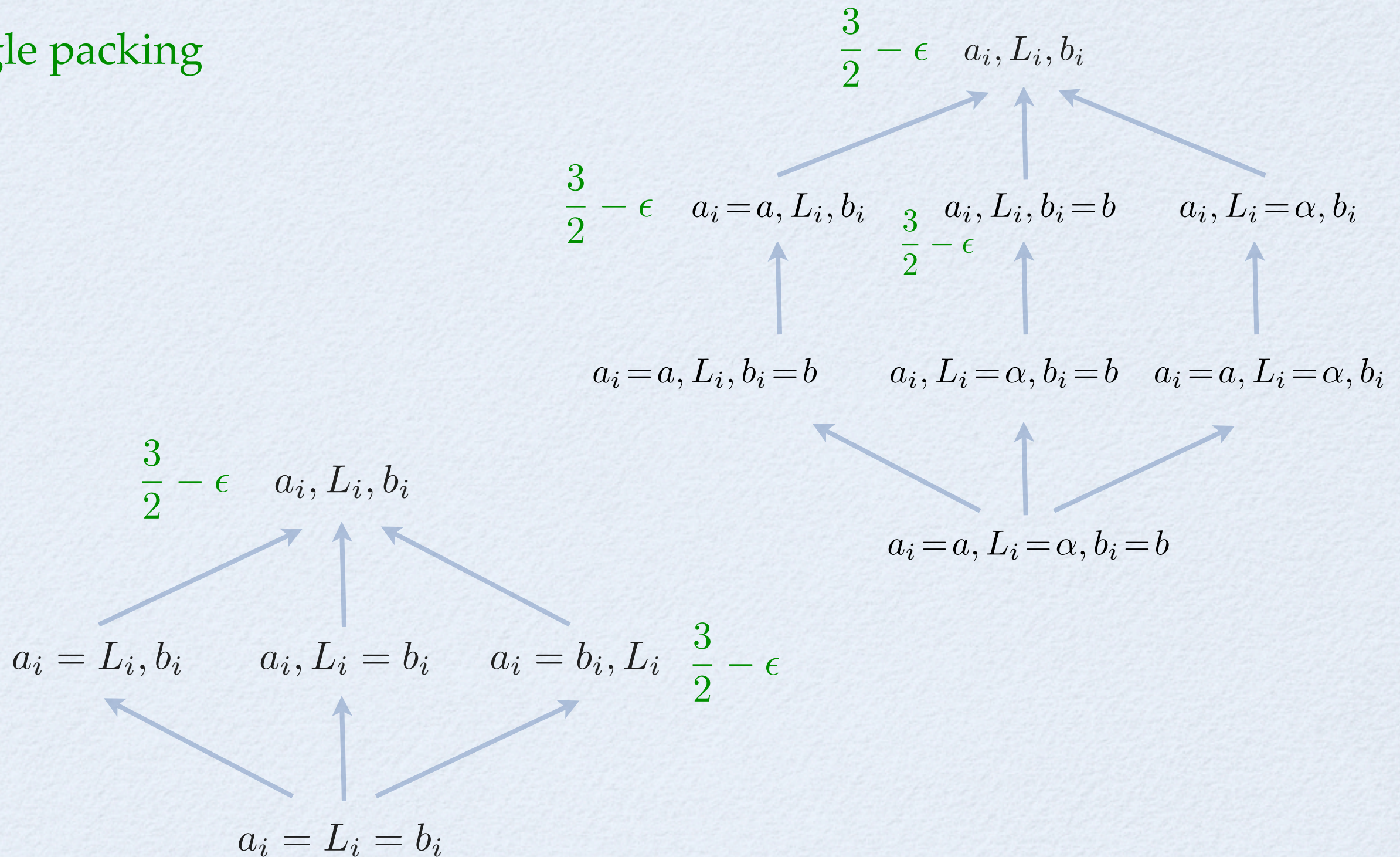
# Vision globale des bornes obtenues





# Vision globale des bornes obtenues

## Triangle packing

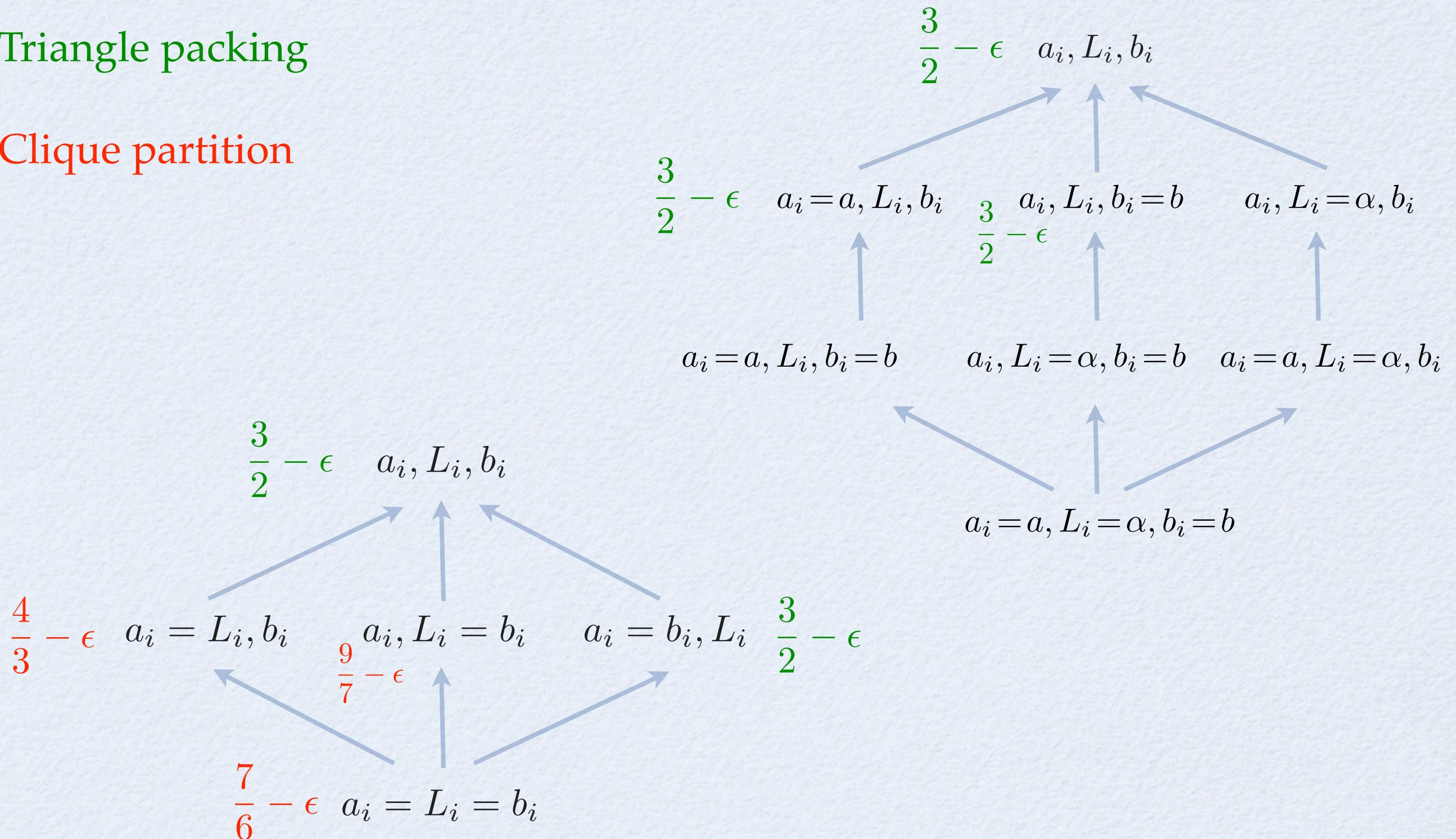




# Vision globale des bornes obtenues

Triangle packing

Clique partition

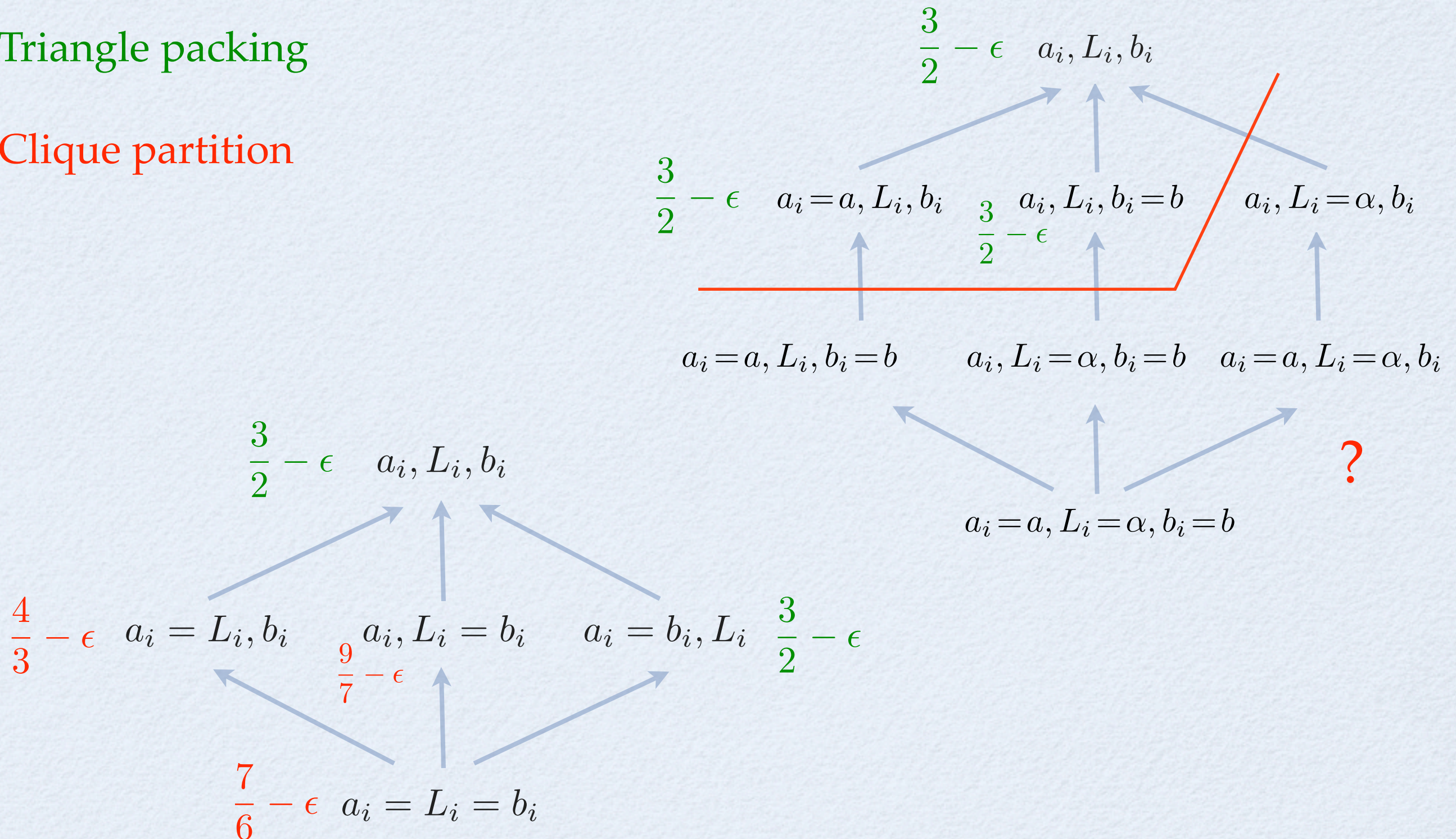




# Vision globale des bornes obtenues

Triangle packing

Clique partition





# Table des matières

- Introduction
  - Présentation du problème
  - Modélisation
- Complexité de ces problèmes
  - Etat de l'art
  - Preuve de NP-complétude sur un cas particulier
- Les techniques d'approximation
  - Couplage maximum
  - Clique maximale
  - Poupées russes
- Les techniques de non approximation
  - Clique partition
  - Triangle packing
- Conclusion et perspectives



# Conclusion



# Conclusion

- Présentation d'un nouveau problème d'ordonnancement avec tâches-couplées



# Conclusion

- Présentation d'un nouveau problème d'ordonnancement avec tâches-couplées
- Contrainte de compatibilité



# Conclusion

- Présentation d'un nouveau problème d'ordonnancement avec tâches-couplées
- Contrainte de compatibilité
- Présentation de plusieurs résultats de  $\mathcal{NP}$ -complétude



# Conclusion

- Présentation d'un nouveau problème d'ordonnancement avec tâches-couplées
- Contrainte de compatibilité
- Présentation de plusieurs résultats de  $\mathcal{NP}$ -complétude
- Présentation des trois heuristiques intéressantes :
  - Couplage maximum
  - Clique maximale
  - Poupées russes



# Conclusion

- Présentation d'un nouveau problème d'ordonnancement avec tâches-couplées
- Contrainte de compatibilité
- Présentation de plusieurs résultats de  $\mathcal{NP}$ -complétude
- Présentation des trois heuristiques intéressantes :
  - Couplage maximum
  - Clique maximale
  - Poupées russes
- Présentation de deux méthodes de réduction pour avoir des bornes de non approximation :
  - Triangle Packing
  - Clique partition



# Perspectives



# Perspectives

- Trouver des bornes d'approximation à valeur constante



# Perspectives

- Trouver des bornes d'approximation à valeur constante
- Continuer à étudier en rajoutant des paramètres :
  - Type de graphe de précédence particulier
  - des délais d'exécution



# Perspectives

- Trouver des bornes d'approximation à valeur constante
- Continuer à étudier en rajoutant des paramètres :
  - Type de graphe de précédence particulier
  - des délais d'exécution
- Etudier ces problèmes en online



# Perspectives

- Trouver des bornes d'approximation à valeur constante
- Continuer à étudier en rajoutant des paramètres :
  - Type de graphe de précédence particulier
  - des délais d'exécution
- Etudier ces problèmes en online
- Travailler sur des systèmes multiprocesseurs :
  - Rapprochement entre des clusters de machines et des flottilles



**MERCI DE VOTRE  
ATTENTION**